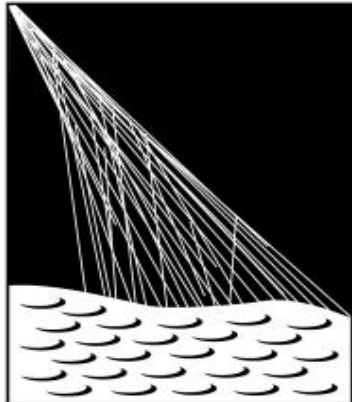


Astrofísica de Partículas



PIERRE
AUGER
OBSERVATORY



Vitor de Souza
vitor@ifsc.usp.br

www.astro.ifsc.usp.br

Programa do dia:

Introdução histórica

Apresentação do problema em astrofísica

Experimentos: Pierre Auger e CTA

Estudos fenomenológicos

Perspectivas futuras

Mensagem pra levar pra casa:

- Astrofísica de partículas é uma área com grande potencial de descobertas fundamentais e propícia para a inovação tecnológica
- A comunidade brasileira ocupa uma posição de destaque no cenário internacional
- Observatório Pierre Auger:
 - Resultados históricos já publicados
 - Ainda tem muito a produzir na próxima década
- Cherenkov Telescope Array (CTA)
 - O próximo experimento em Astrofísica de Partículas

Em 1900 ...

Eletromagnetismo recém apresentado
como uma teoria completa

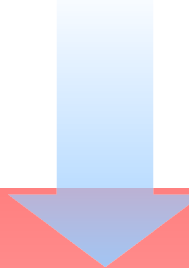
Primeiras pequisas com “radiação” estão sendo realizadas: raios-X e tubos de raios catódicos

Desenvolvem-se detectores de radiação:

- Câmara de nûvens
- Filmes
- Contador Geiger

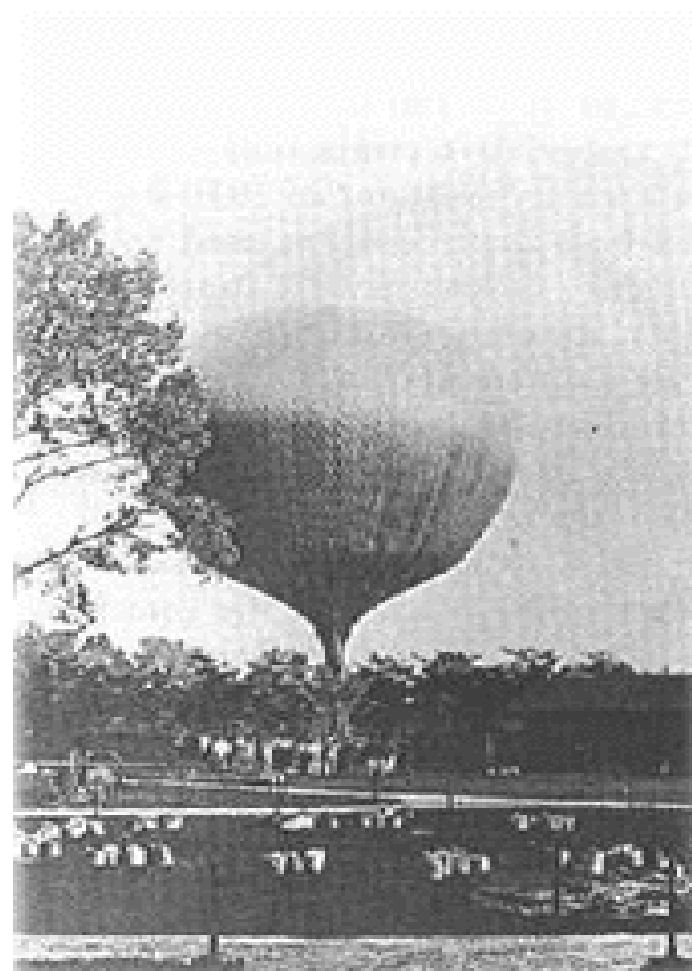
Radiação Natural

No nível do solo mede-se uma radiação
que deve ser gerada por
material radiativo no solo

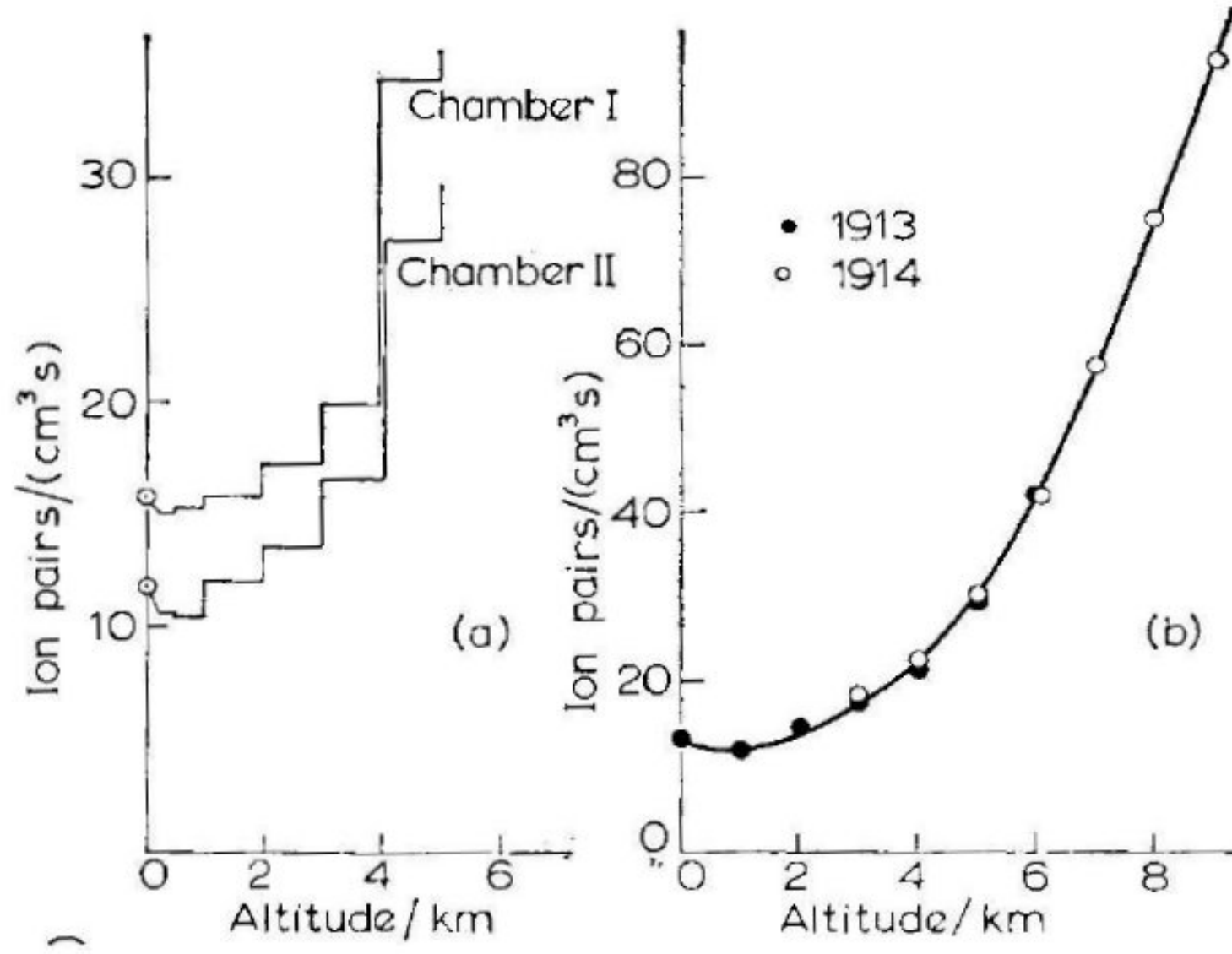


A intensidade da radiação deve diminuir
com a altitude

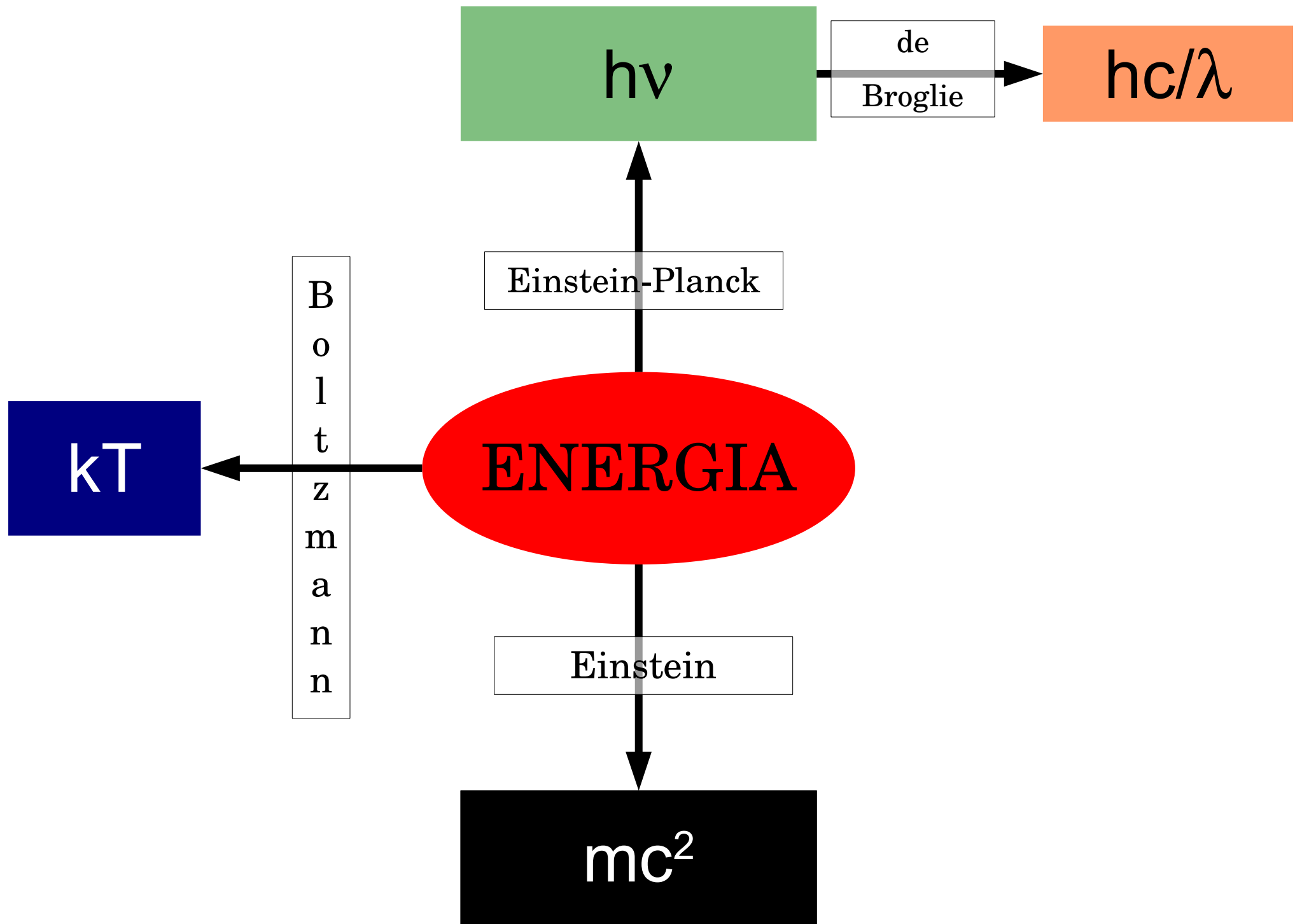
Raios ou Radiação Cósmica:

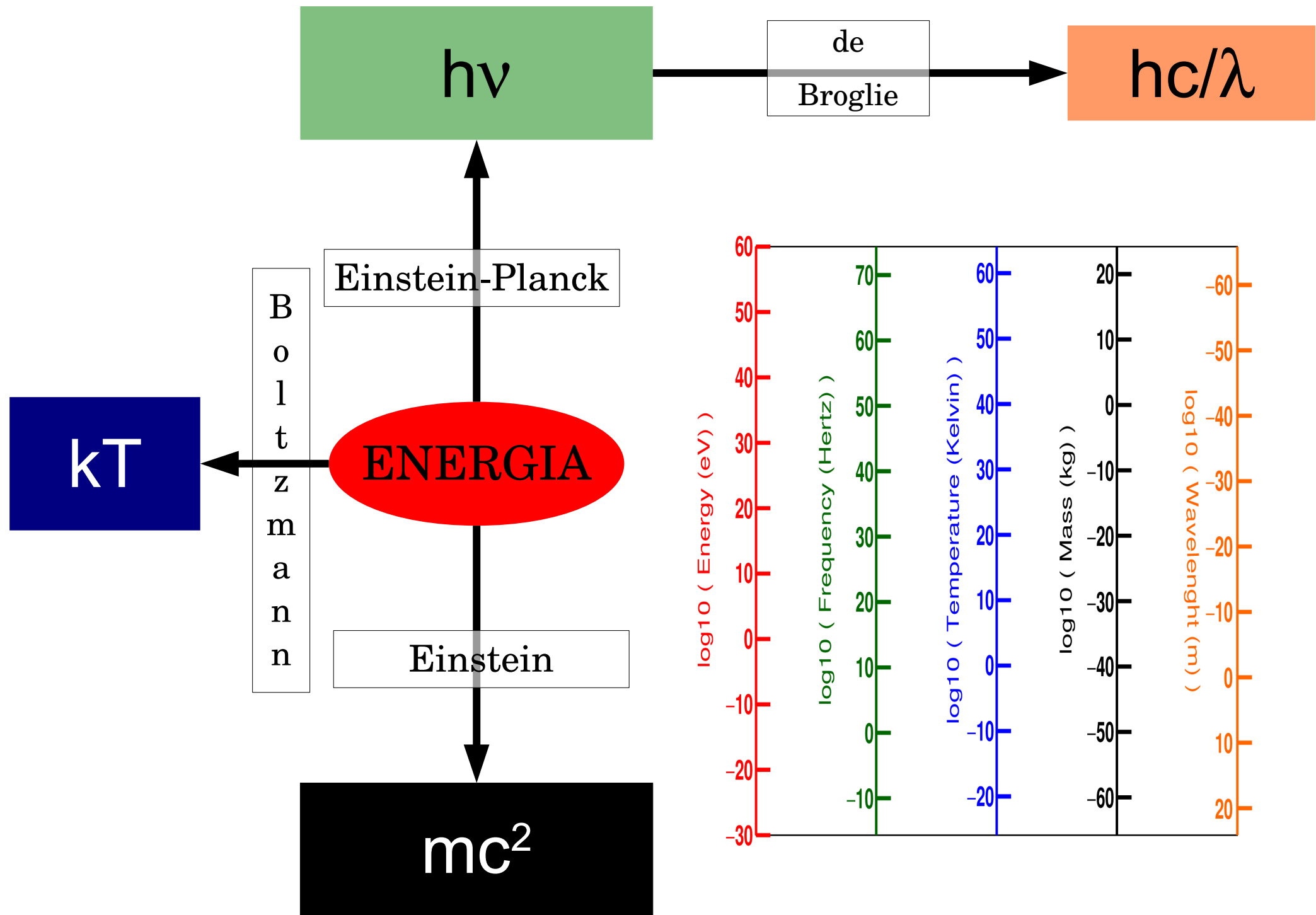


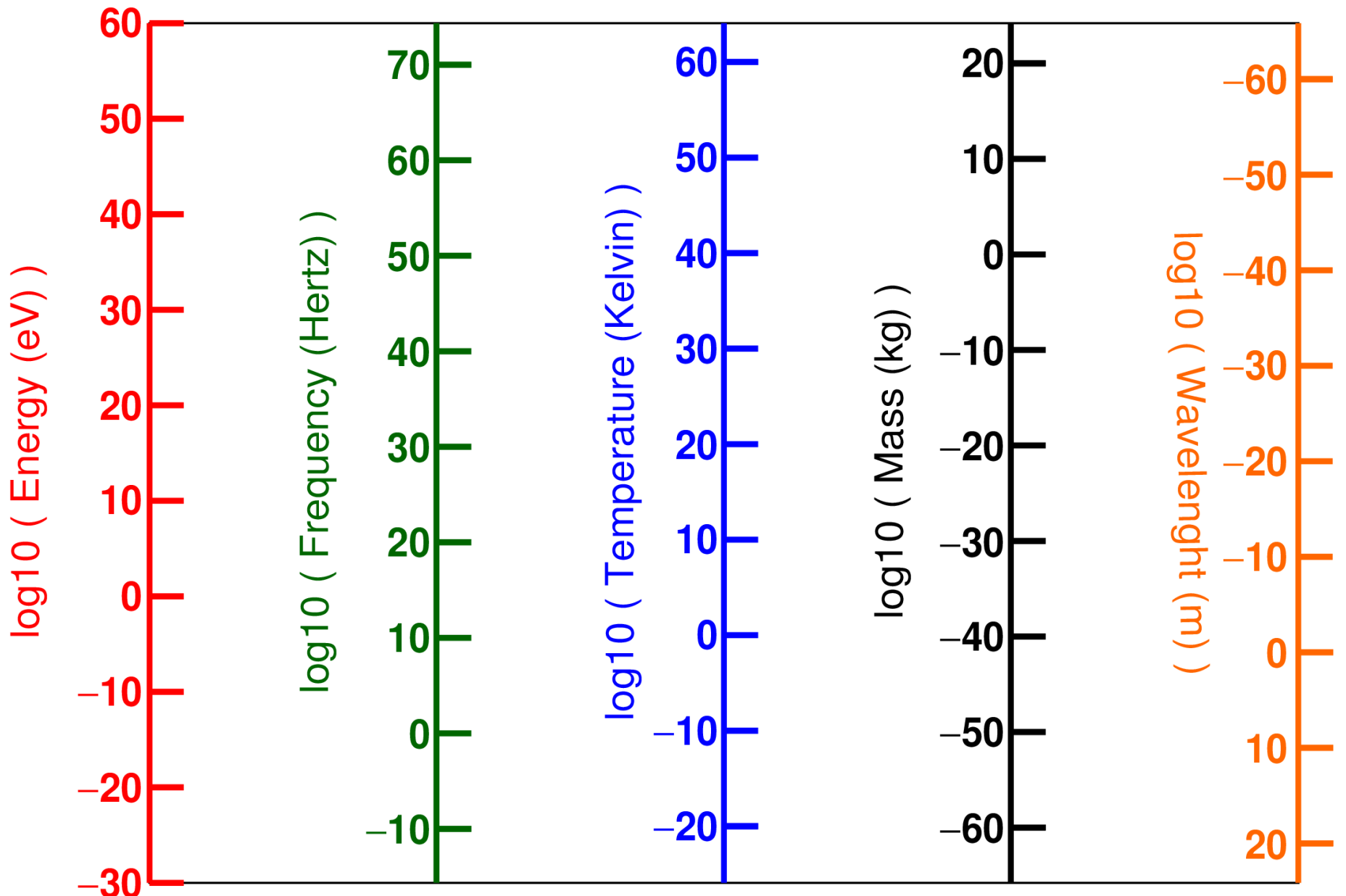
Victor Hess realizou medidas com balões e mostrou que a intensidade da radiação aumentava com a altitude



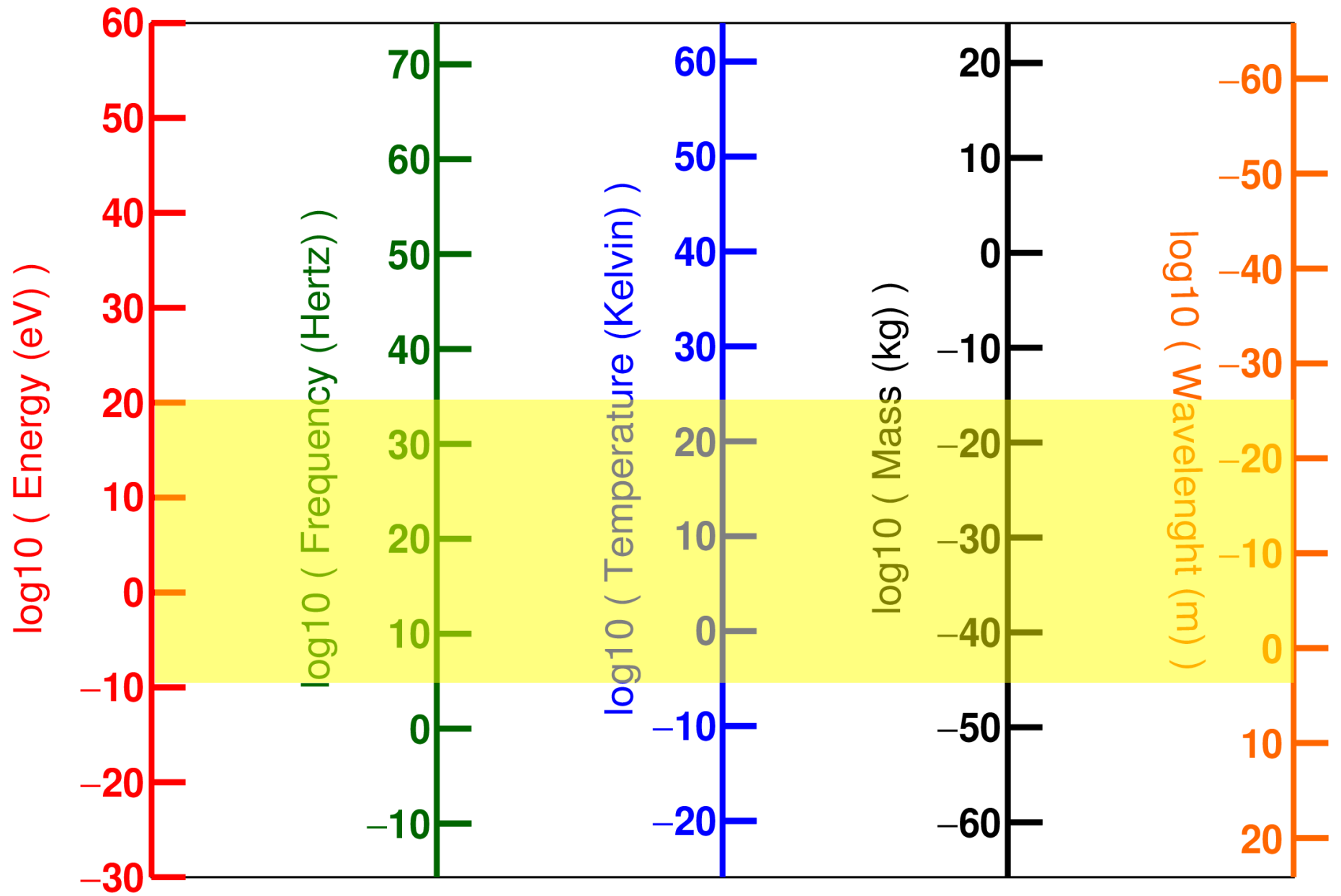
Fonte está fora Terra: Raios ou Radiação Cósmica

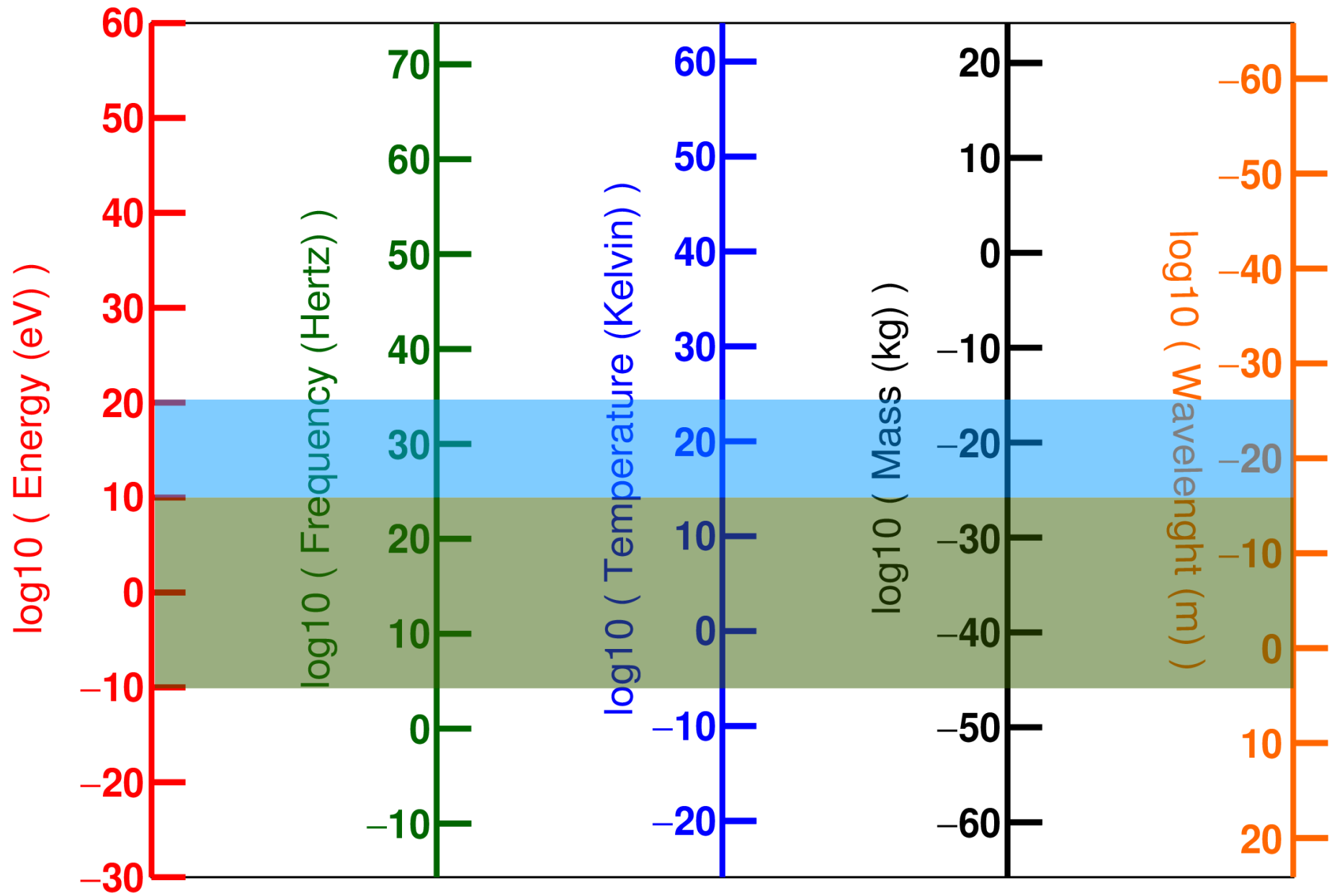


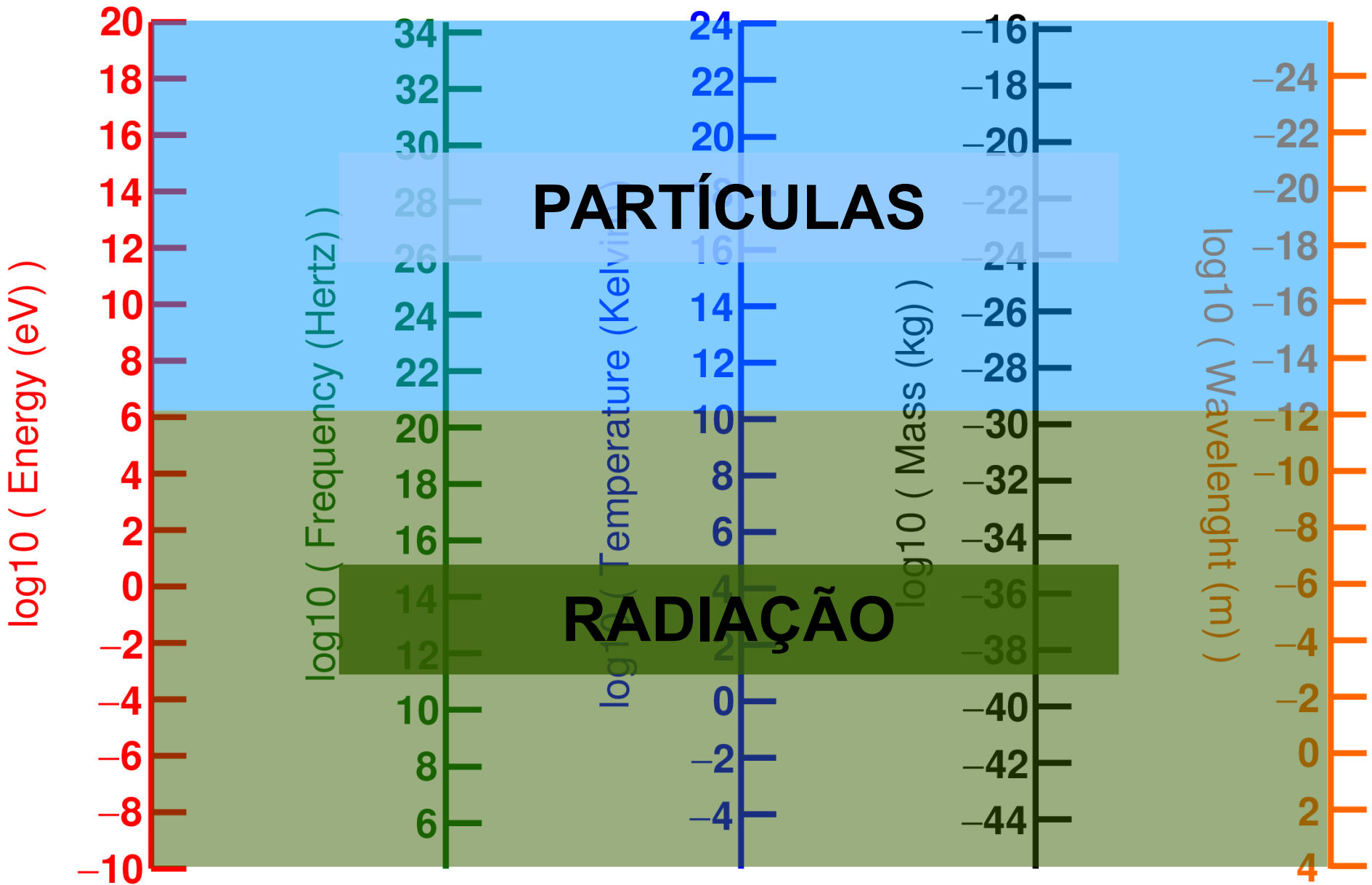




1 Joule = 1.6×10^{-19} eV

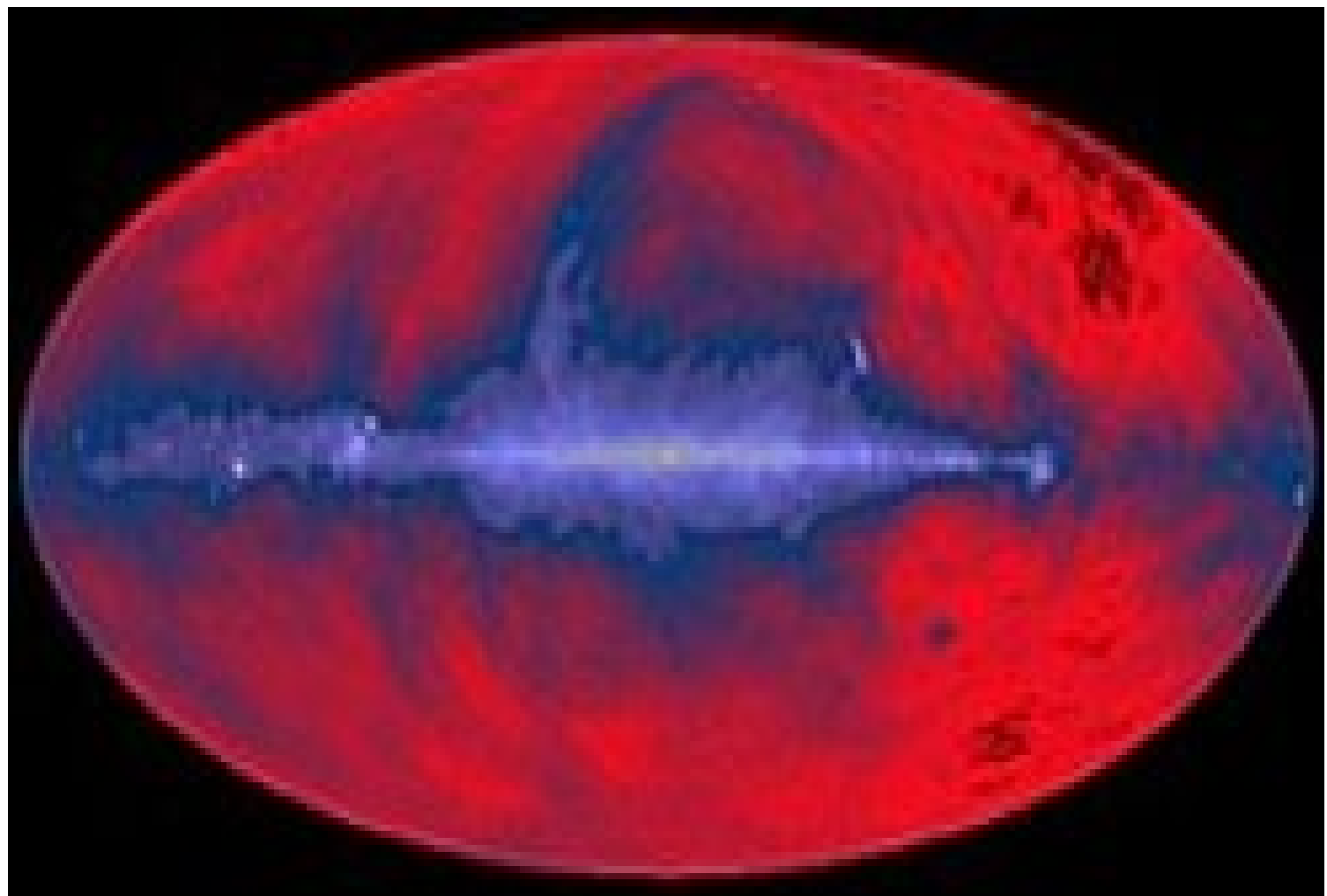
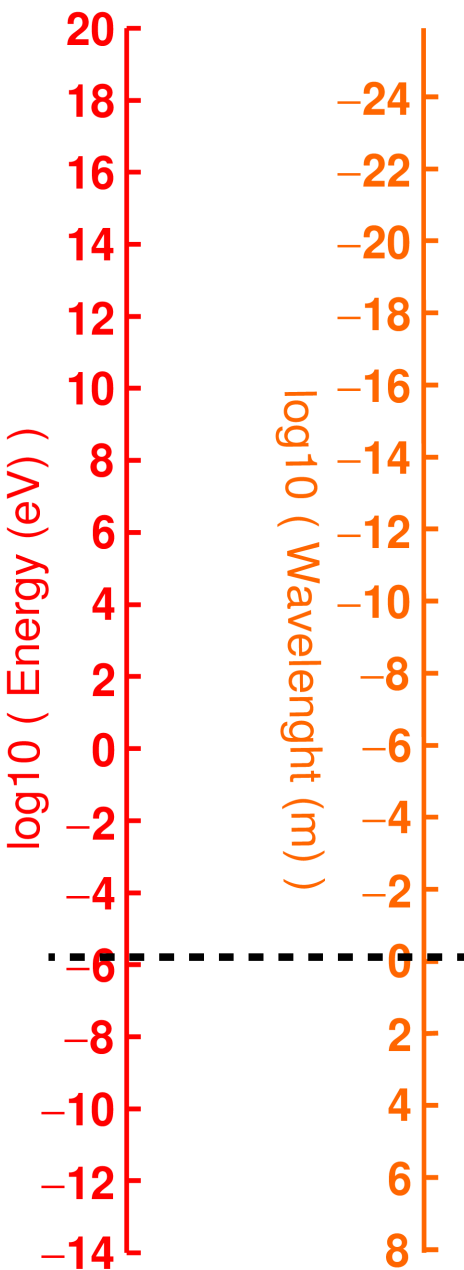






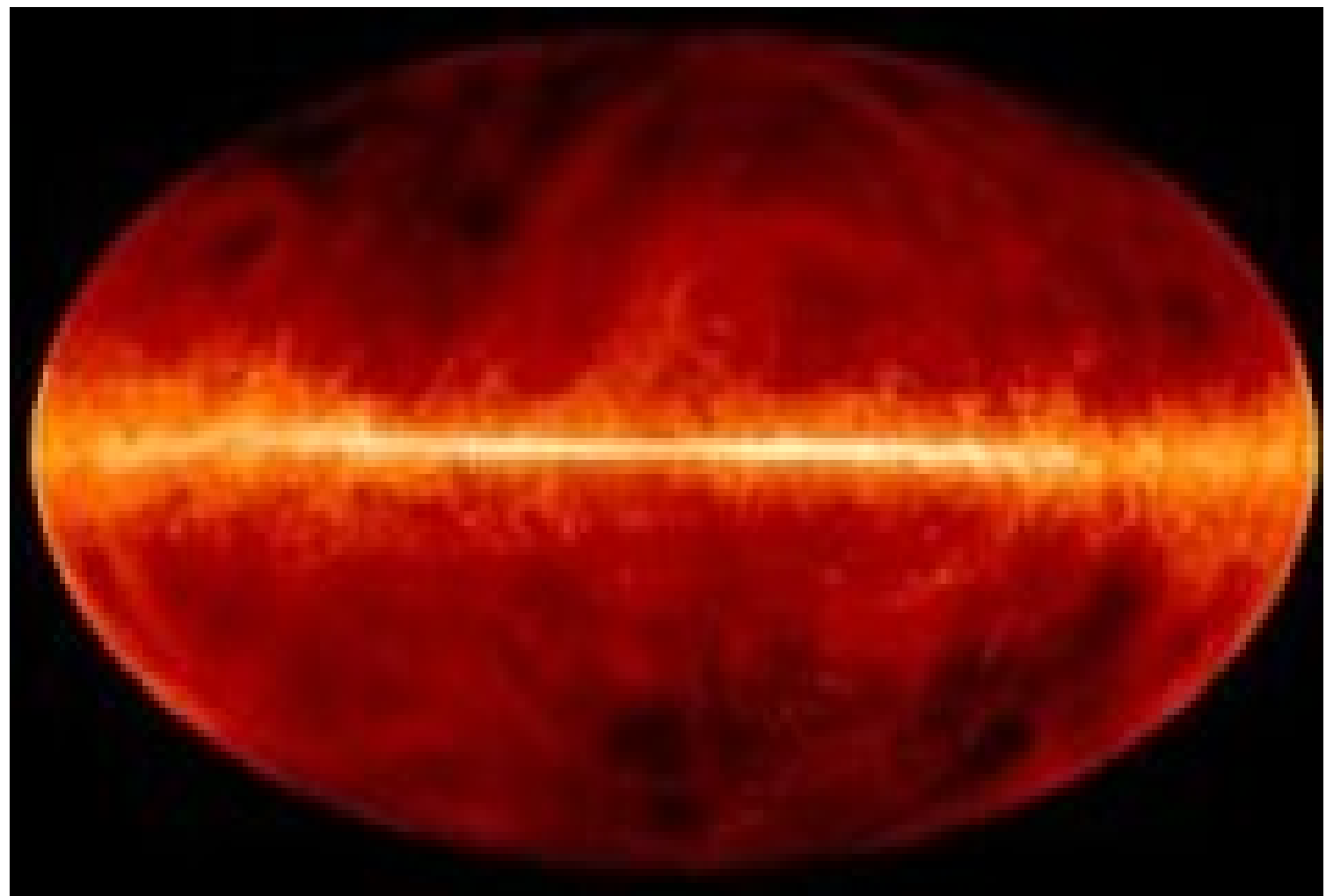
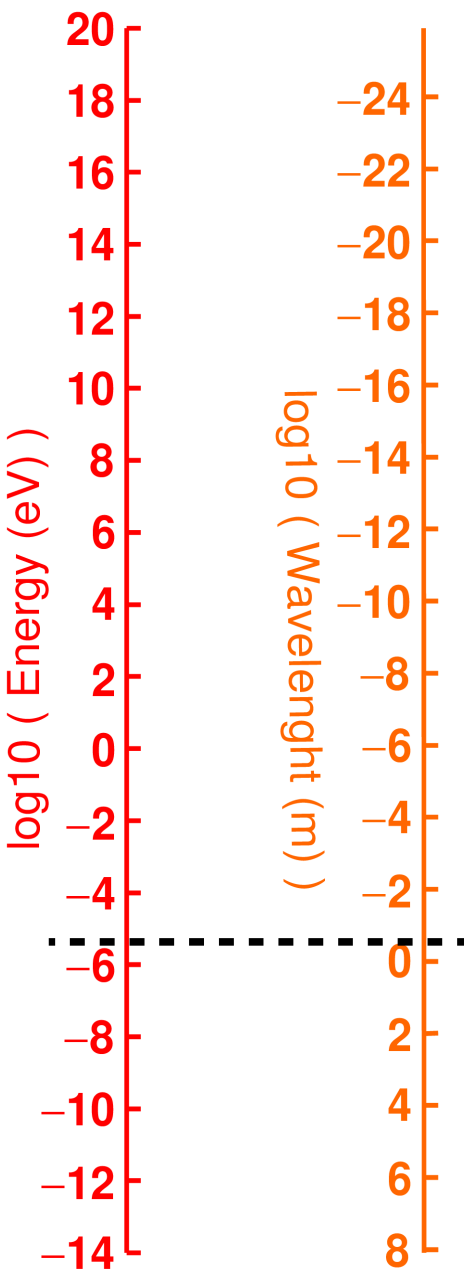
Rádio (408 MHz)

C. Haslam et al., MPIfR, SkyView

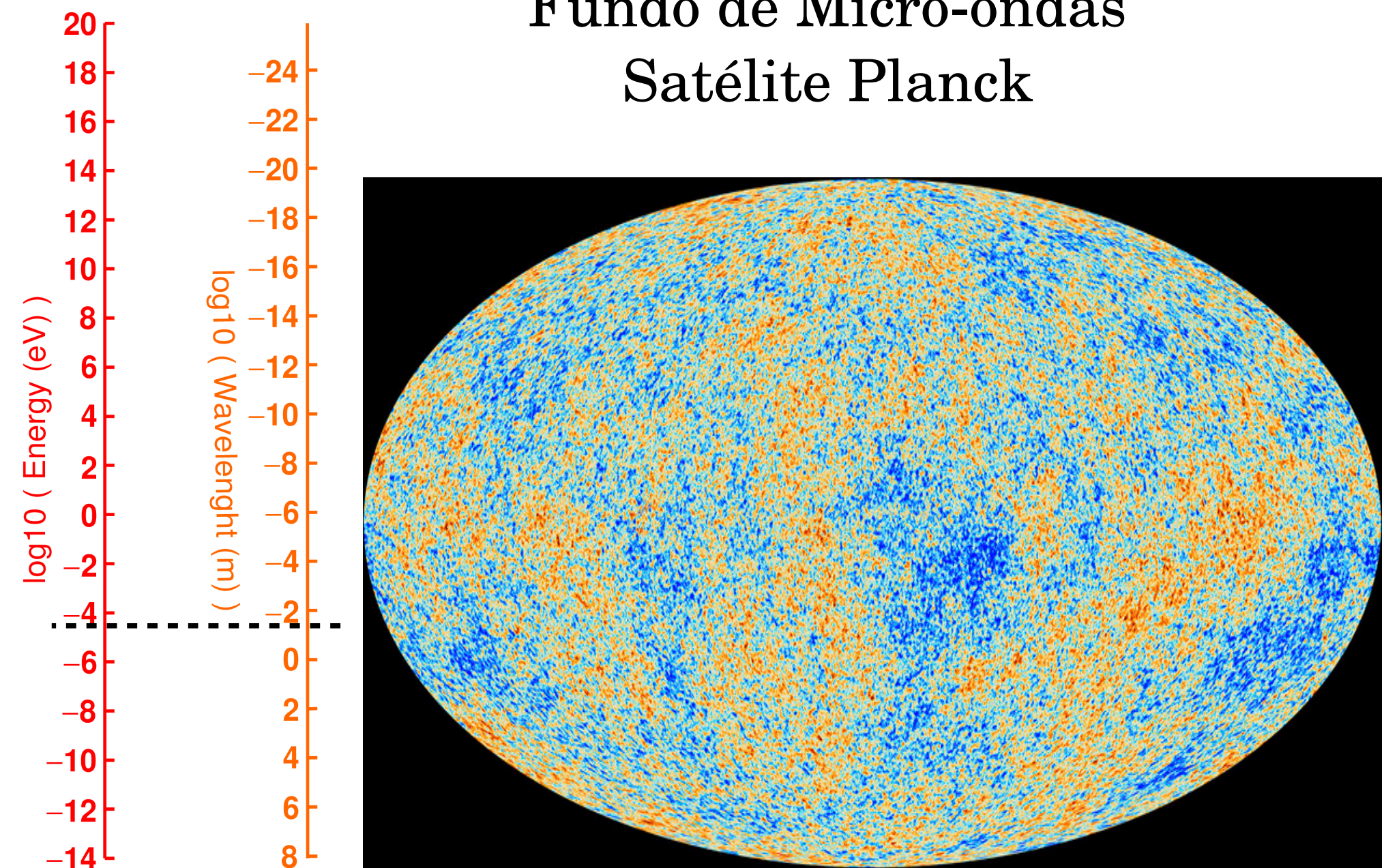


Rádio (1420 MHz)

J. Dickey et al., NRAO, SkyView

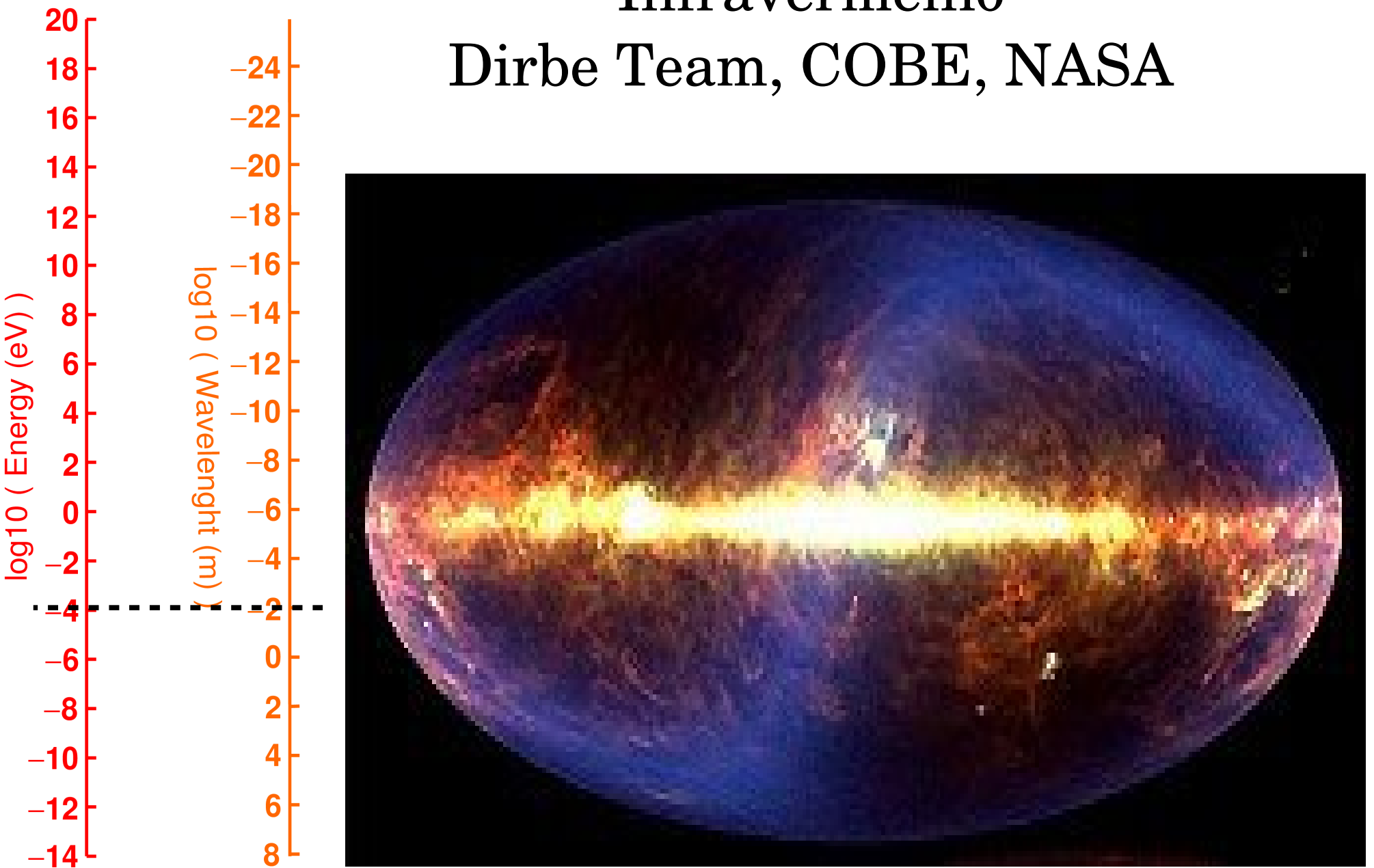


Fundo de Micro-ondas Satélite Planck

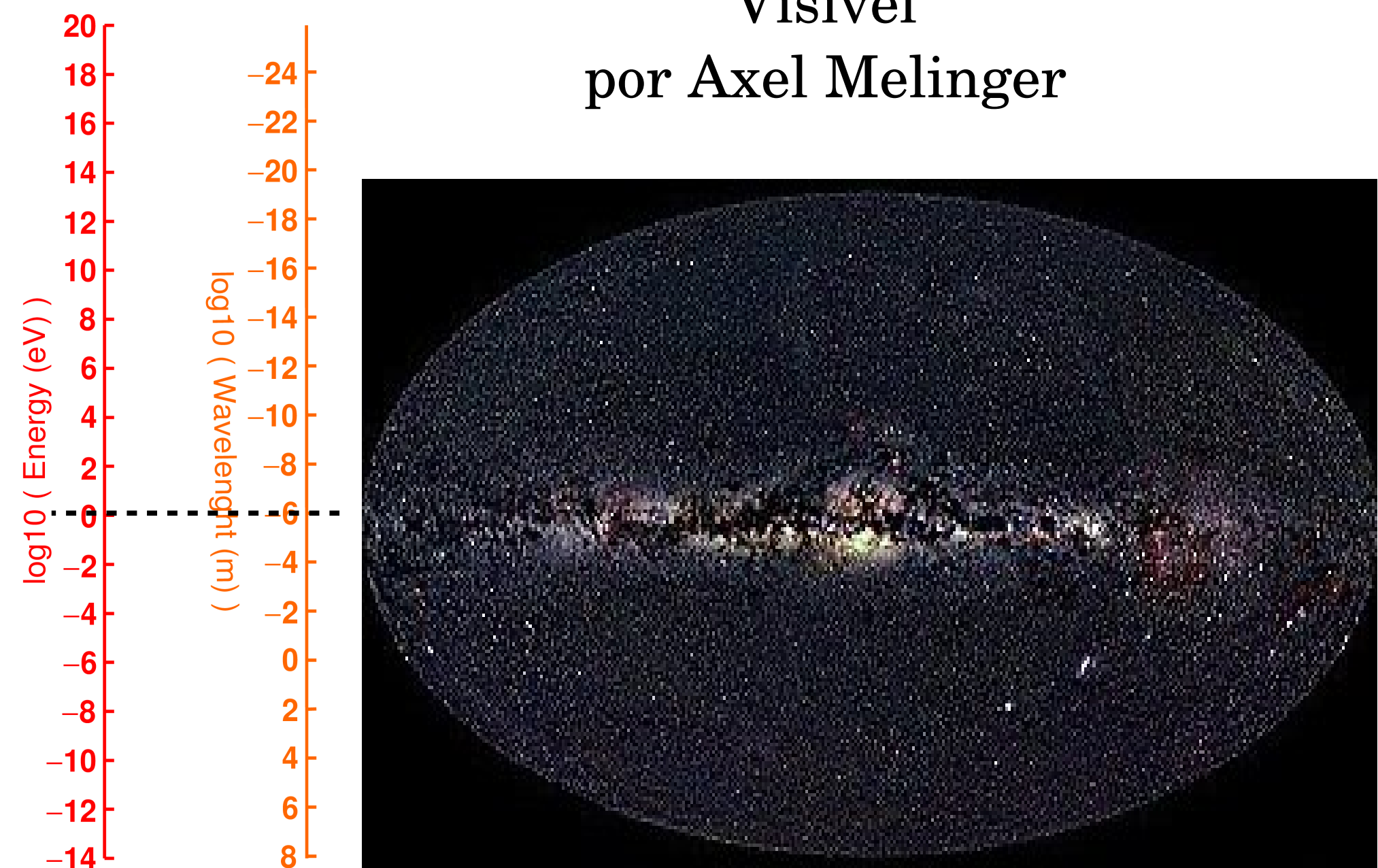


Infravermelho

Dirbe Team, COBE, NASA

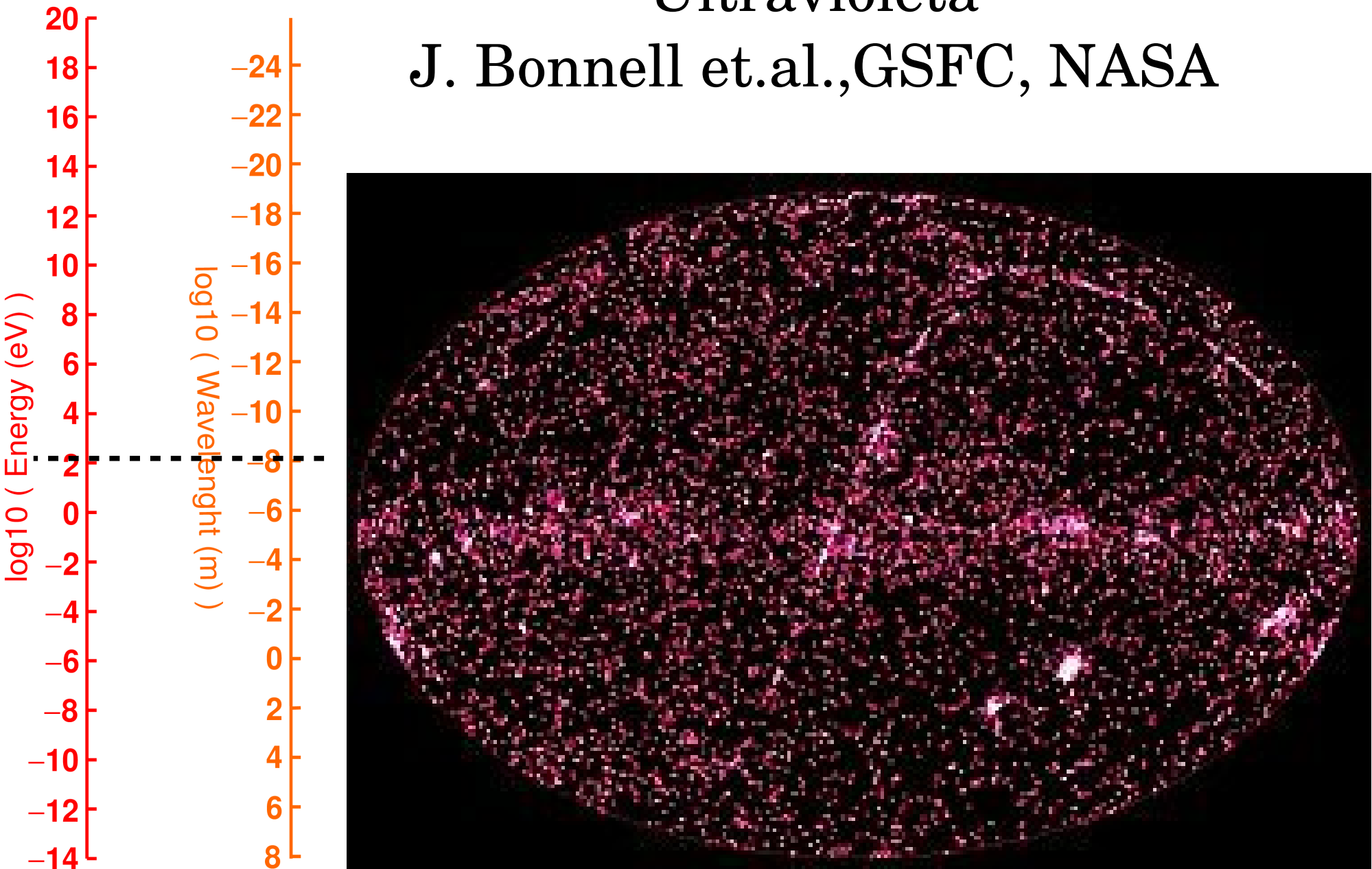


Visível
por Axel Melinger



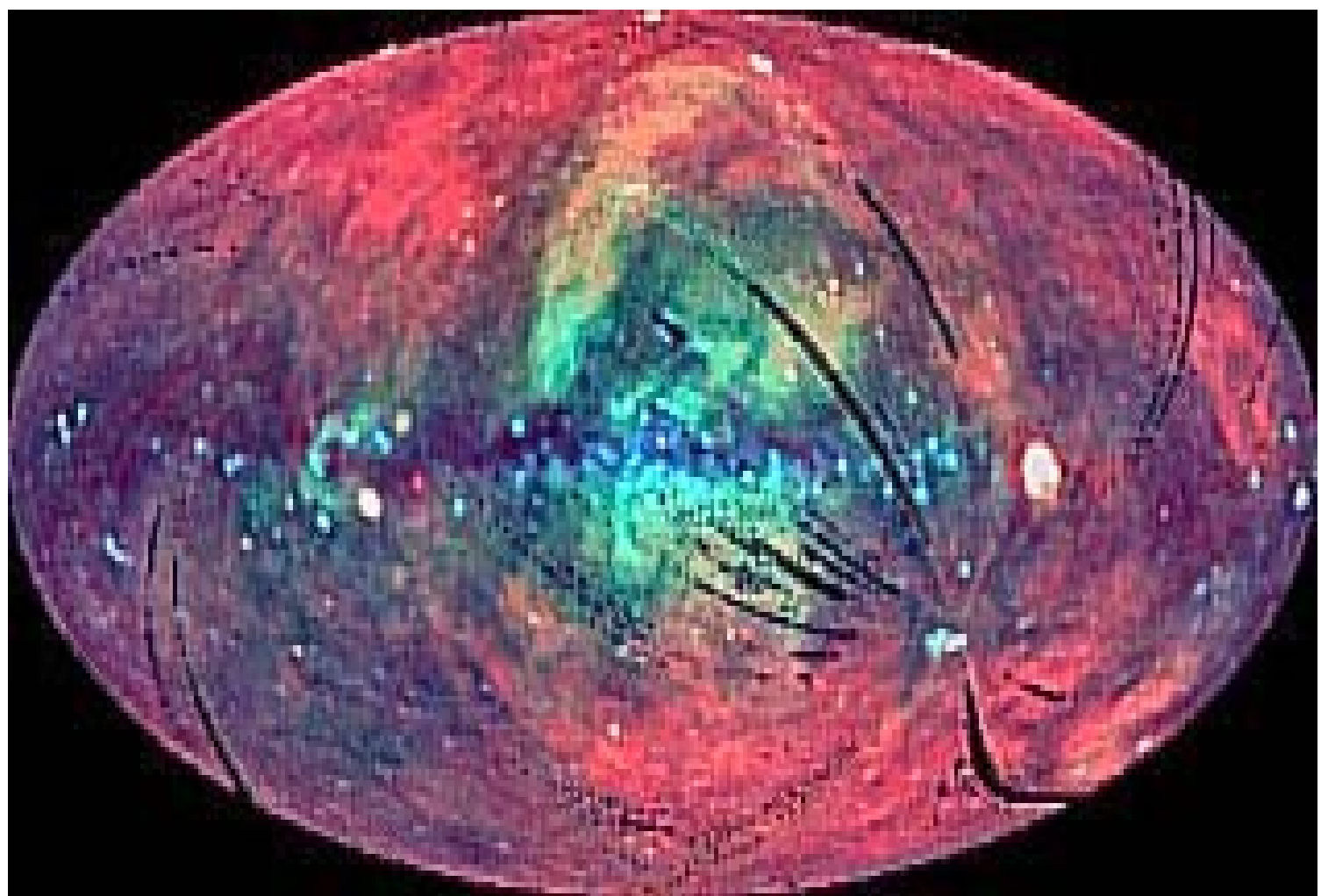
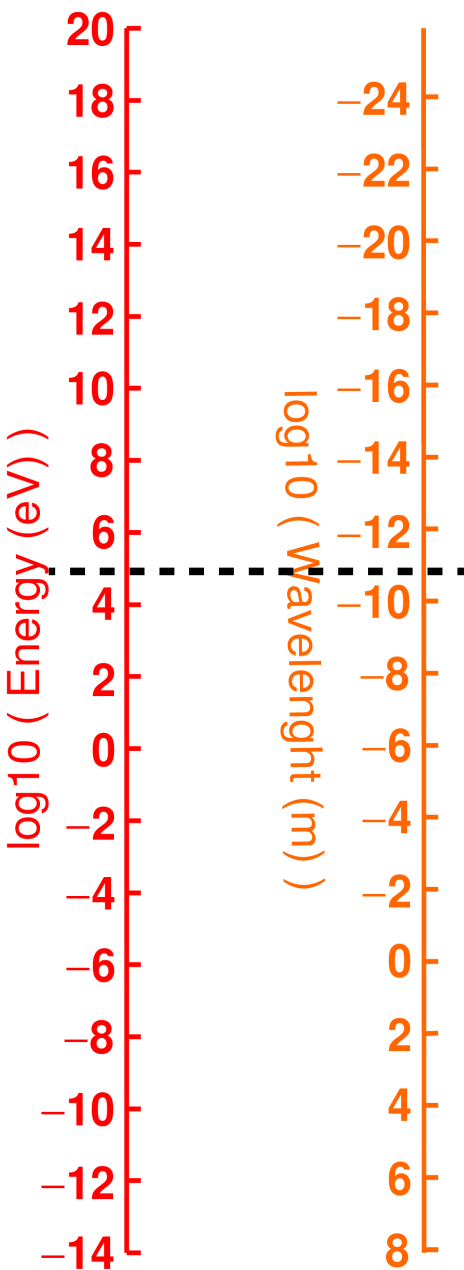
Ultraviolet

J. Bonnell et.al., GSFC, NASA



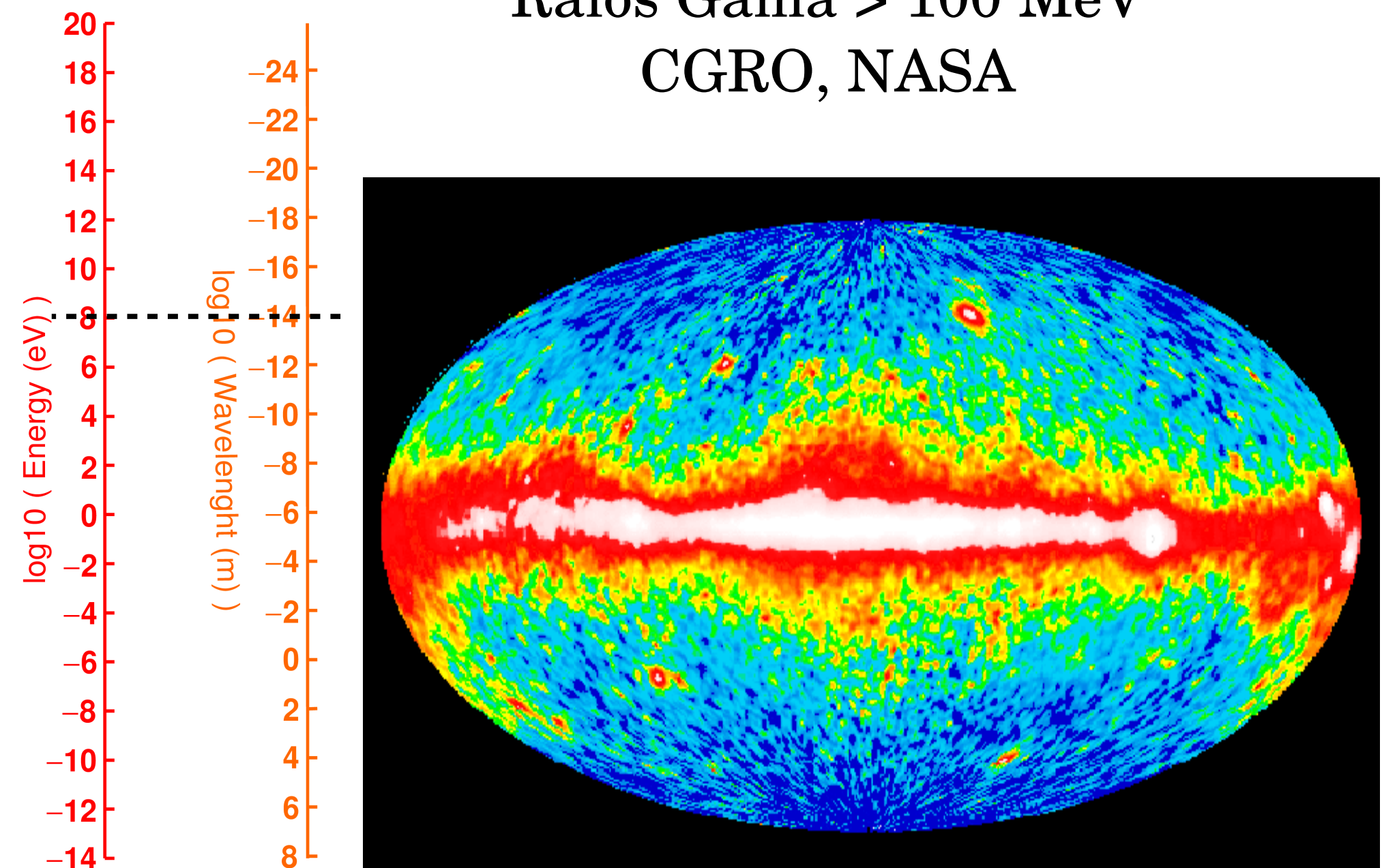
Raios-X

S. Digel et. al. ,GSFC, ROSAT, NASA



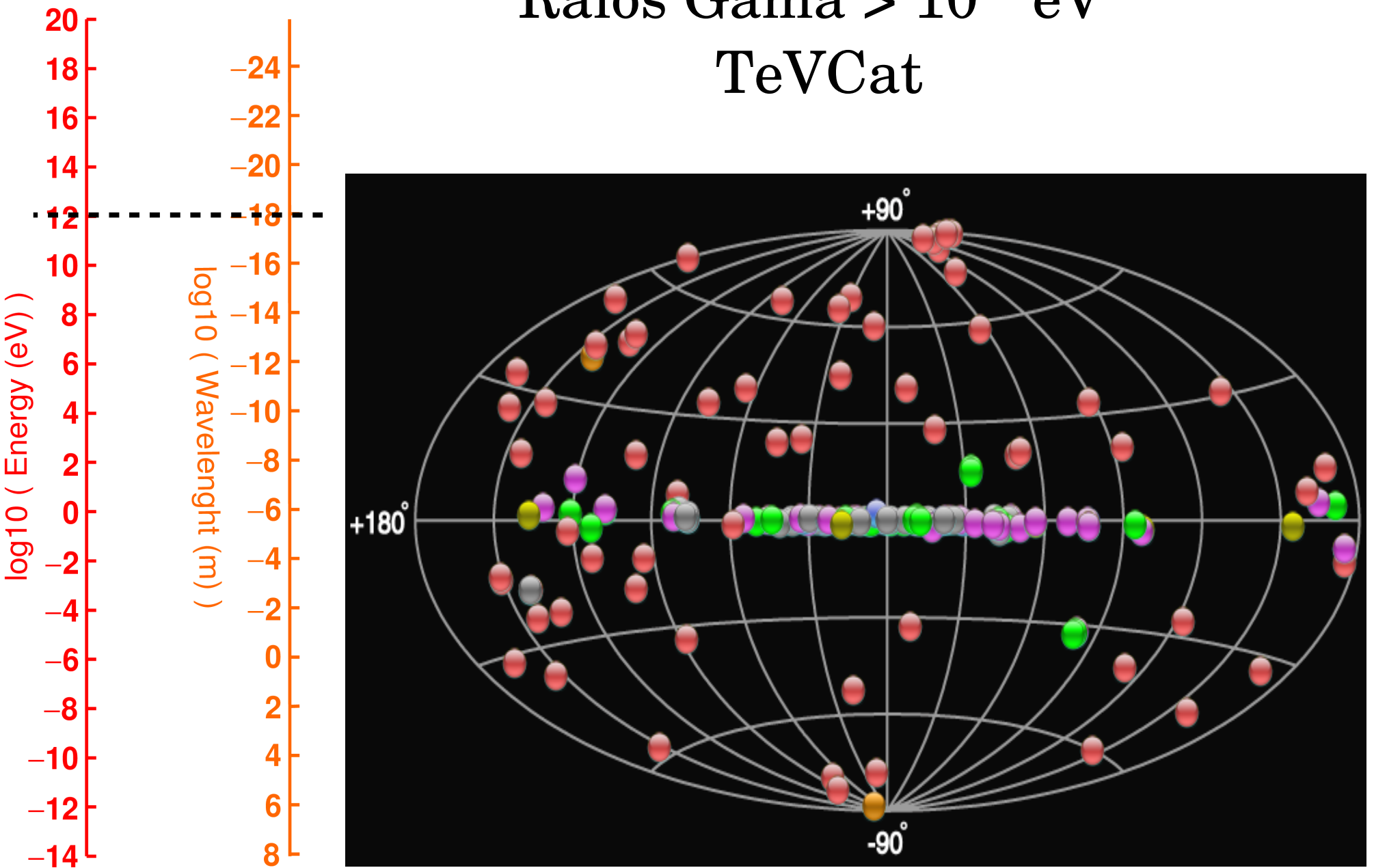
Raios Gama > 100 MeV

CGRO, NASA

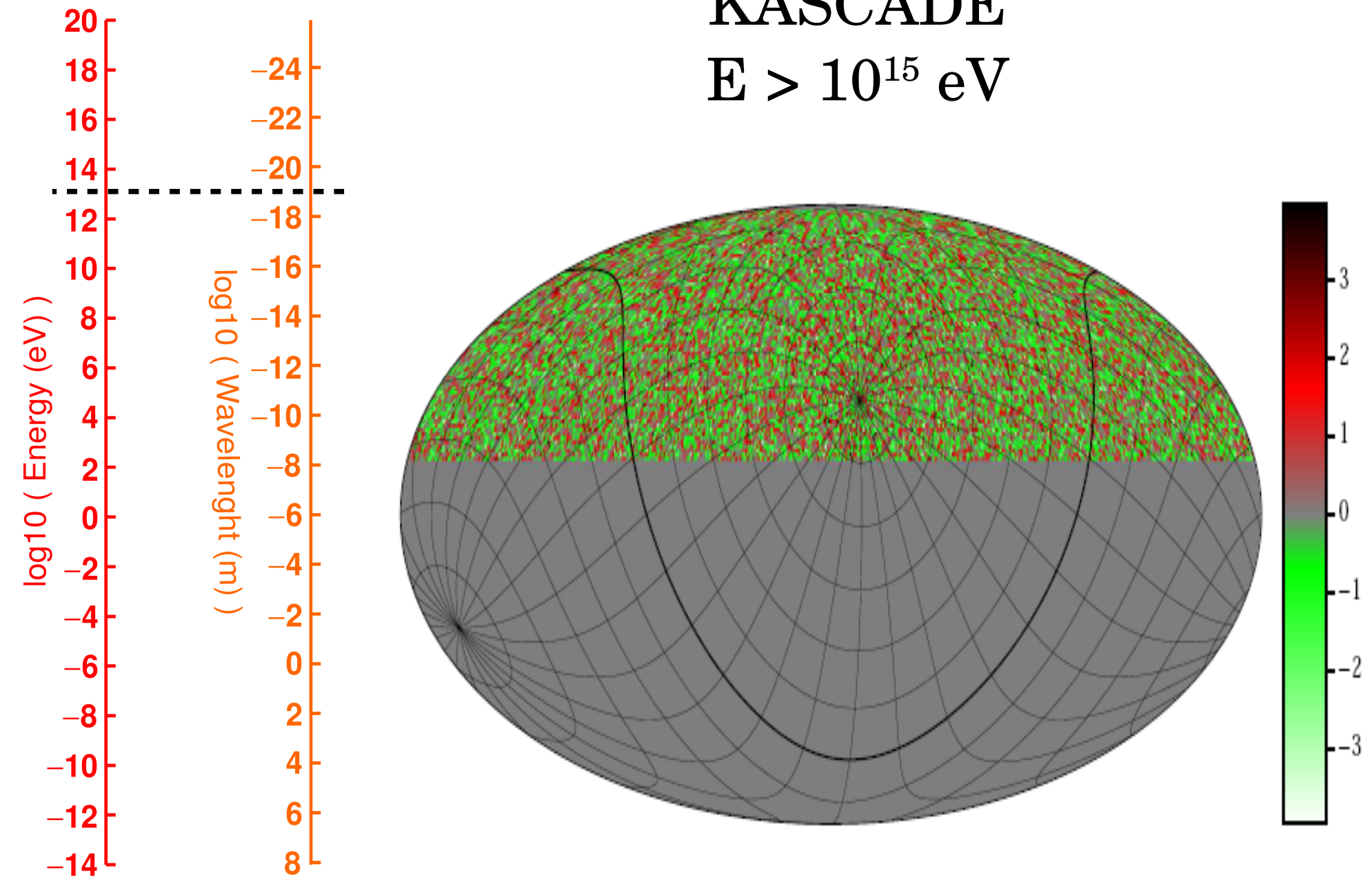


Raios Gama > 10^{12} eV

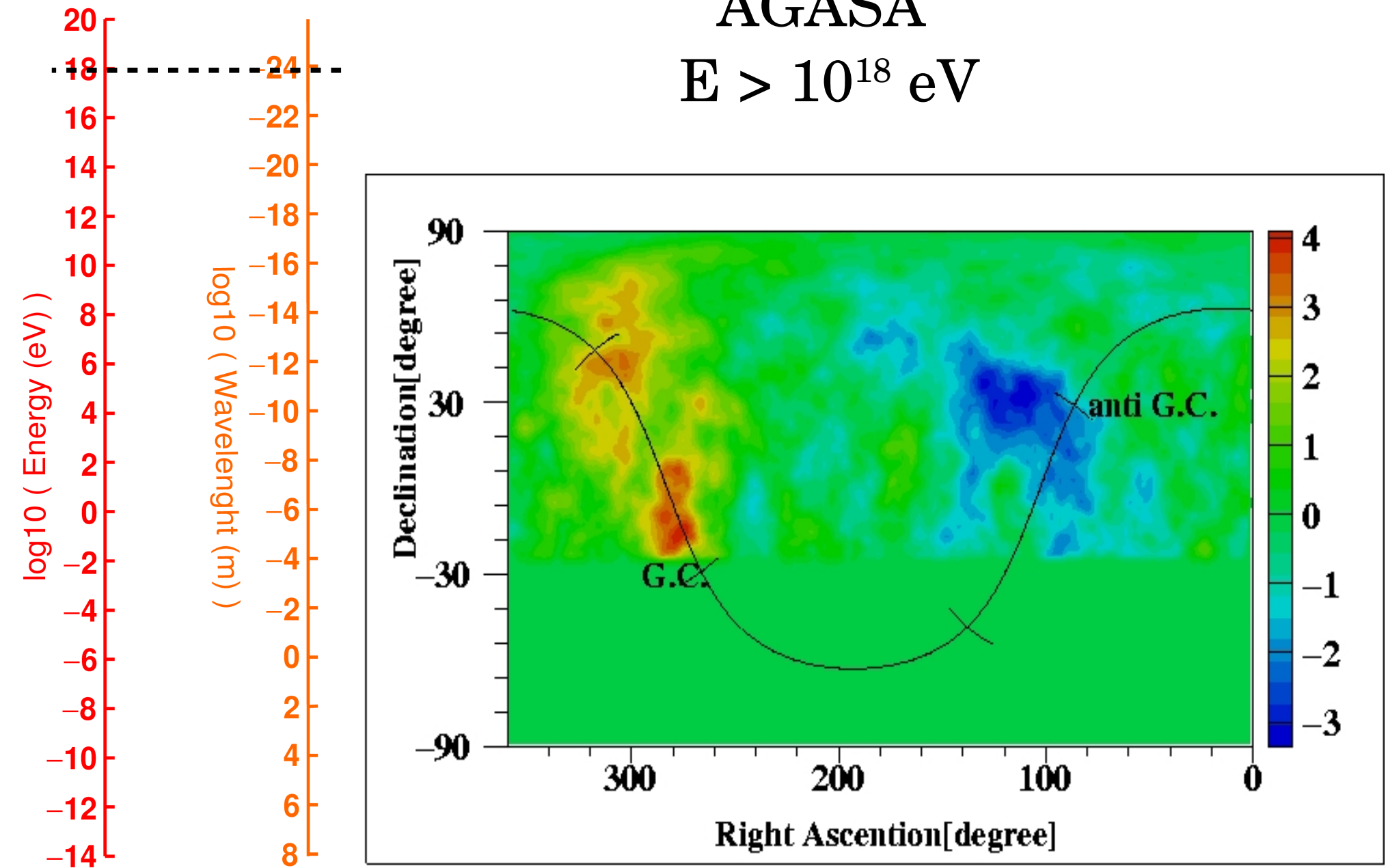
TeVCat



KASCADE
 $E > 10^{15}$ eV

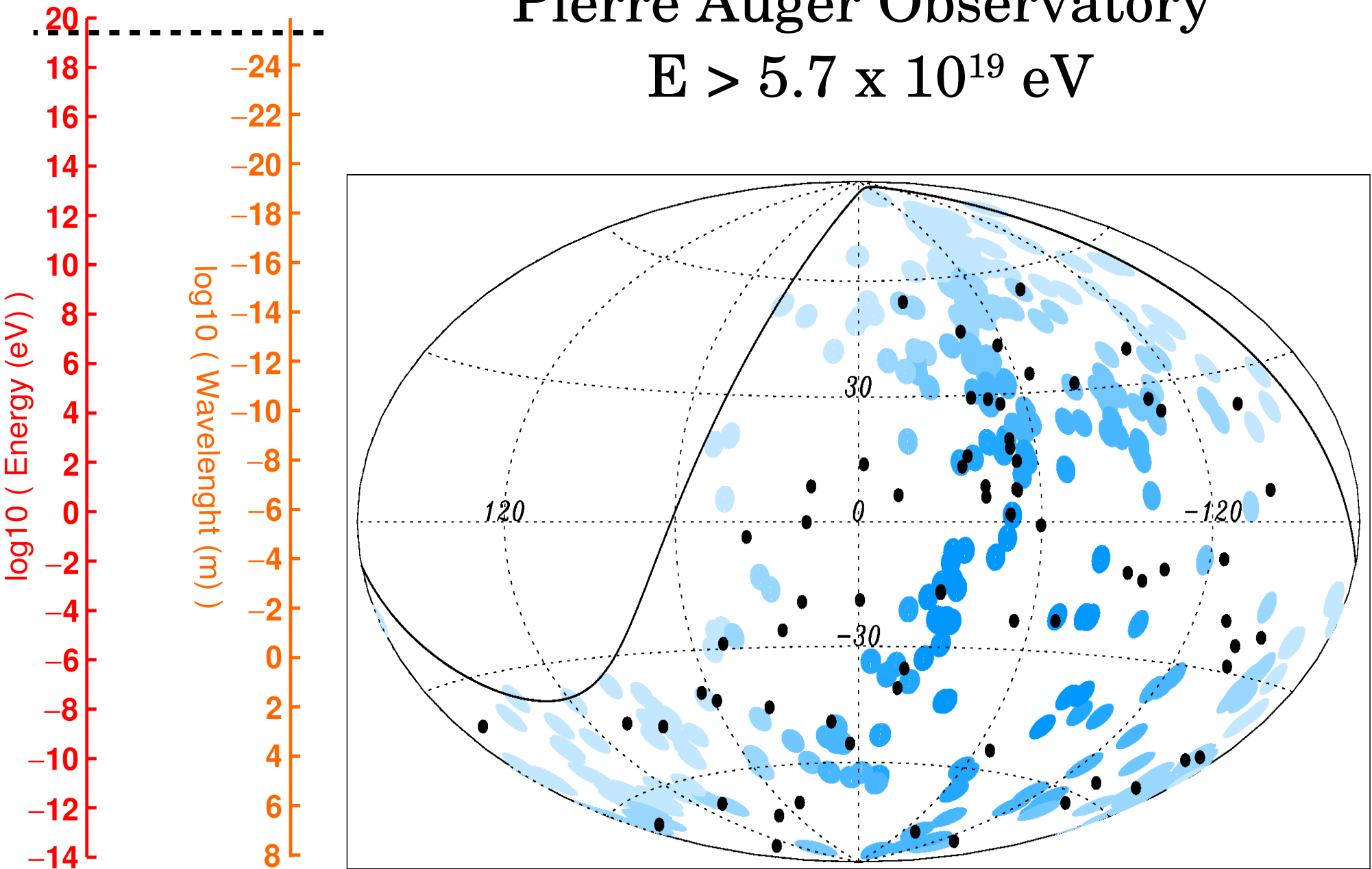


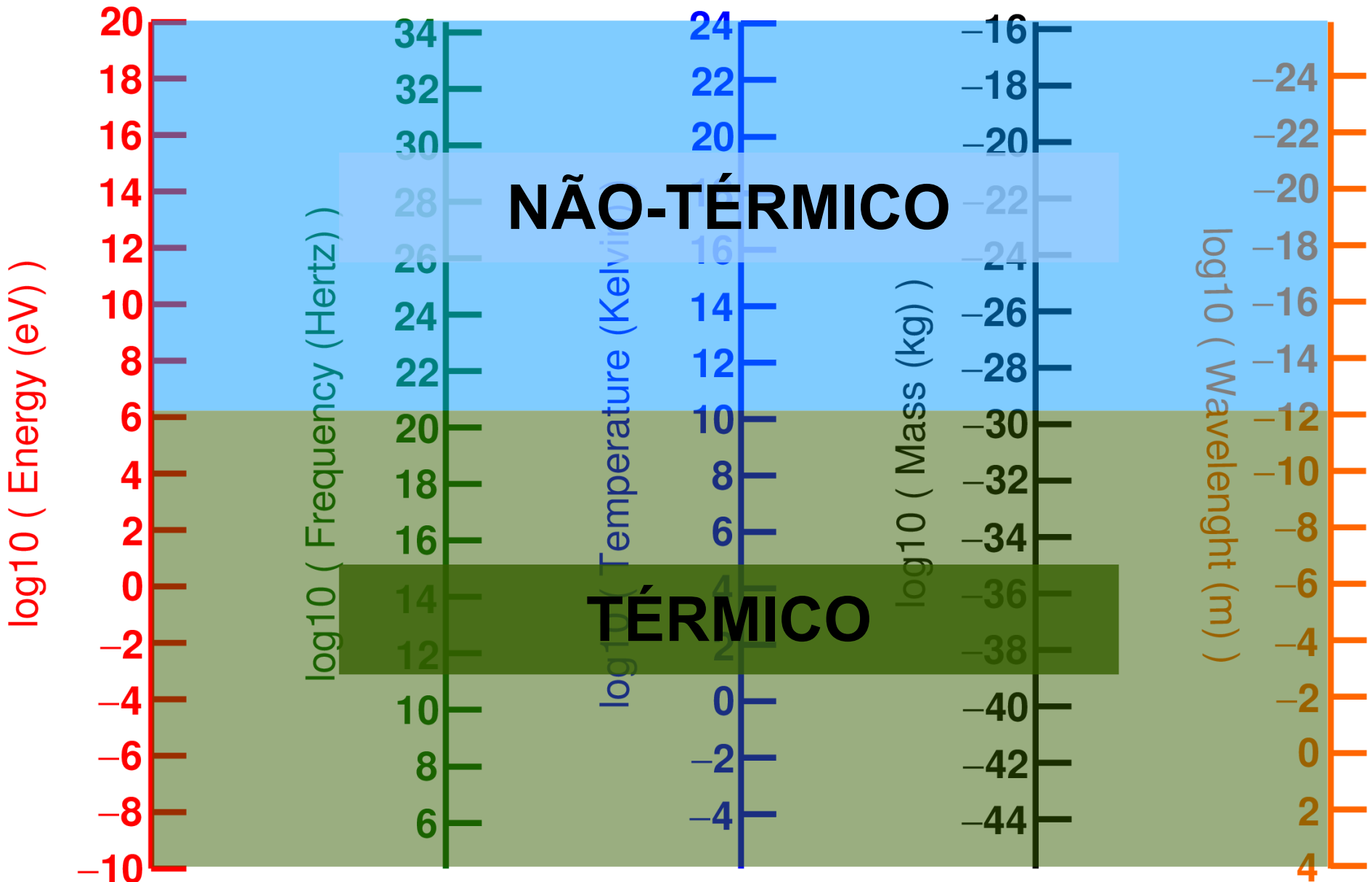
AGASA
 $E > 10^{18}$ eV



Pierre Auger Observatory

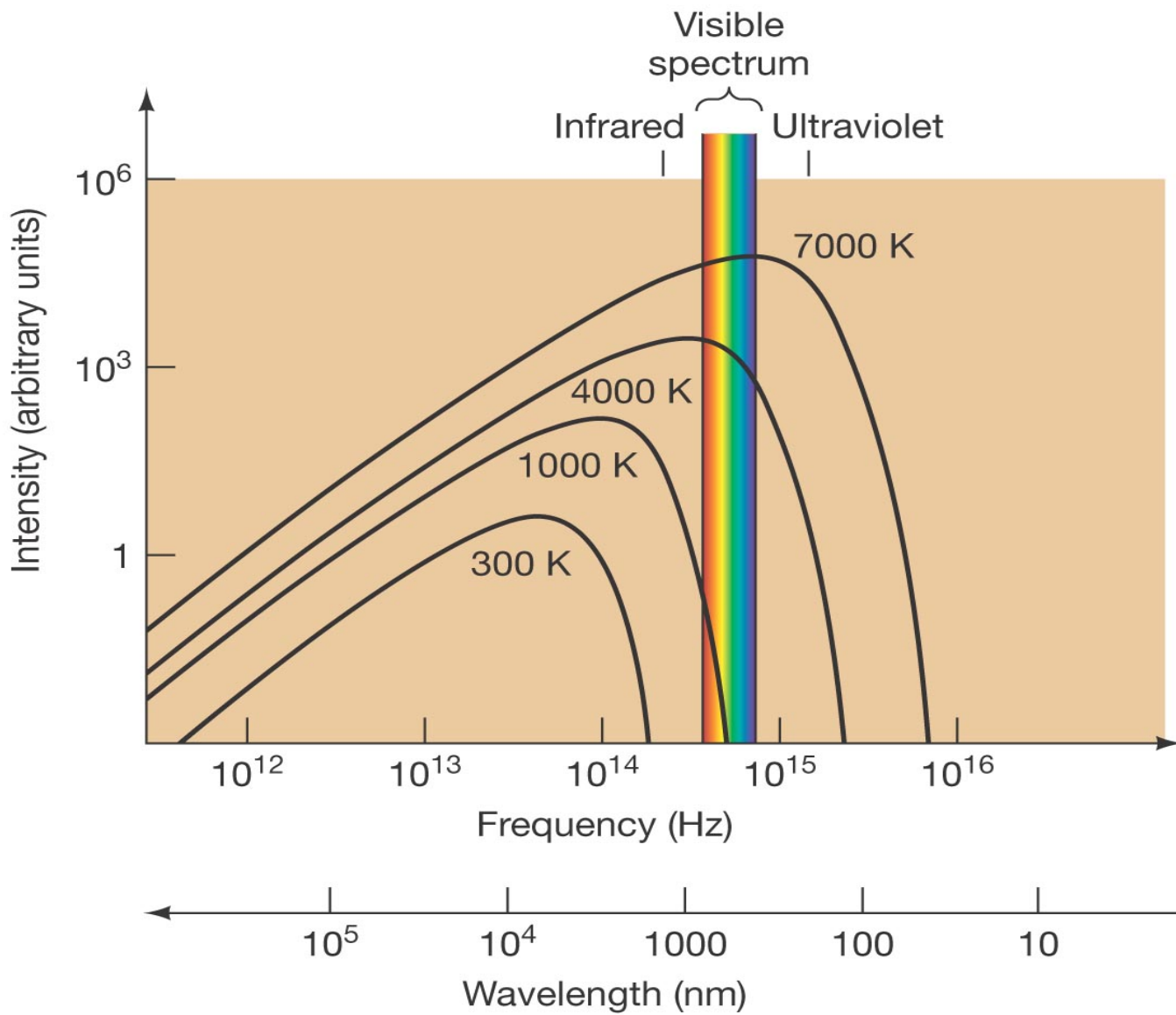
$E > 5.7 \times 10^{19} \text{ eV}$

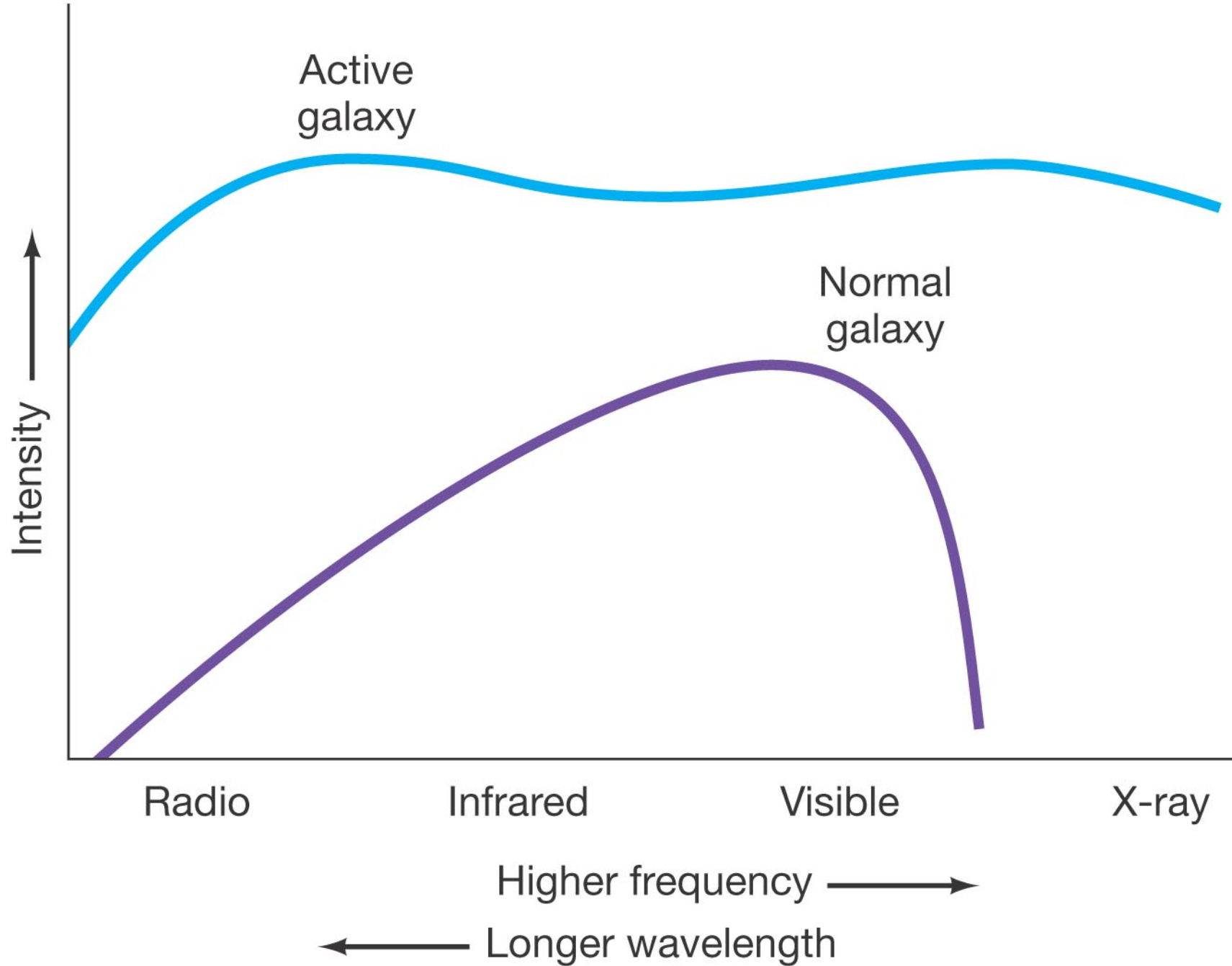




Emissão térmica

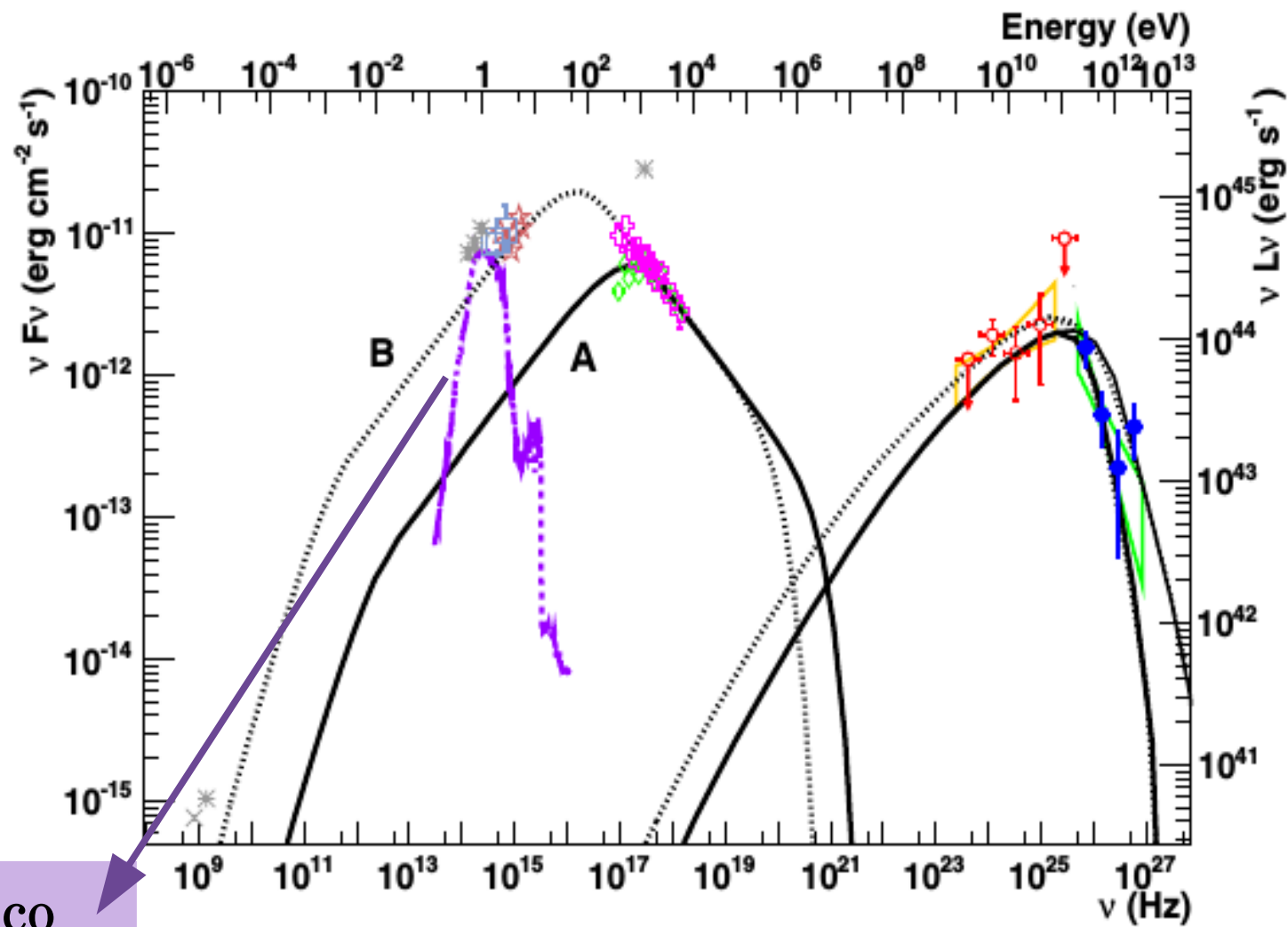
Radiação de corpo negro





Emissão não-térmica

H.E.S.S. Collaboration et al.: Discovery of VHE γ -ray emission of 1RXS J101015.9–311909



Térmico
com absorção

H.E.S.S. Collaboration A&A 539, A149 (2012)

Não térmica - Aceleração

- Mecanismo de Fermi: 1^a e 2^a ordem
 - Colisões das partículas com ondas de choque magnetizadas
 - Processo coletivo: muita energia do meio concentrada em poucas partículas
 - Elite energética
- Produção de radiação:
 - Radiação Sincrotron
 - Bremmstralung – Radiação de Freamento
 - Efeito Compton Inverso



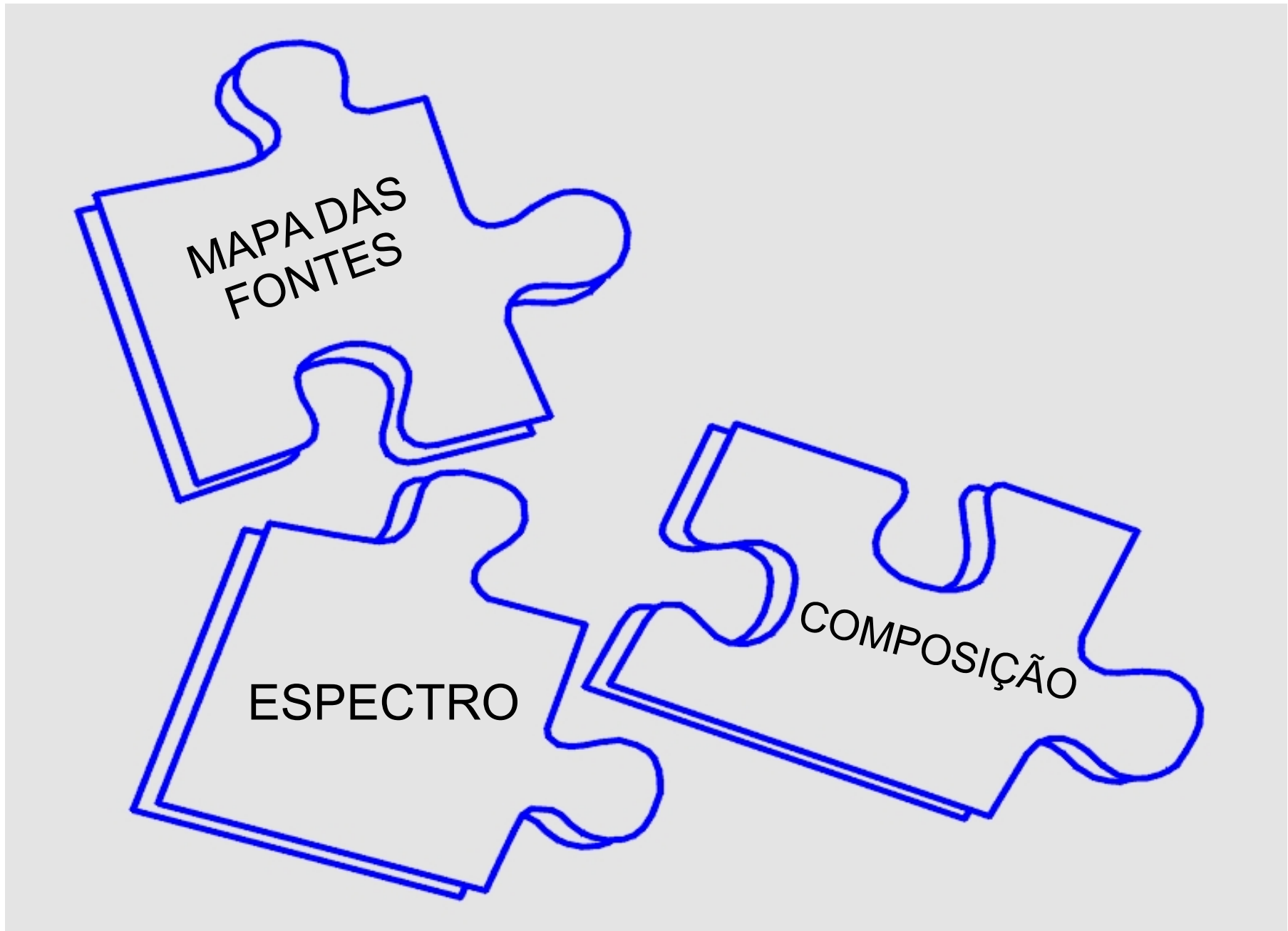
Astrofísica de Partículas

A ciência que estuda os processos físicos ocorrendo em objetos astrofísicos através da detecção de partículas de alta energia.

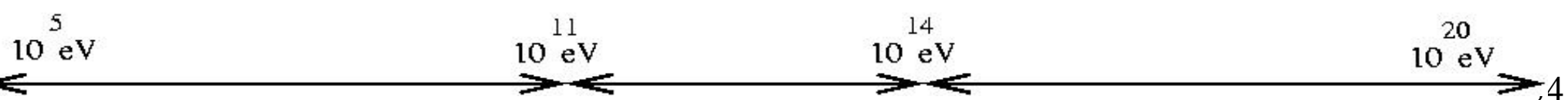
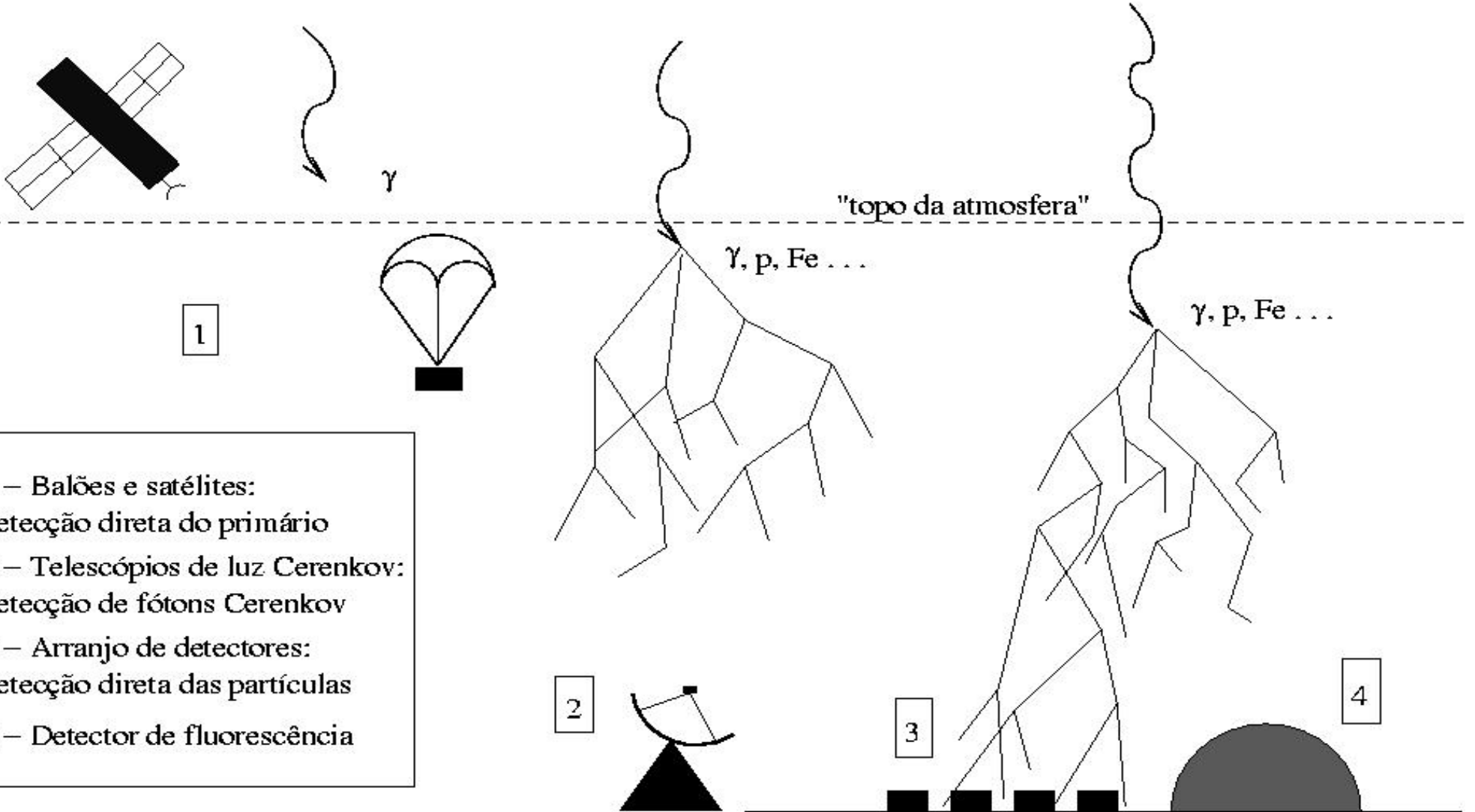
Astrofísica das fontes

Interação entre partículas

Astrofísica de partículas

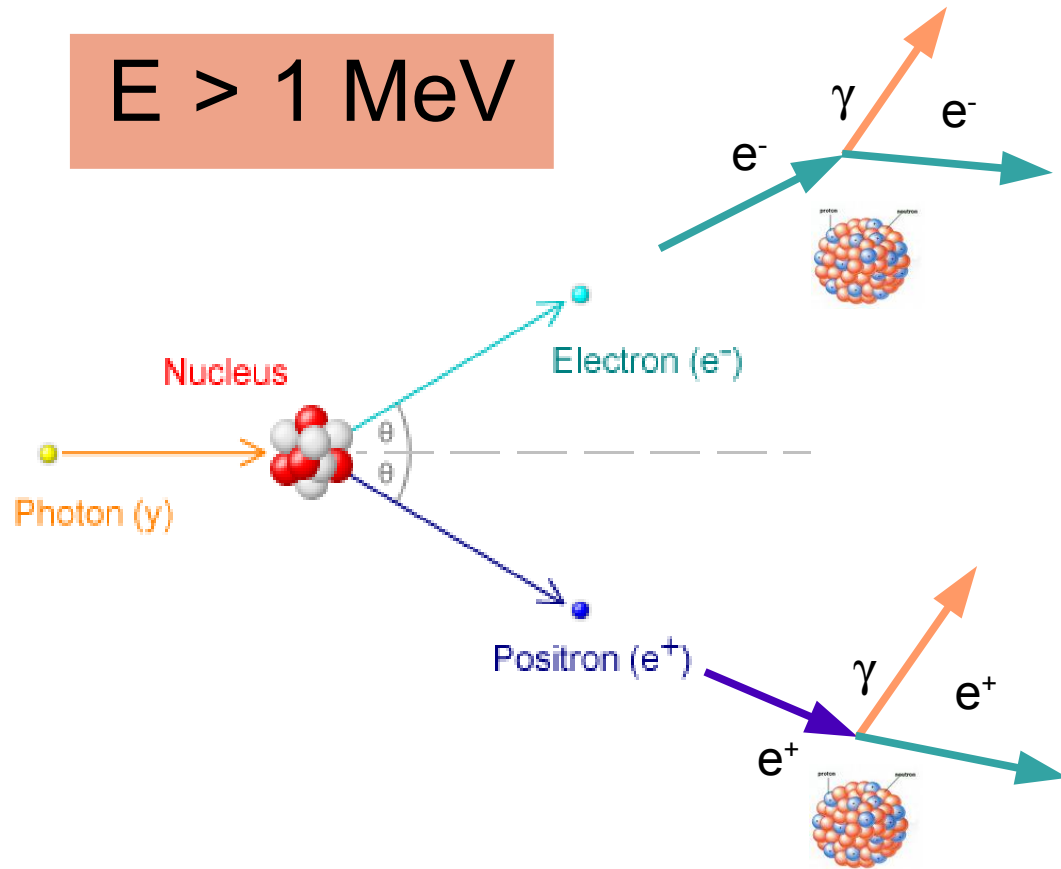


Experimentos de Raios Cósmicos

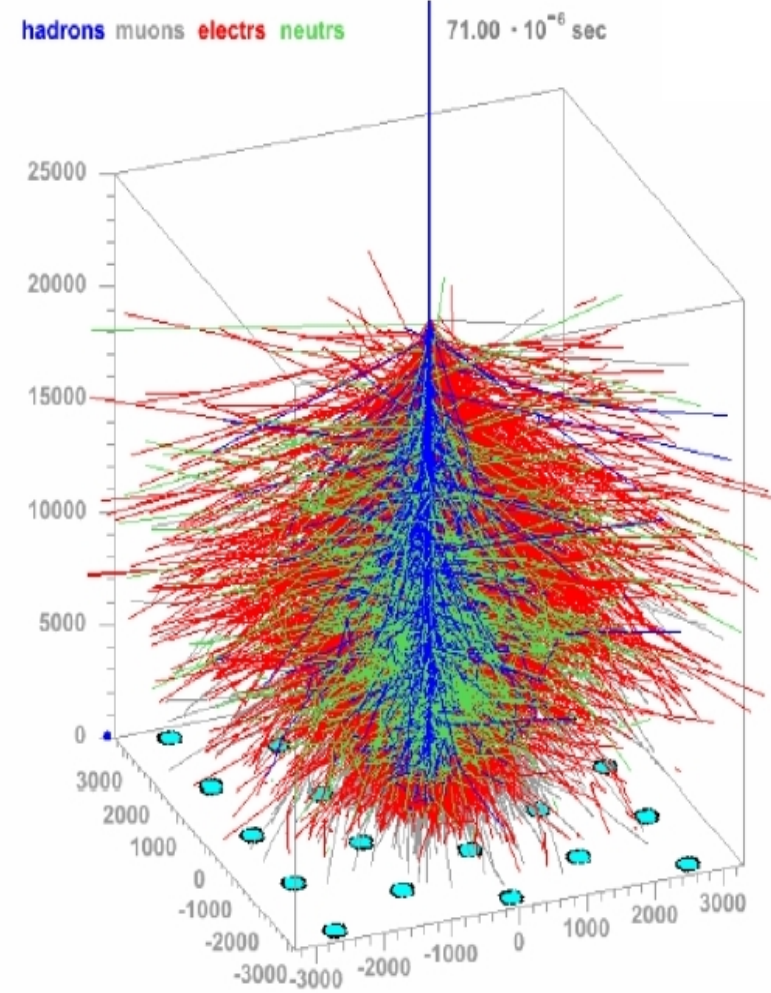


Chuveiro de Partículas

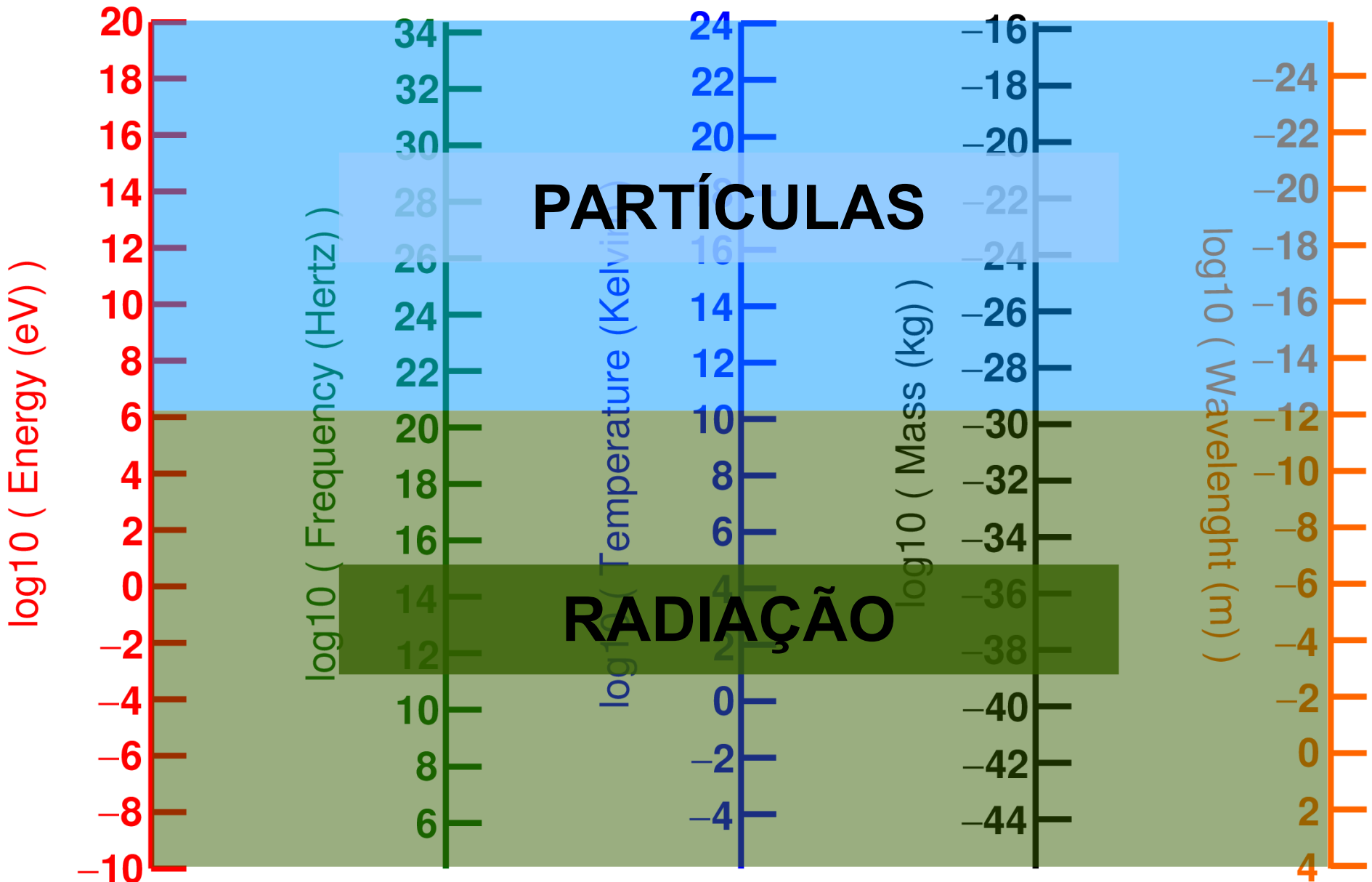
$E > 1 \text{ MeV}$



Muitas partículas
e radiação produzidas
no caminho

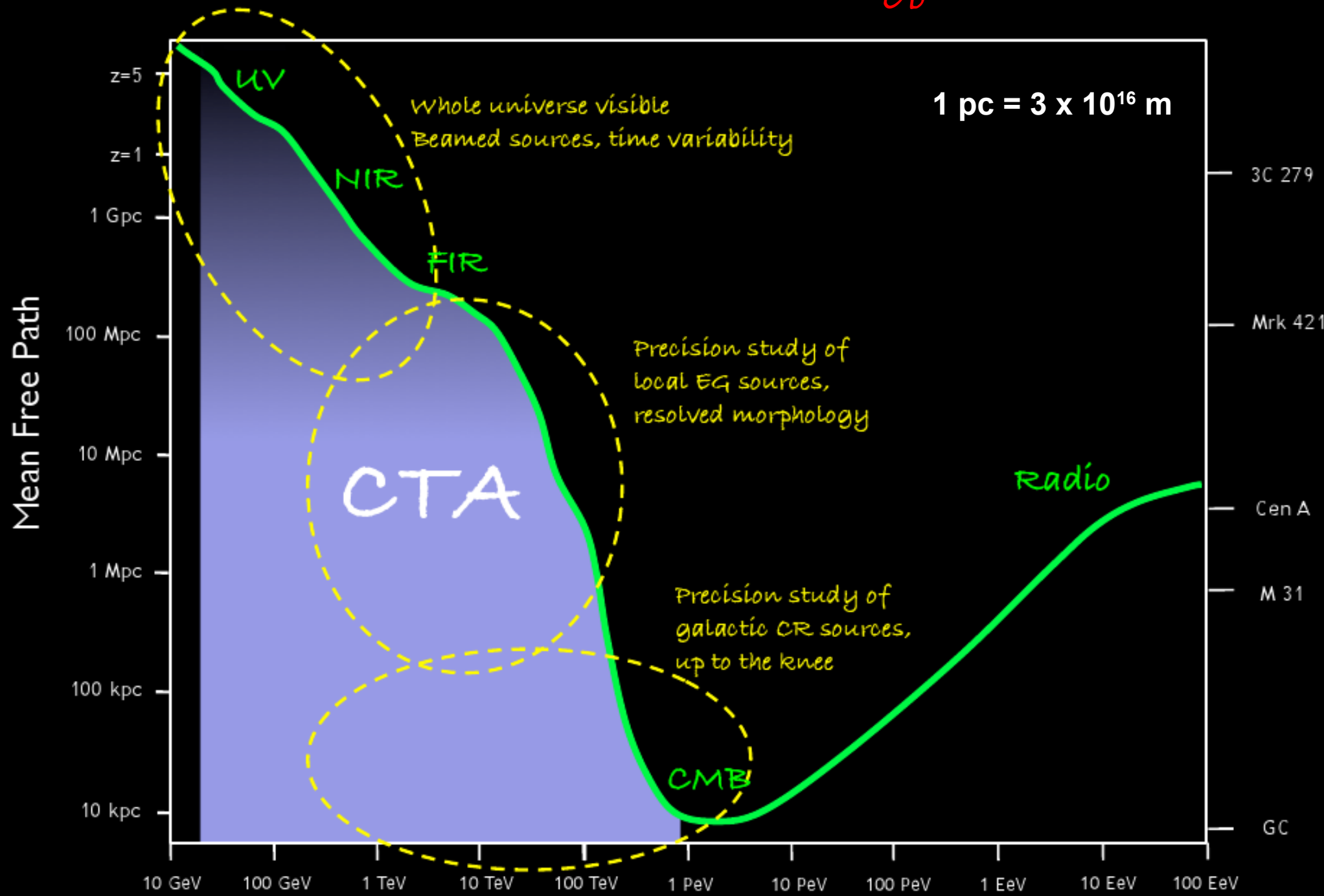


Chuveiro Atmosférico



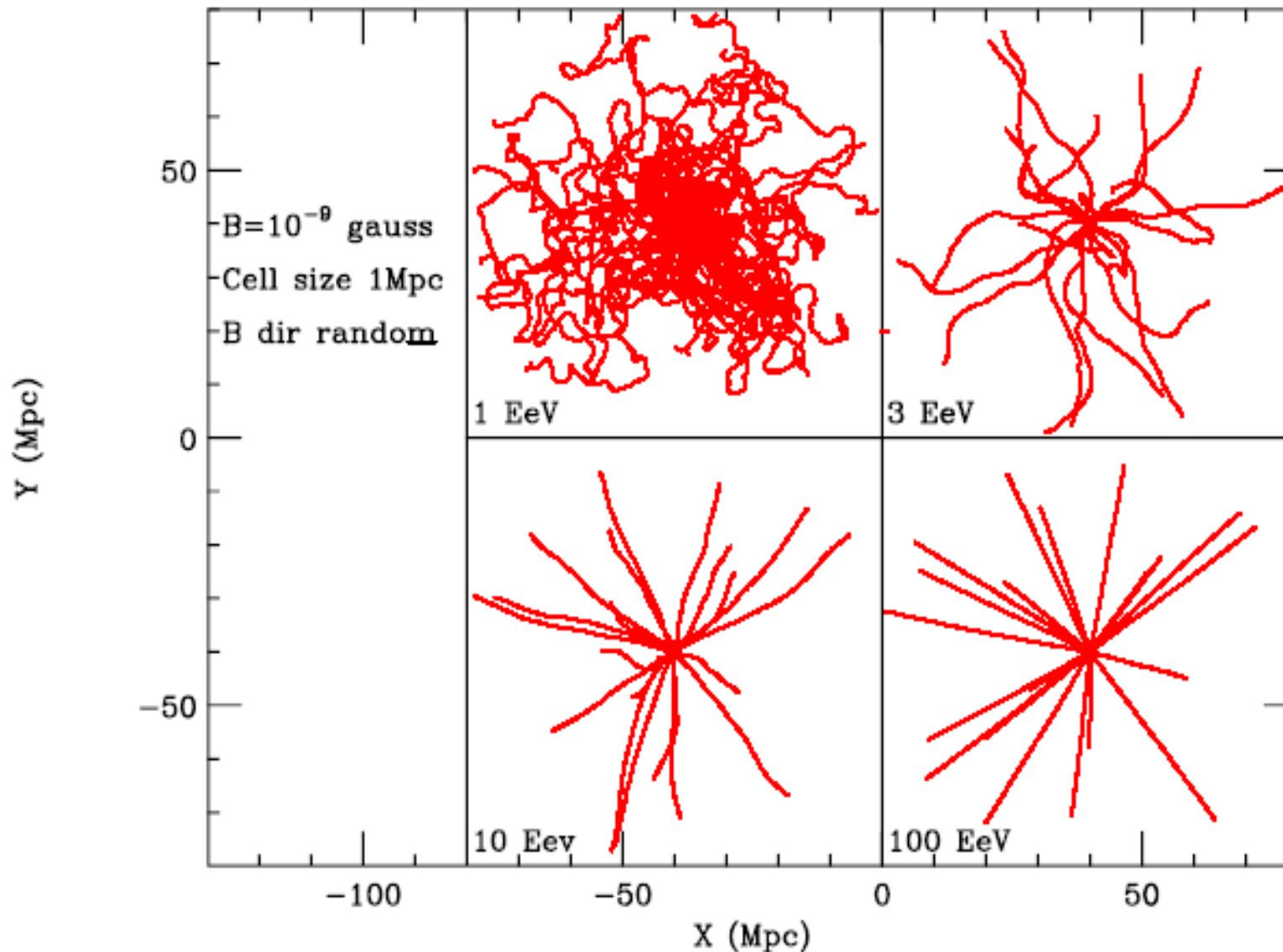


The Gamma Ray Horizon



Propagação

3D trajectories projected on X-Y plane



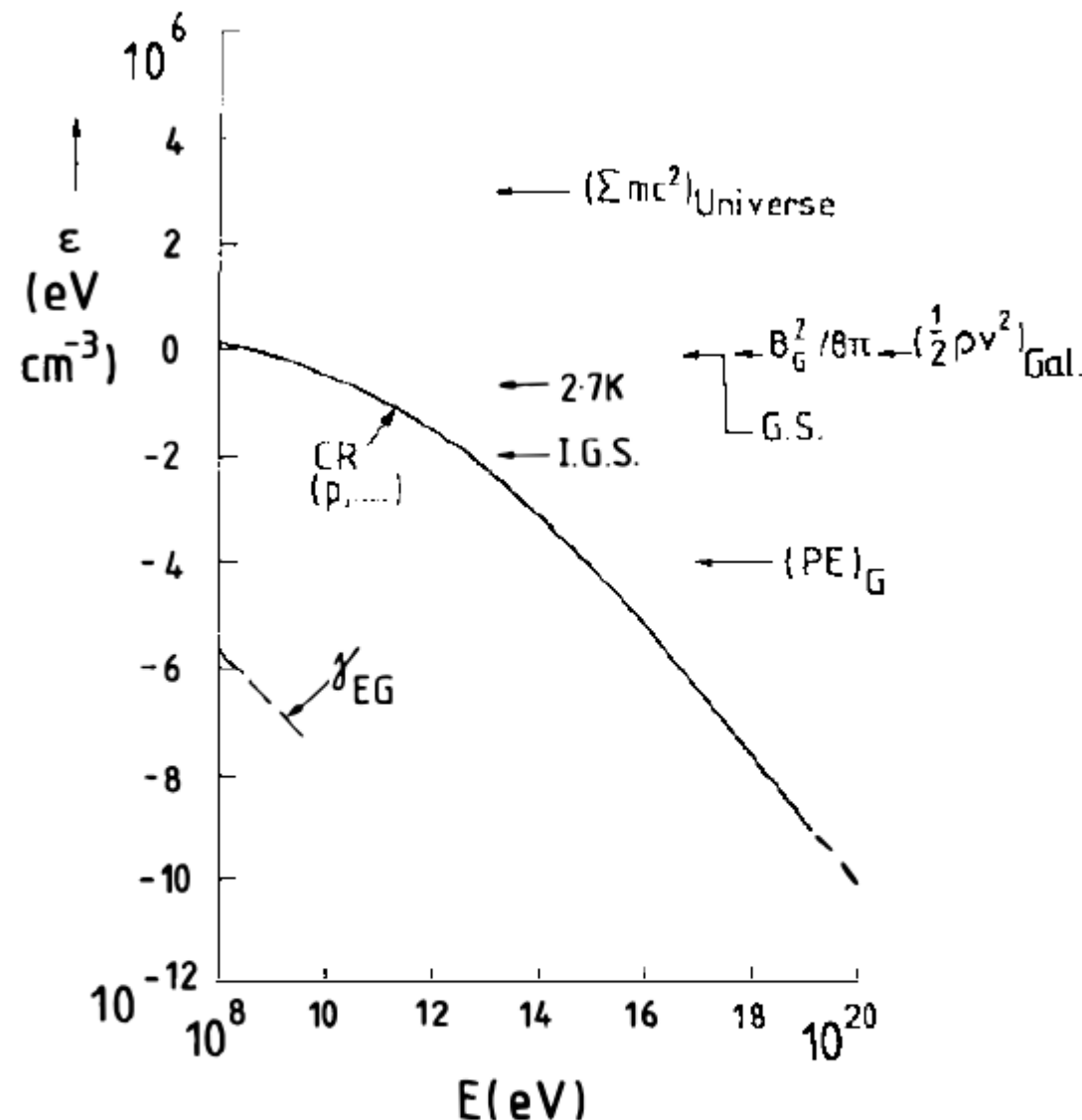


Figure 5 Cosmic-ray energy density as a function of the threshold CR particle energy. Curves are shown for both particles and γ rays. The arrows relate to energy densities for a variety of other phenomena: $(\Sigma mc^2)_{\text{universe}}$ = rest energy of total mass in the universe; $B_G^2/8\pi$ is the Galactic magnetic field; $(\frac{1}{2}\rho v^2)_{\text{Gal}}$ represents Galactic gas clouds; G.S. is Galactic starlight; I.G.S. is intergalactic starlight; and $(PE)_G$ is the gravitational potential energy of galaxies.

Densidade de Energia

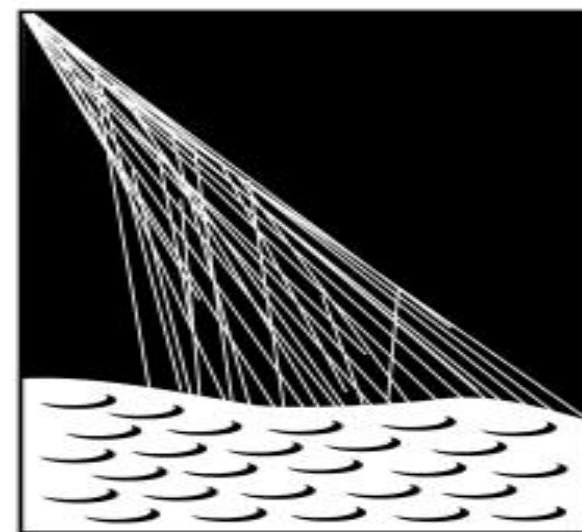
Raios Cósmicos
 1 MeV m⁻³

Campo Magnético Gal
 0.2 MeV m⁻³

Luz - Estrelas (Local)
 0.3 MeV m⁻³

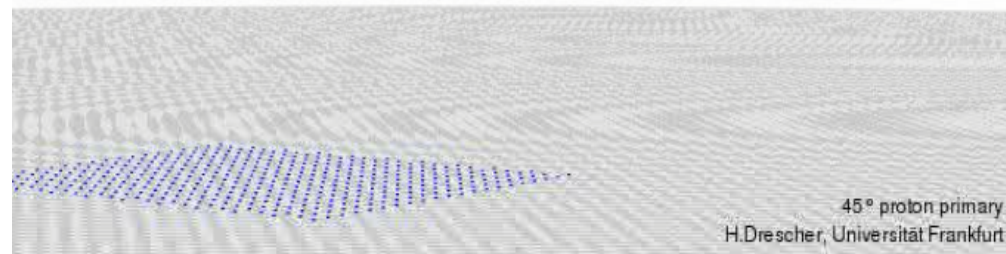
Fundo Micro-ondas
 0.3 MeV m⁻³

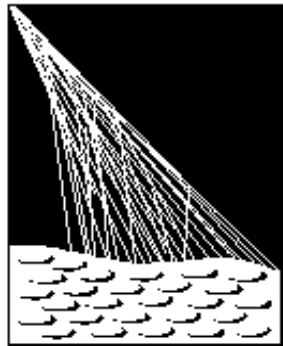
Experimentos que participamos



**PIERRE
AUGER
OBSERVATORY**

time=-266μs



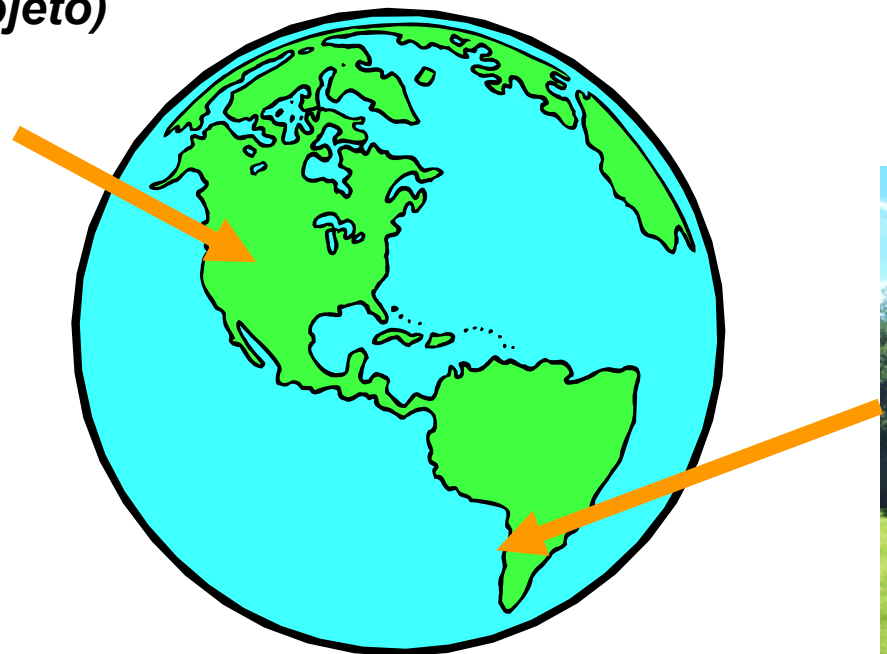


PIERRE
AUGER
OBSERVATORY

Observatório Pierre Auger

O maior experimento de raios cósmicos já construído para medir com grande estatística a região de energia acima de 10^{18} eV

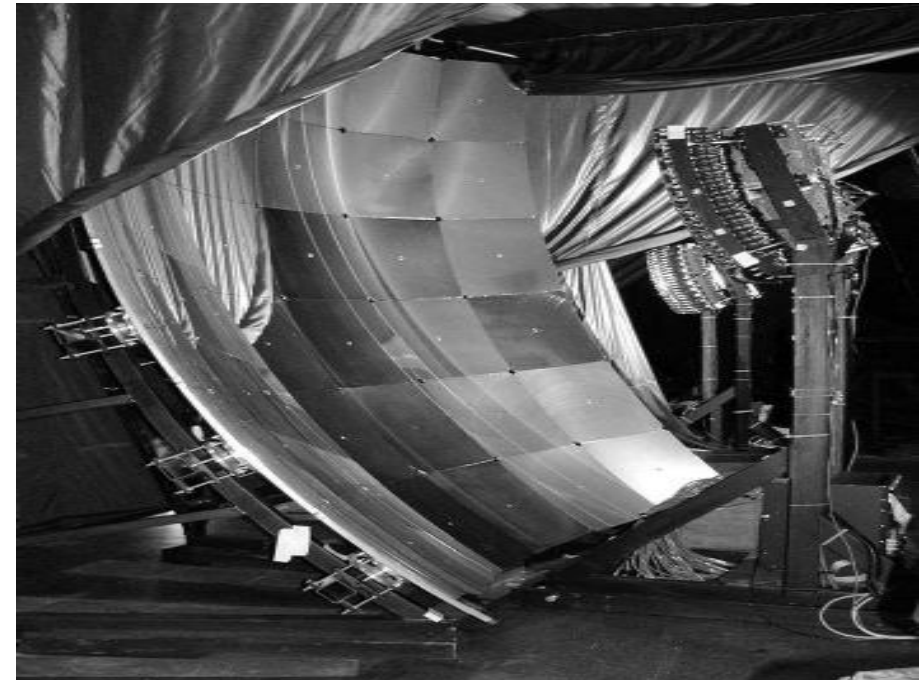
Colorado, EUA
(em projeto)



Mendoza, Argentina
(em funcionamento)



Observatório Auger



Em funcionamento:

- 1624 tanques
- 24 telescópios

Observatório Auger



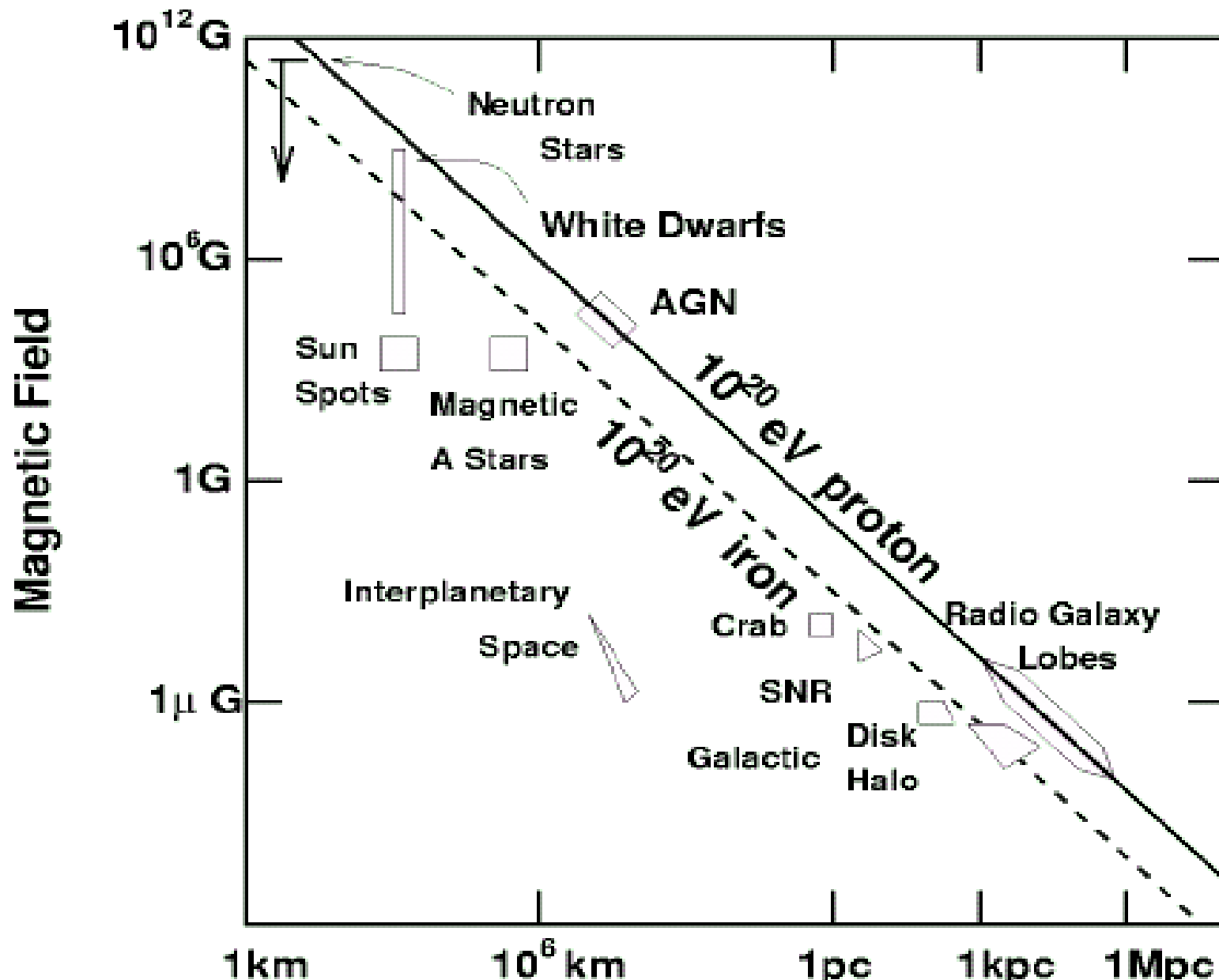
60 km

50 km

Pierre Auger Observatory Argentina Site

Qual é o problema em astrofísica
abordado pelo Auger ?

$$E_{eV} < 10^{15} Z \times B_{\mu G} \times R_{SNR, pc}$$

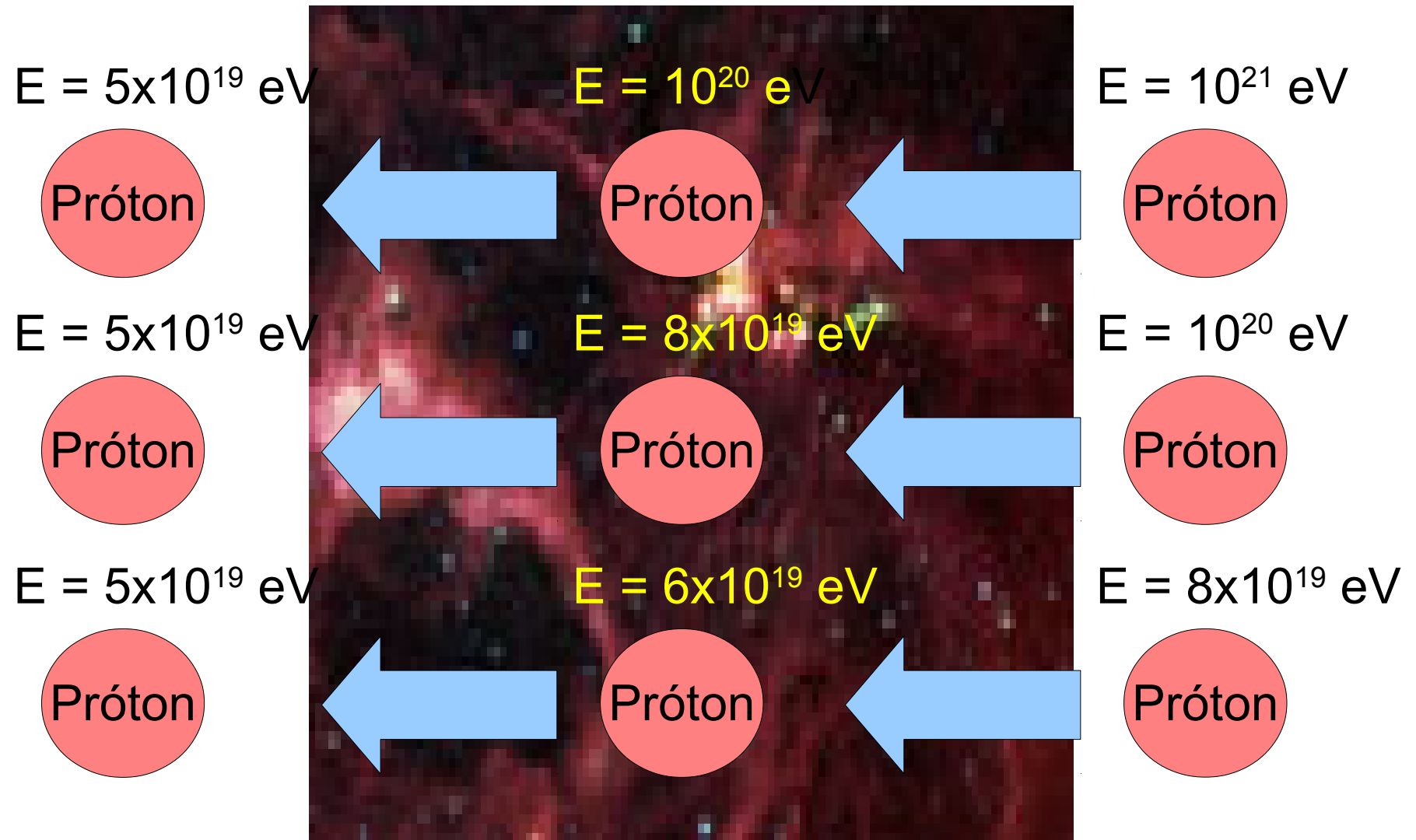


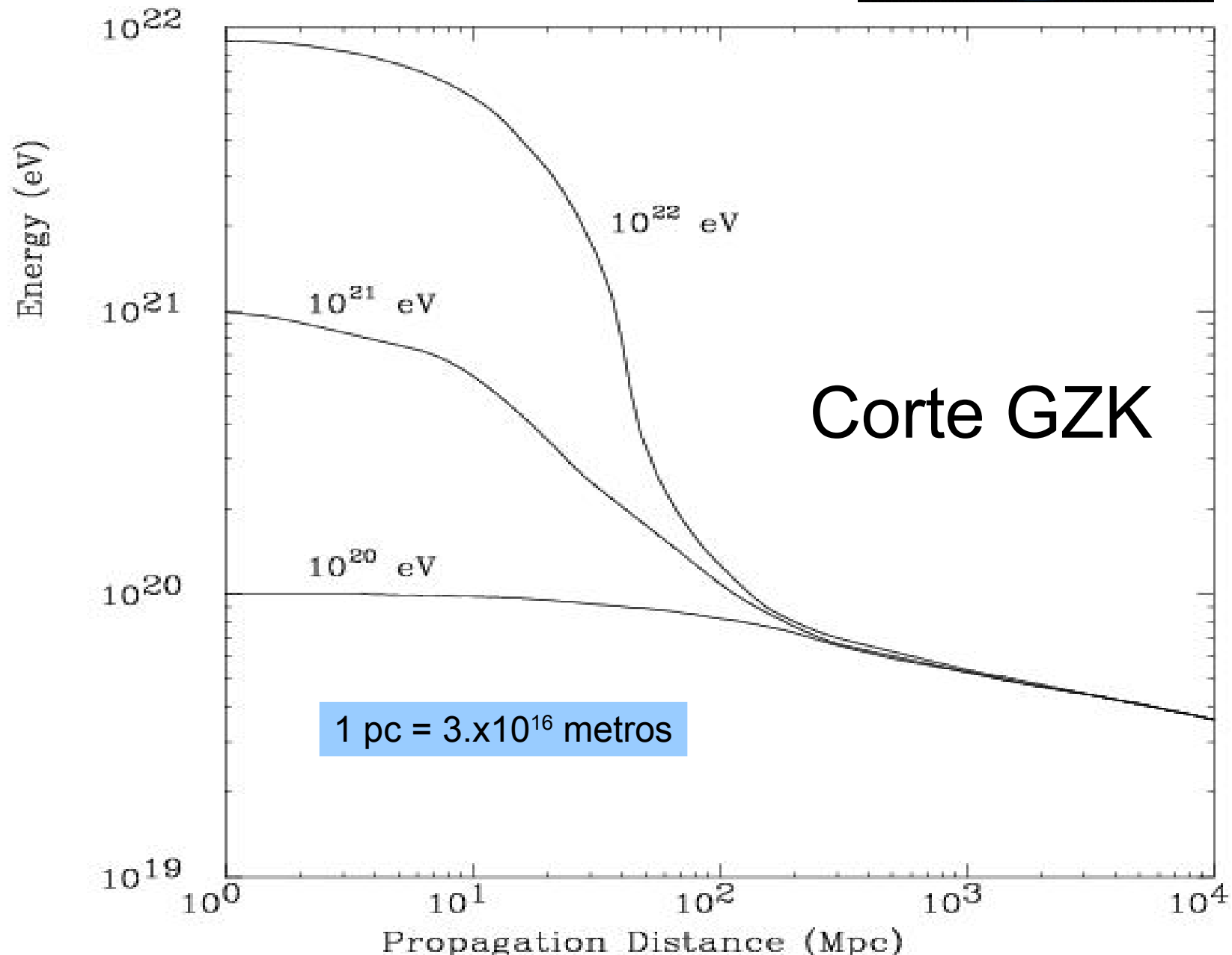
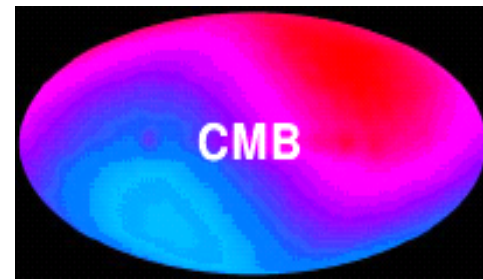
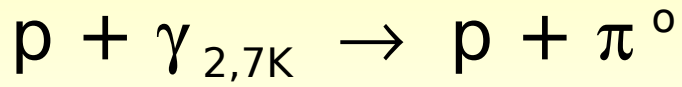
1 pc = 3.0×10^{16} meters

Size

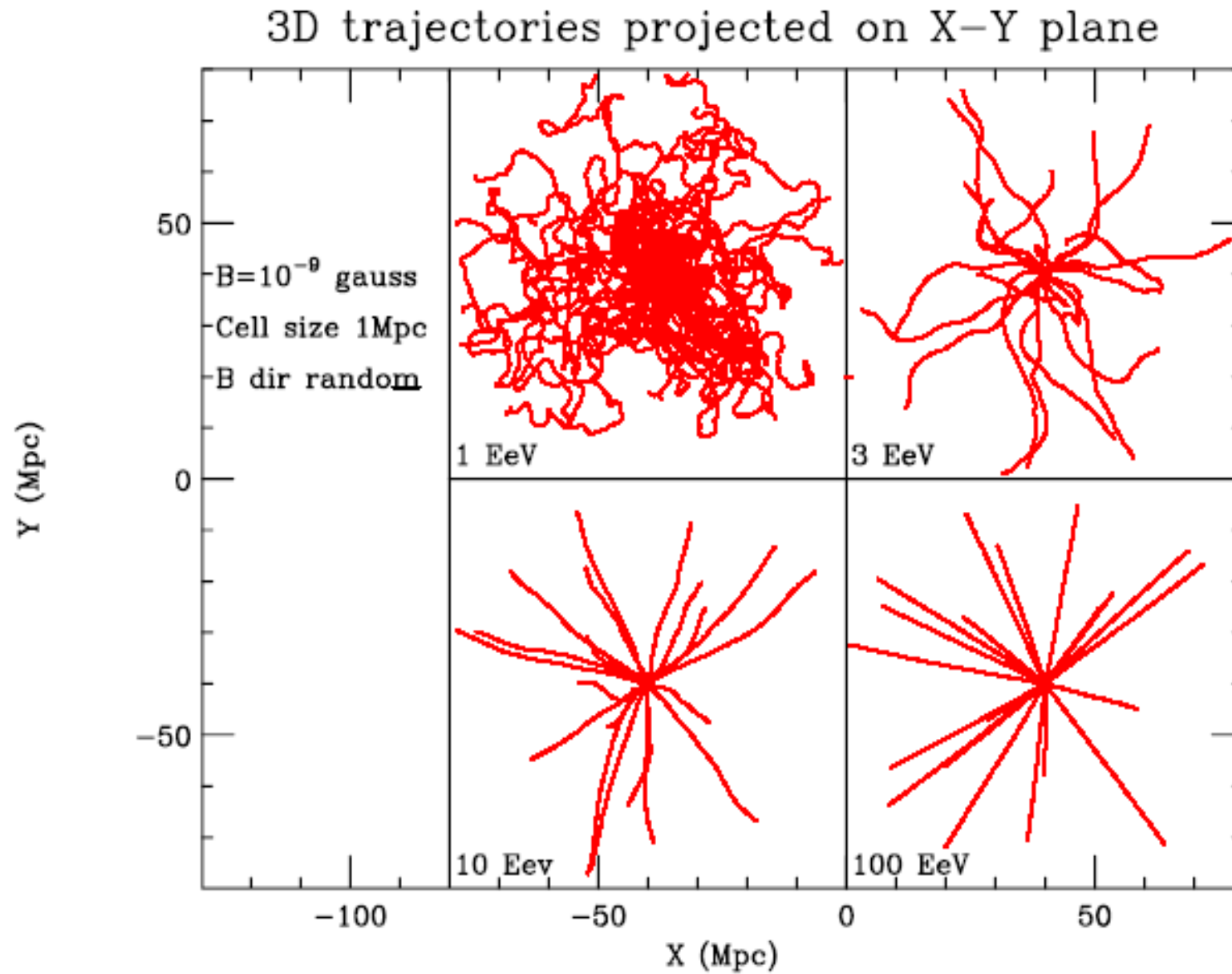
M. Hillas

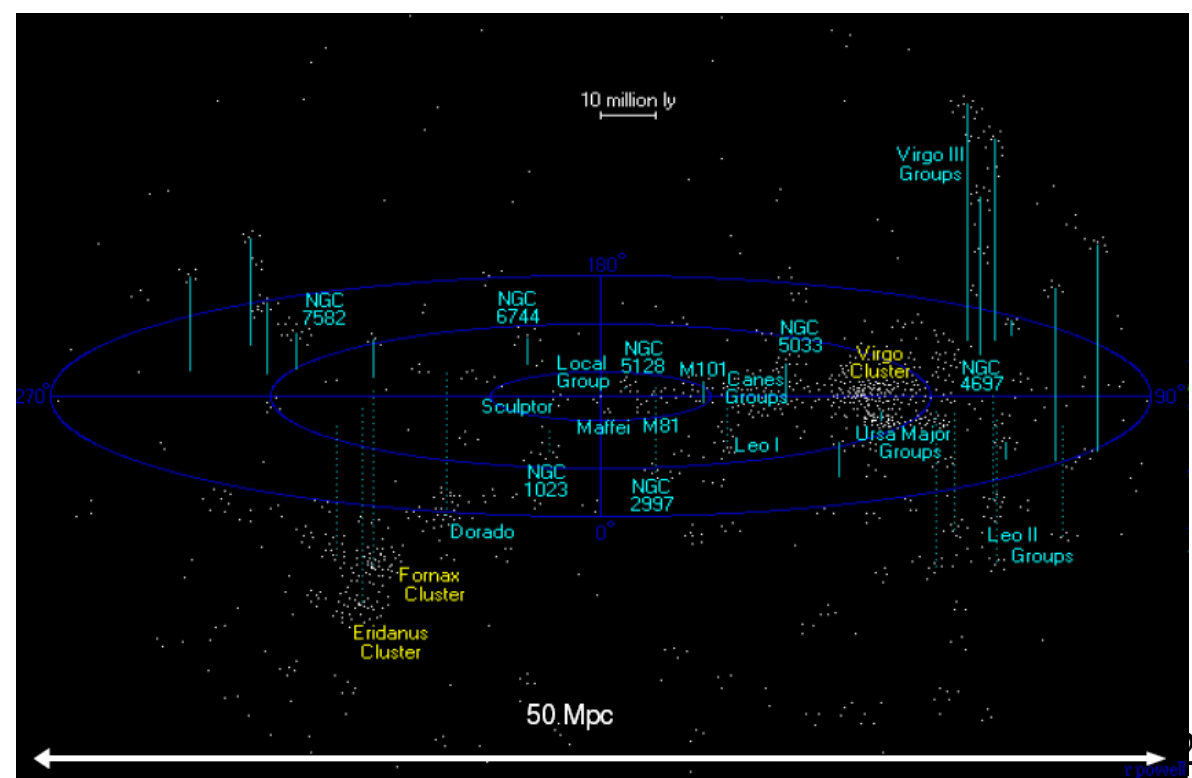
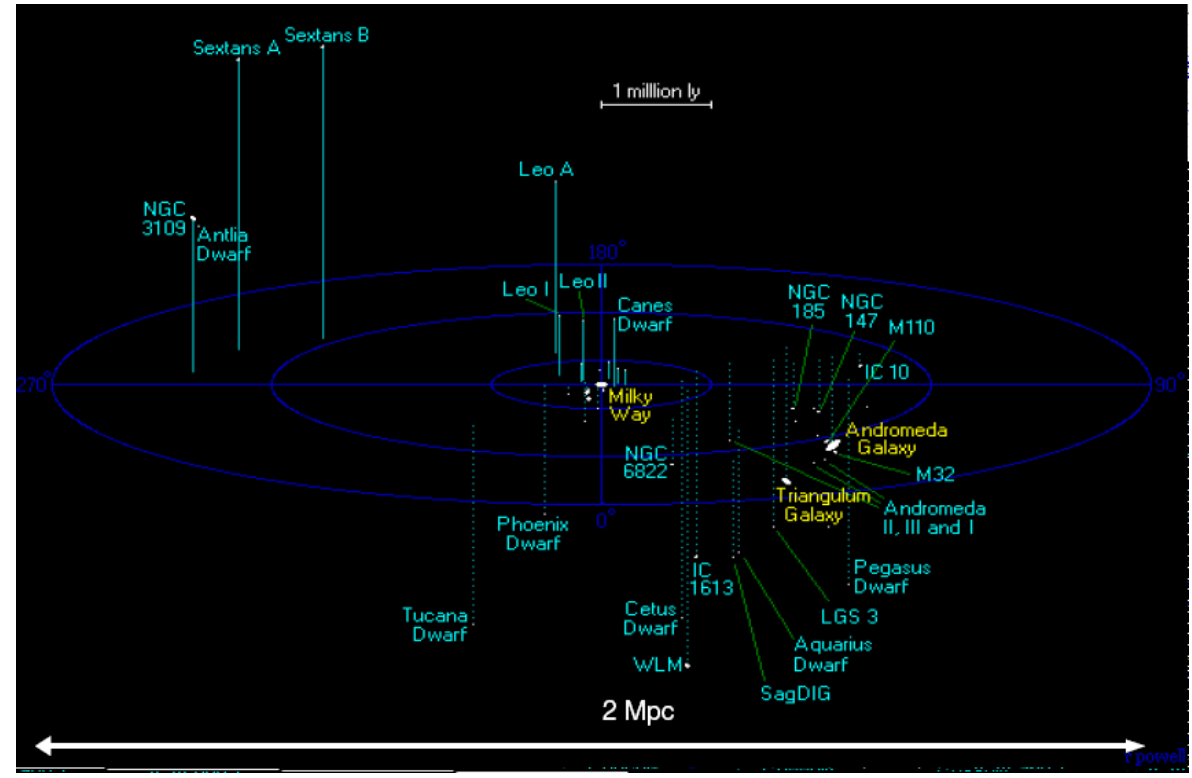
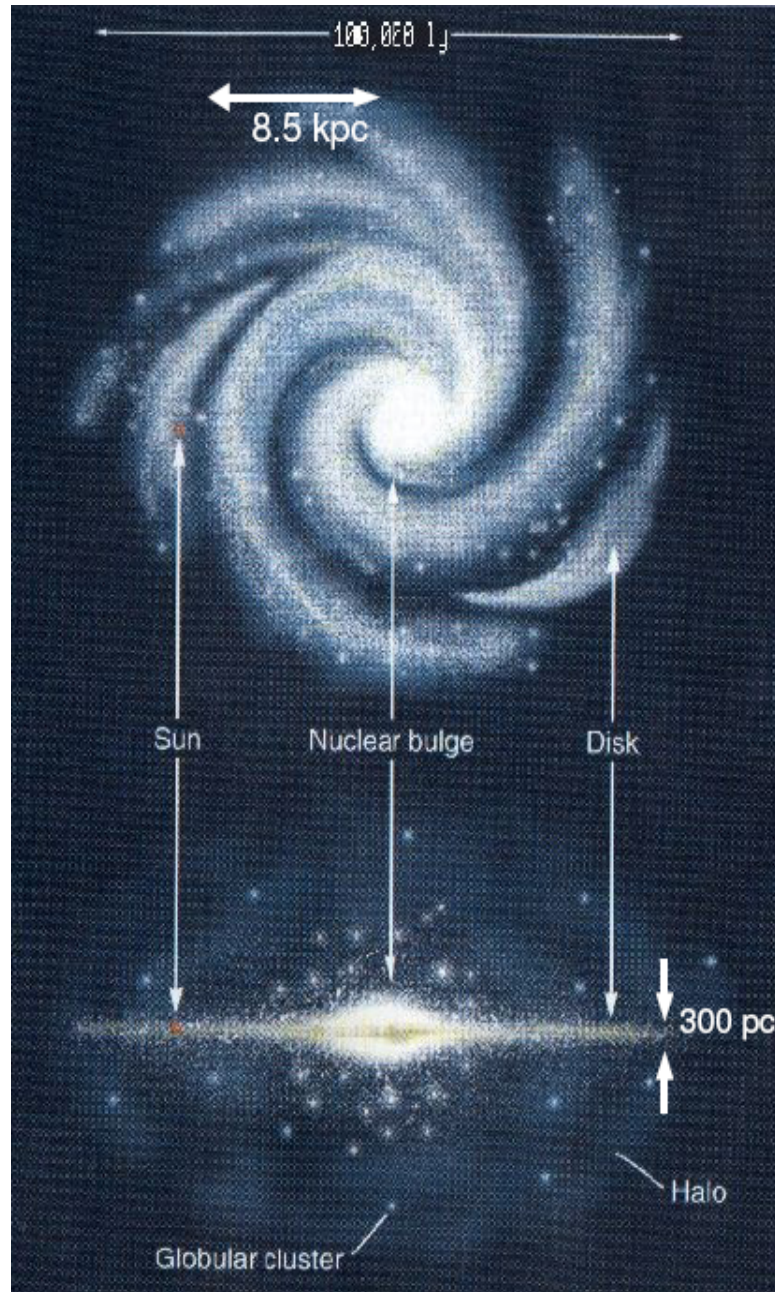
Perda de Energia Colisão com fótons

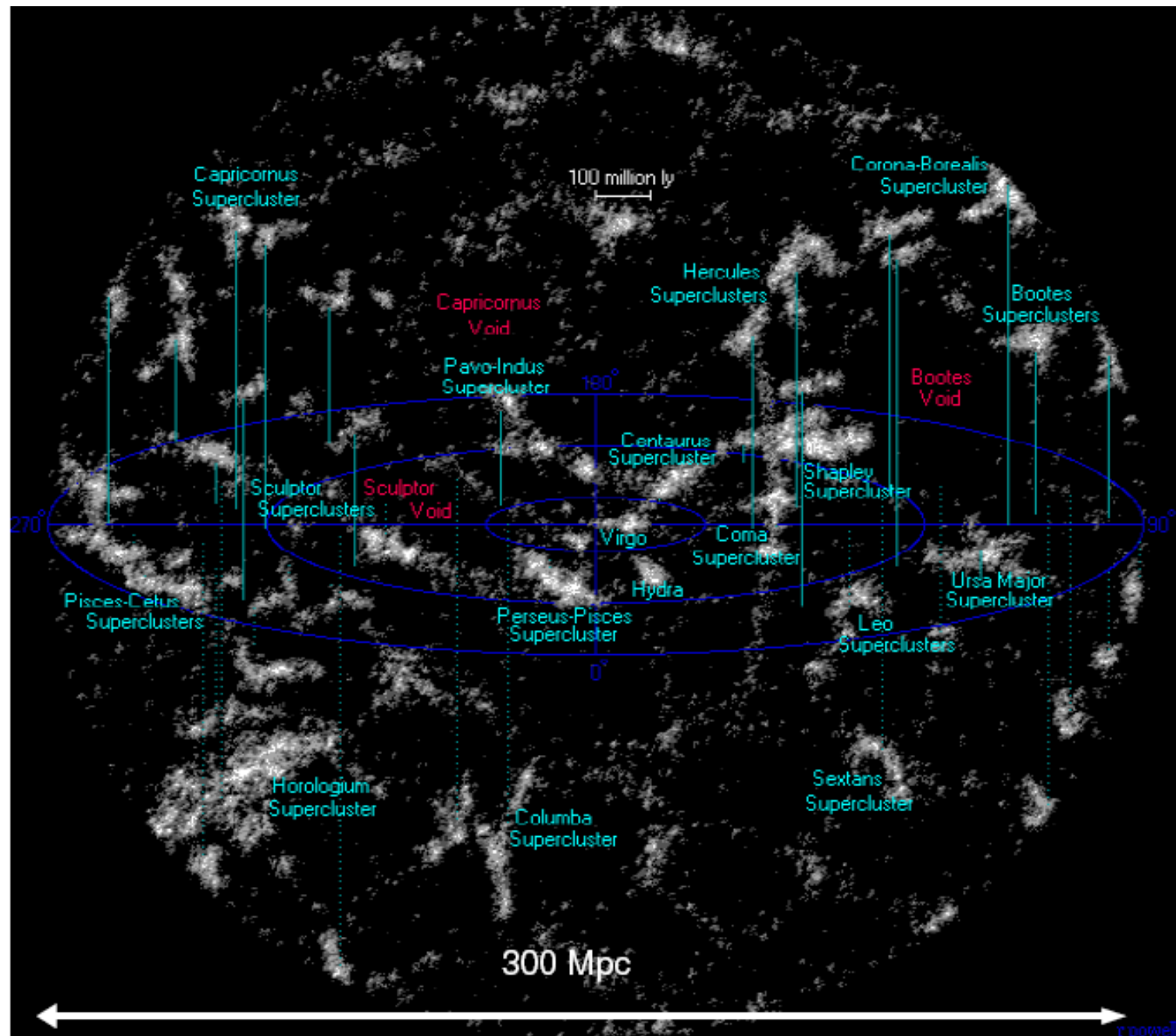




Propagação quasi-retilínea







Fatos:

– Existem poucas fontes capazes de acelerar partículas com energia maior que 10^{19} eV

– As fontes têm que estar próximas

– O universo é altamente anisotrópico e "vazio" dentro de 100 Mpc

– O desvio dessas partículas no campo magnético é pequeno

Fatos:

– Existem poucas fontes capazes de acelerar partículas com energia maior que 10¹⁹ eV.

– As fontes têm

– O fluxo é isotrópico

e o raio de 300 Mpc

– O desvio dessas partículas no campo magnético é pequeno

Astronomia de partículas

Astronomia:

LUZ



1609 Galileu Galilei

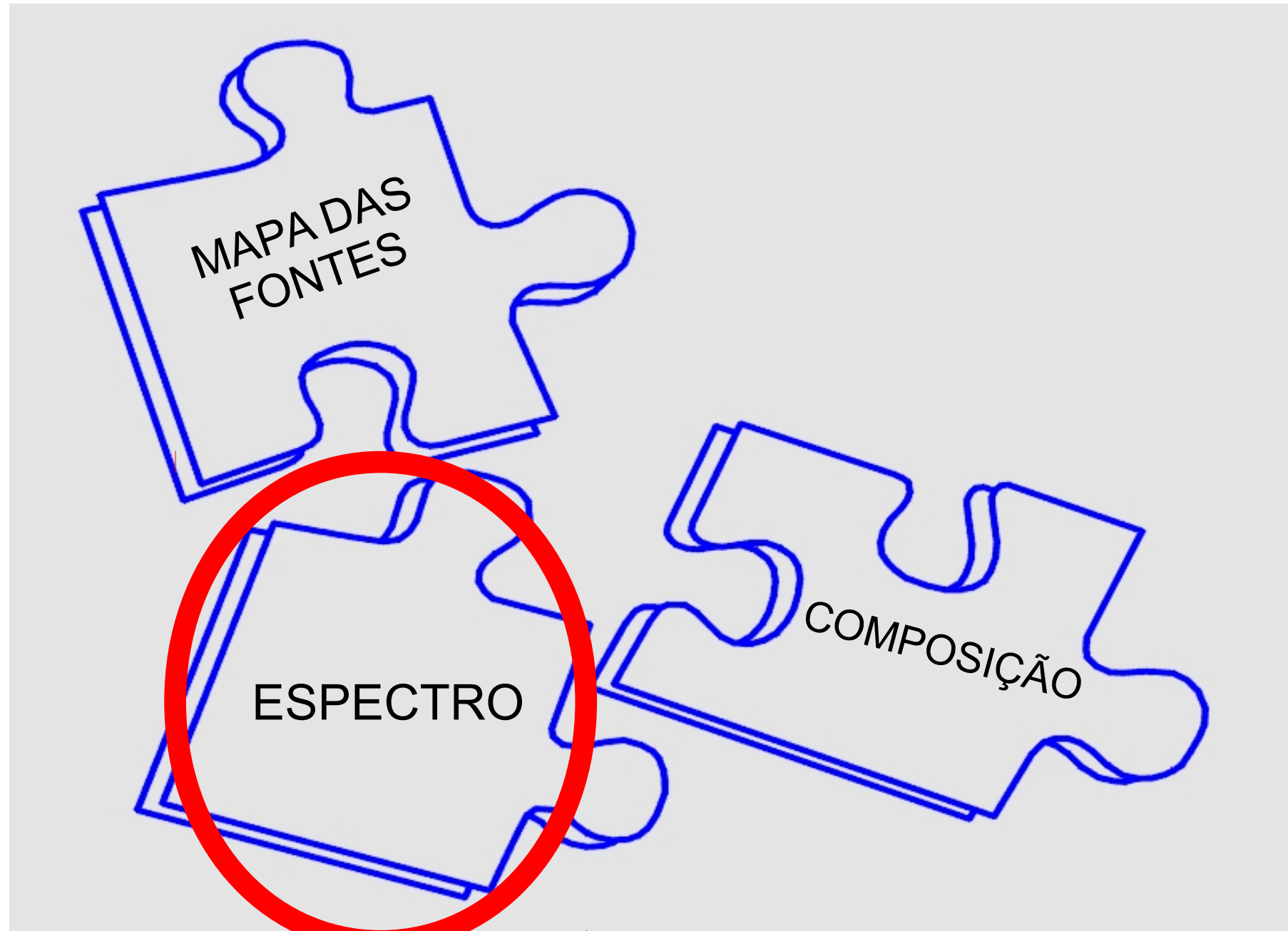
PARTÍCULA

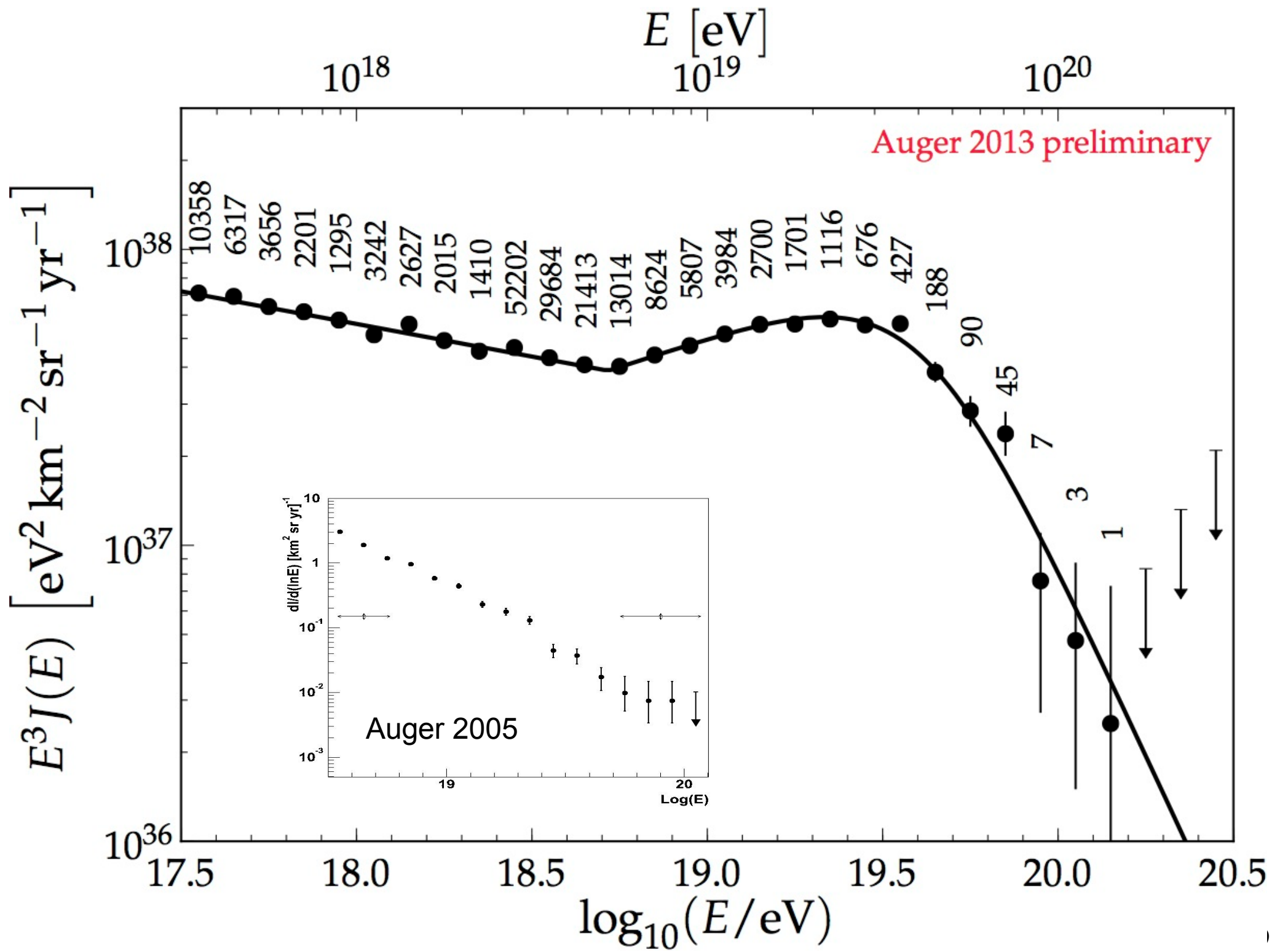


2009 Observatório
Pierre Auger

**COMO SE FAZ
ASTROFÍSICA COM
PARTÍCULAS?**

Astrofísica de partículas

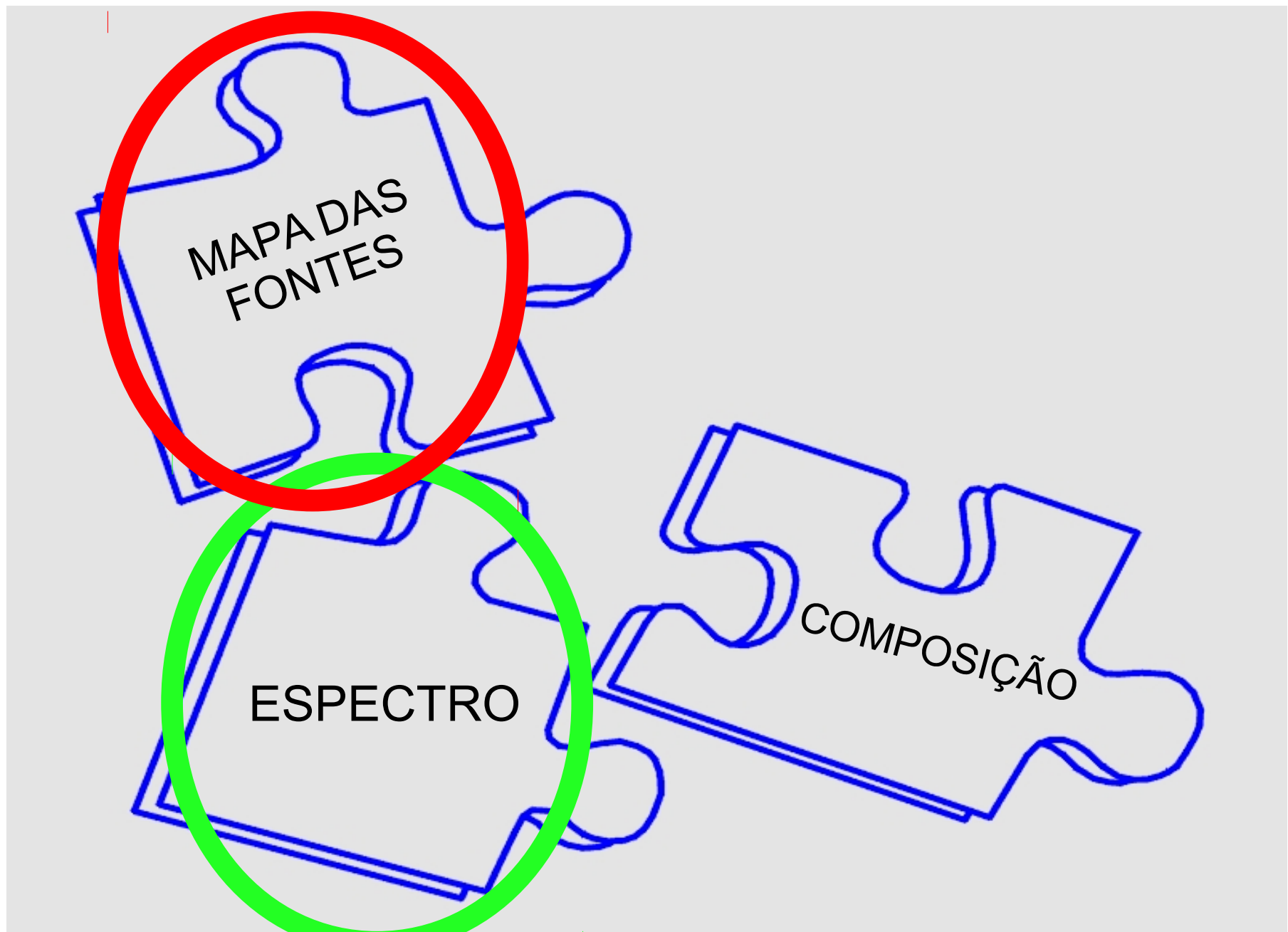




Auger: Resultados

Espectro: Corte GZK presente

Astrofísica de partículas

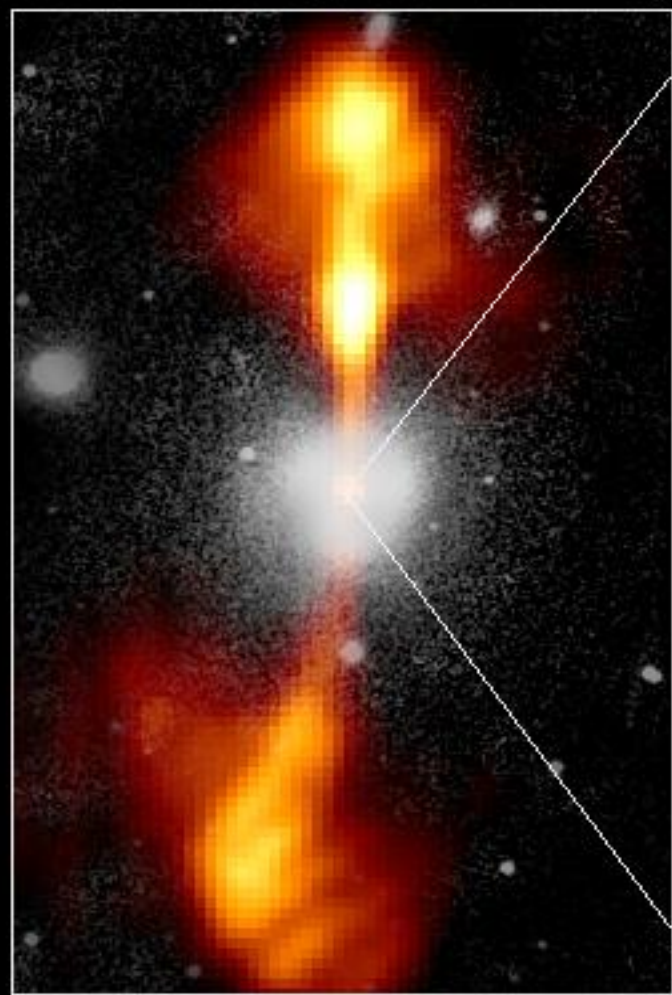


Core of Galaxy NGC 4261

Hubble Space Telescope

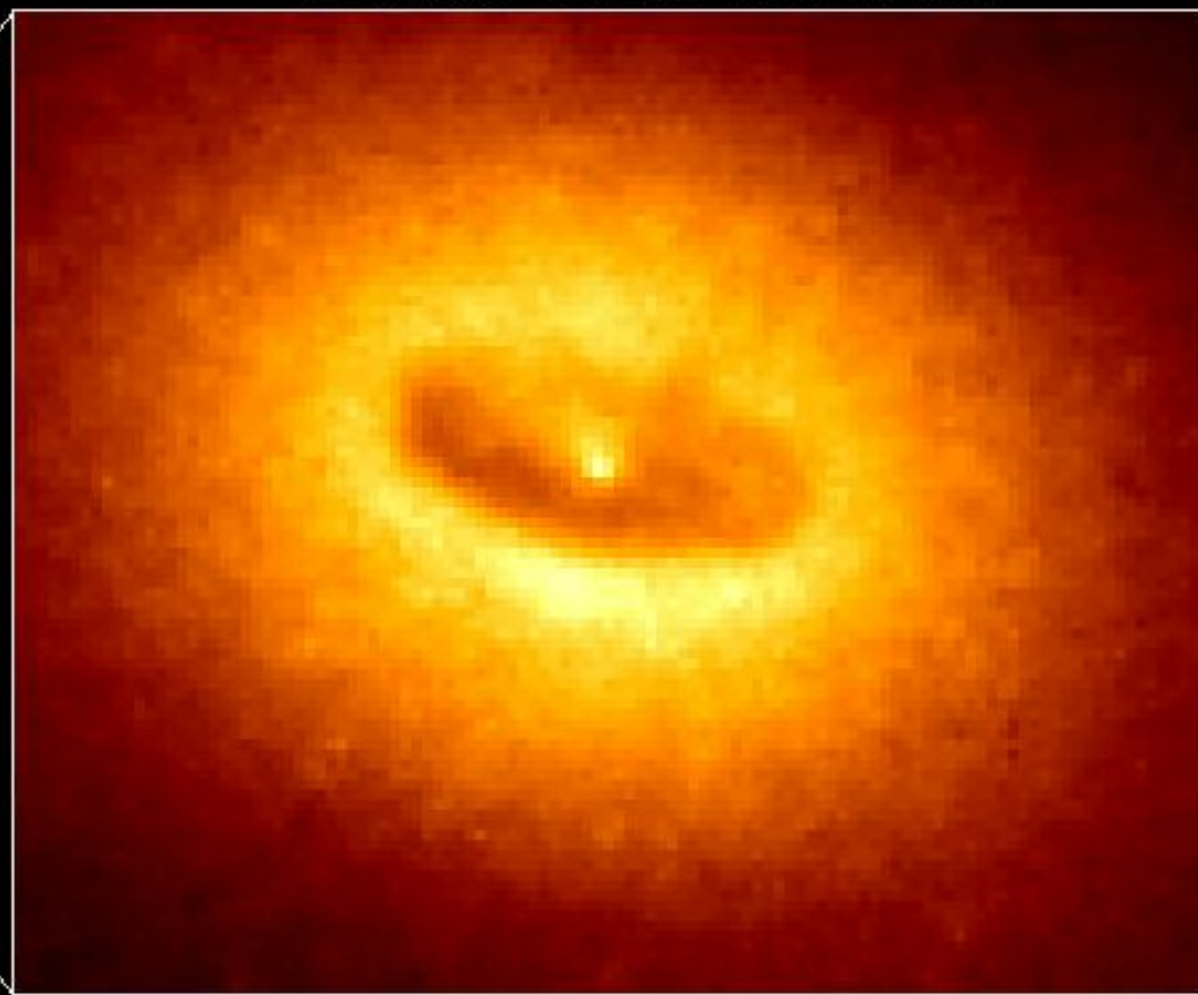
Wide Field / Planetary Camera

Ground-Based Optical/Radio Image



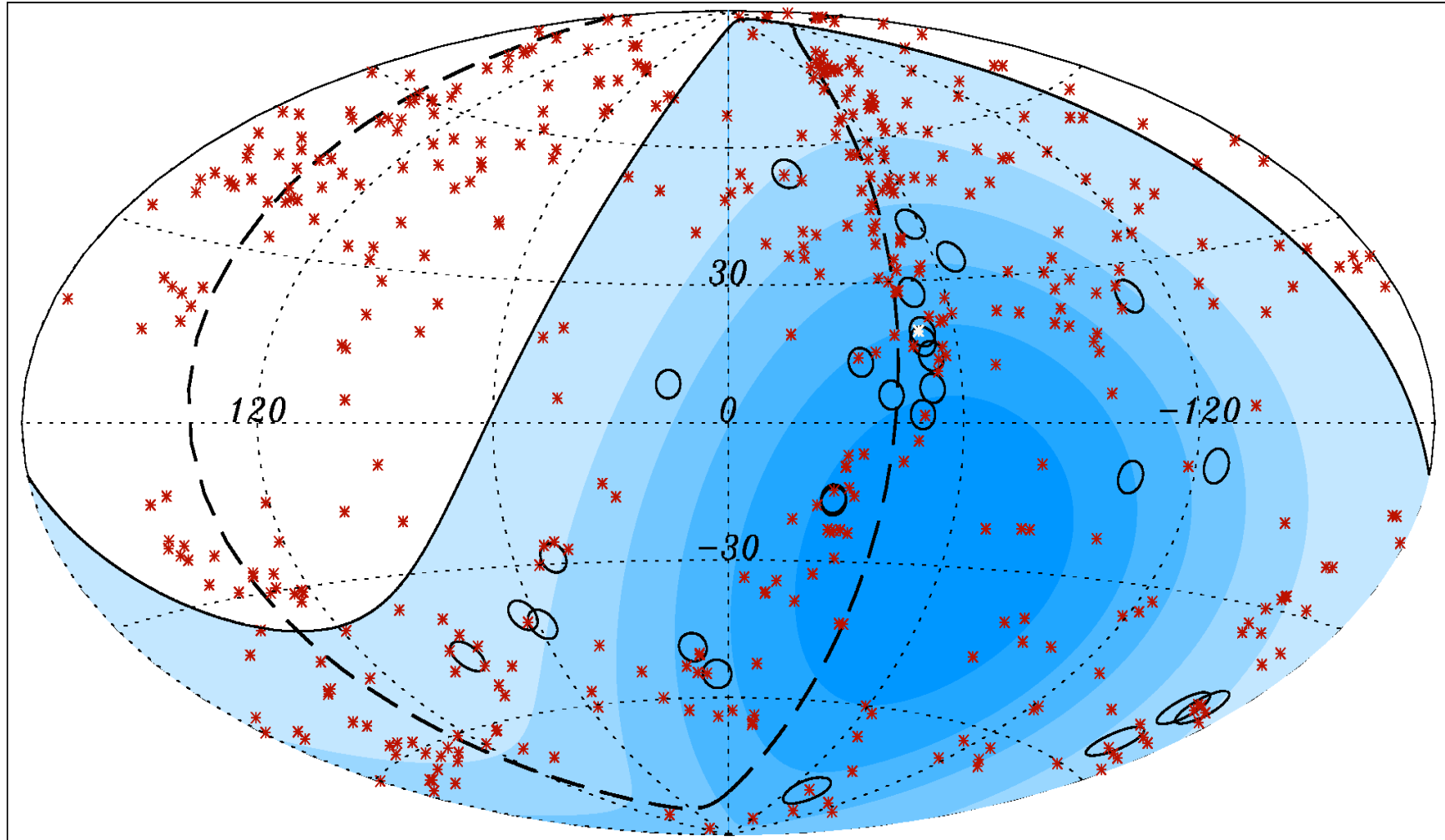
380 Arc Seconds
88,000 LIGHT-YEARS

HST Image of a Gas and Dust Disk



1.7 Arc Seconds
400 LIGHT-YEARS

Pierre Auger Collaboration, Science (2007)



Eventos com energia acima de 5.7×10^{19} ev



Núcleos Ativos de Galáxias (AGN)



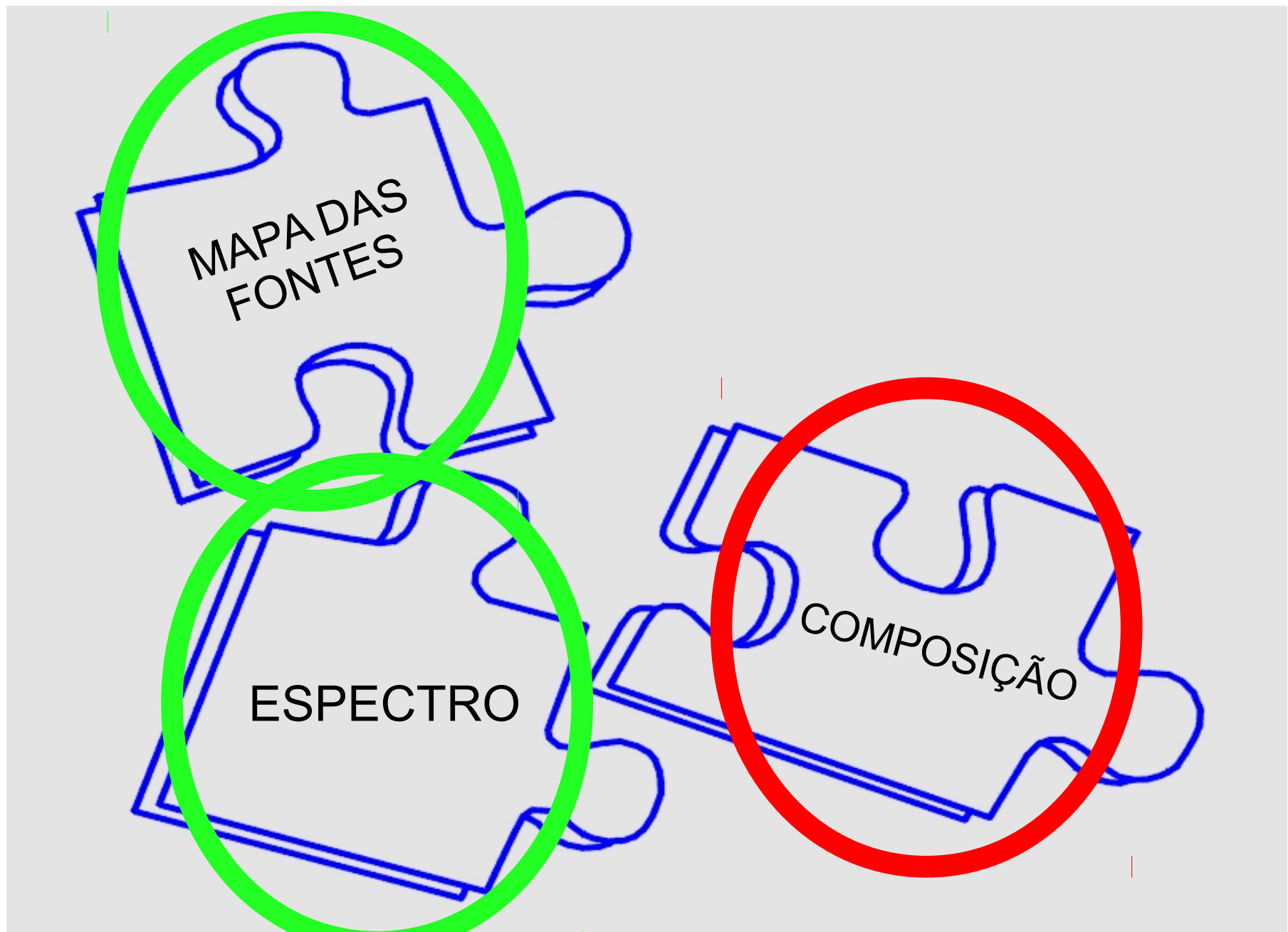
Exposição do Observatório

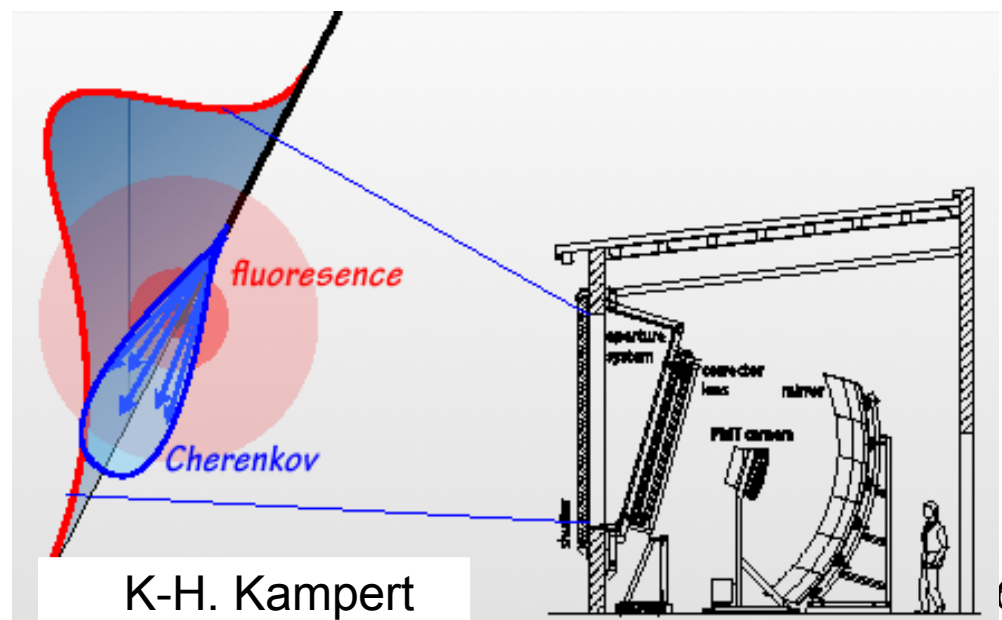
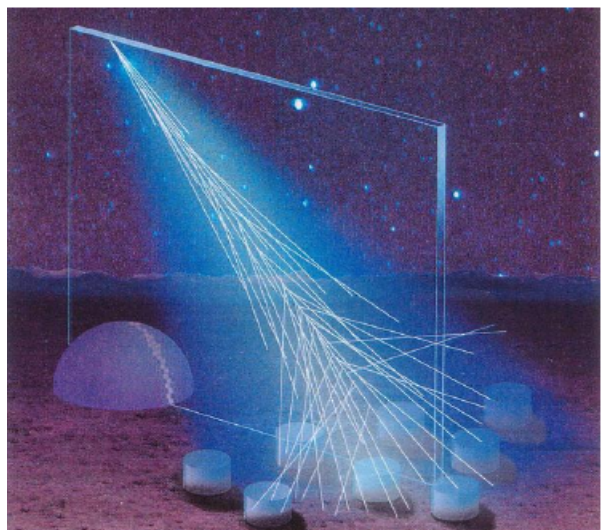
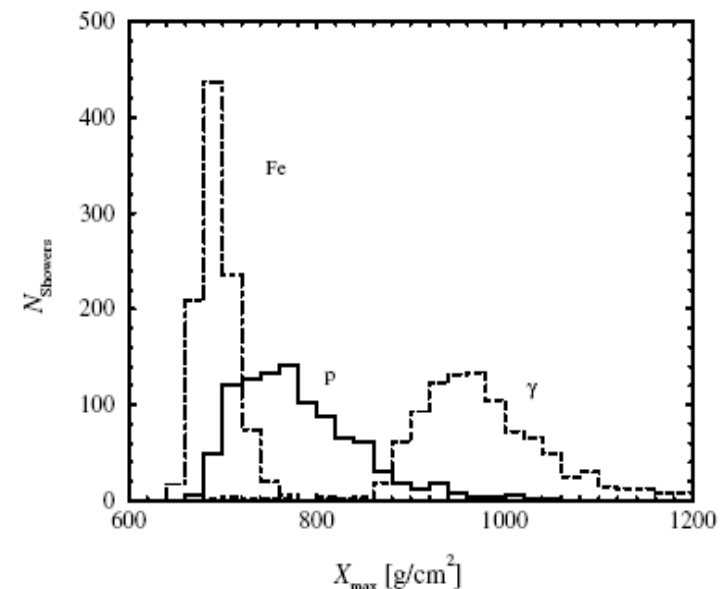
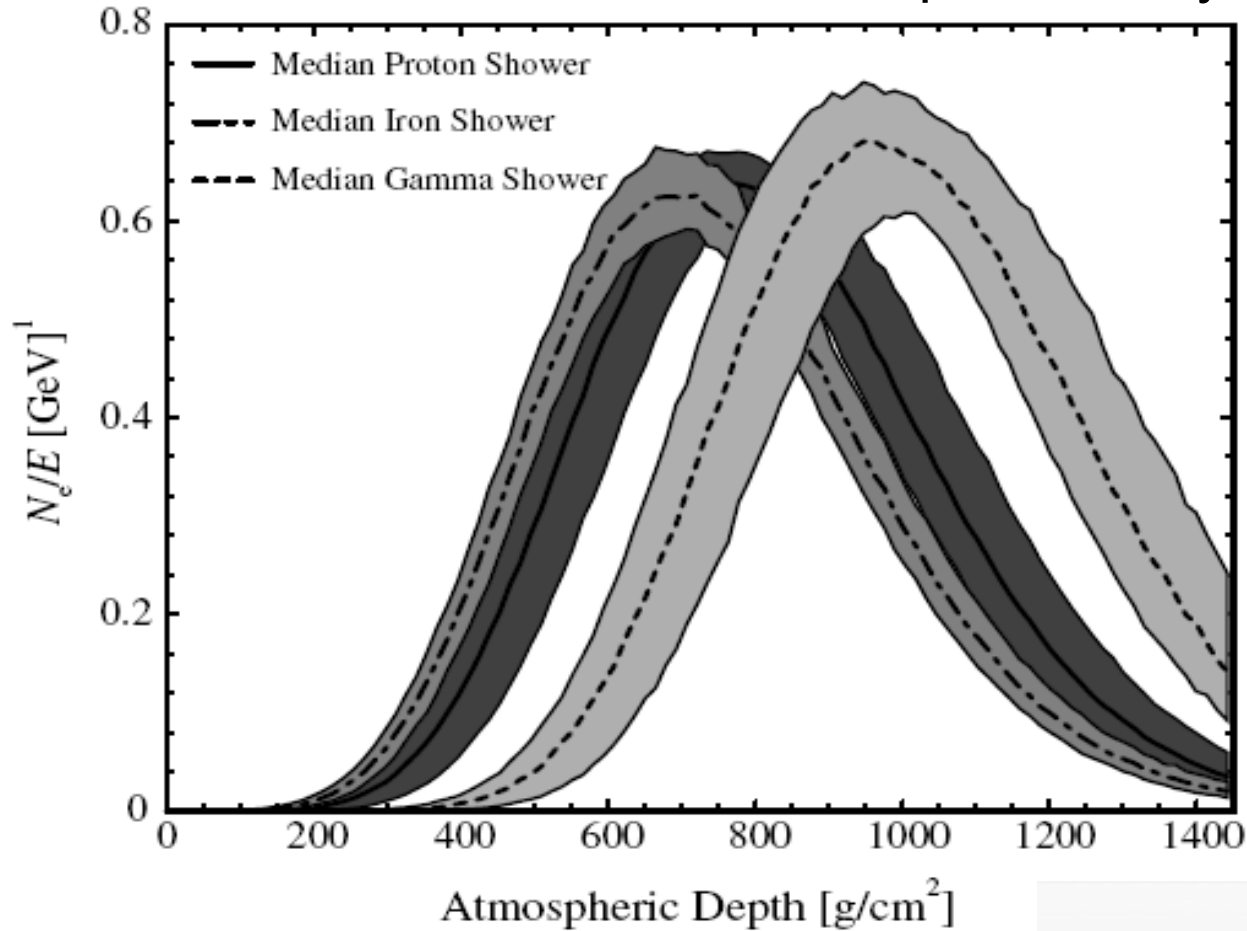
Auger: Resultados

Espectro: Corte GZK presente

Mapa das fontes: Evidências de Anisotropia

Astrofísica de partículas



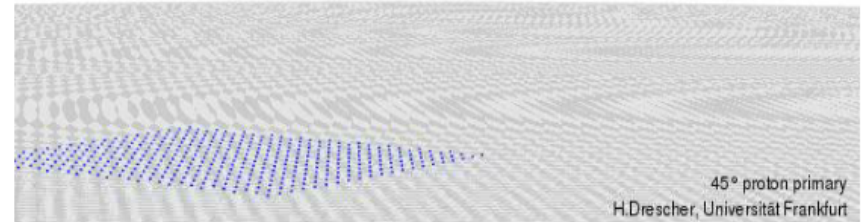
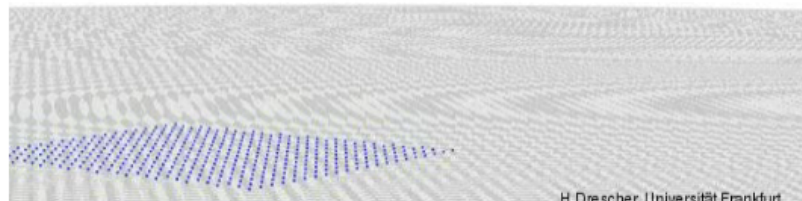


Ferro



Próton

time=-160 μ s

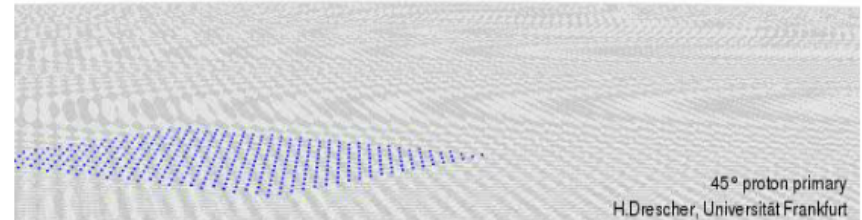
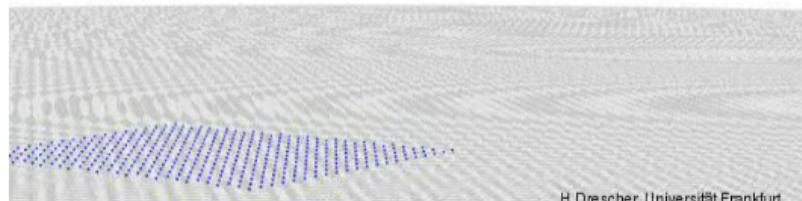


Ferro



Próton

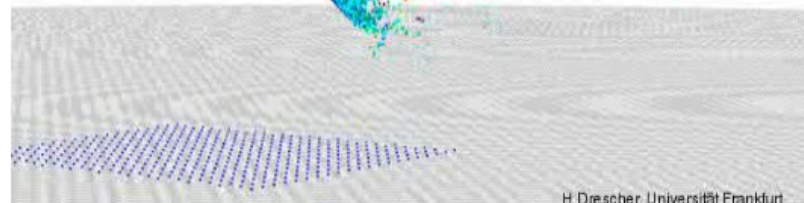
time=-106μs



Ferro

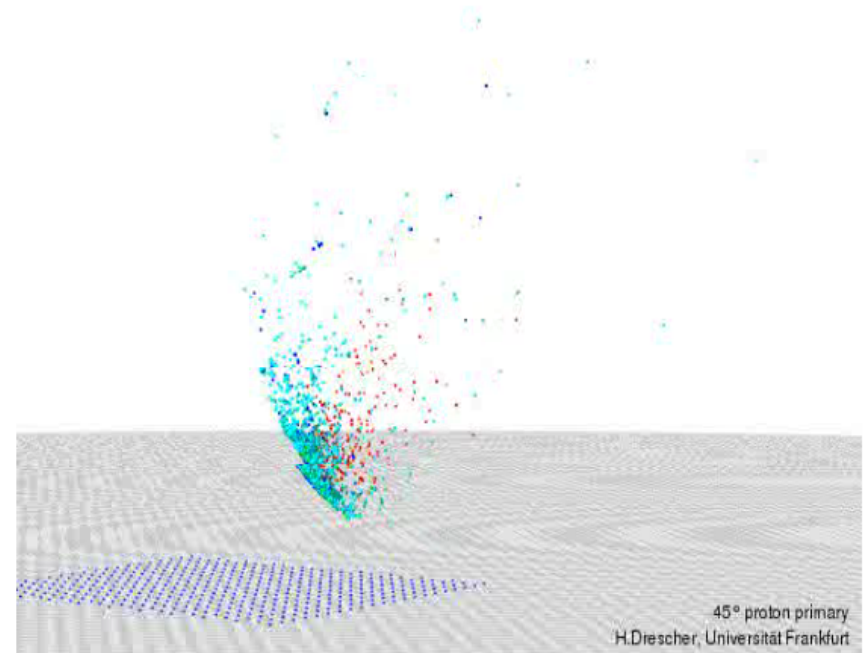


time=-43 μ s



H.Drescher, Universität Frankfurt

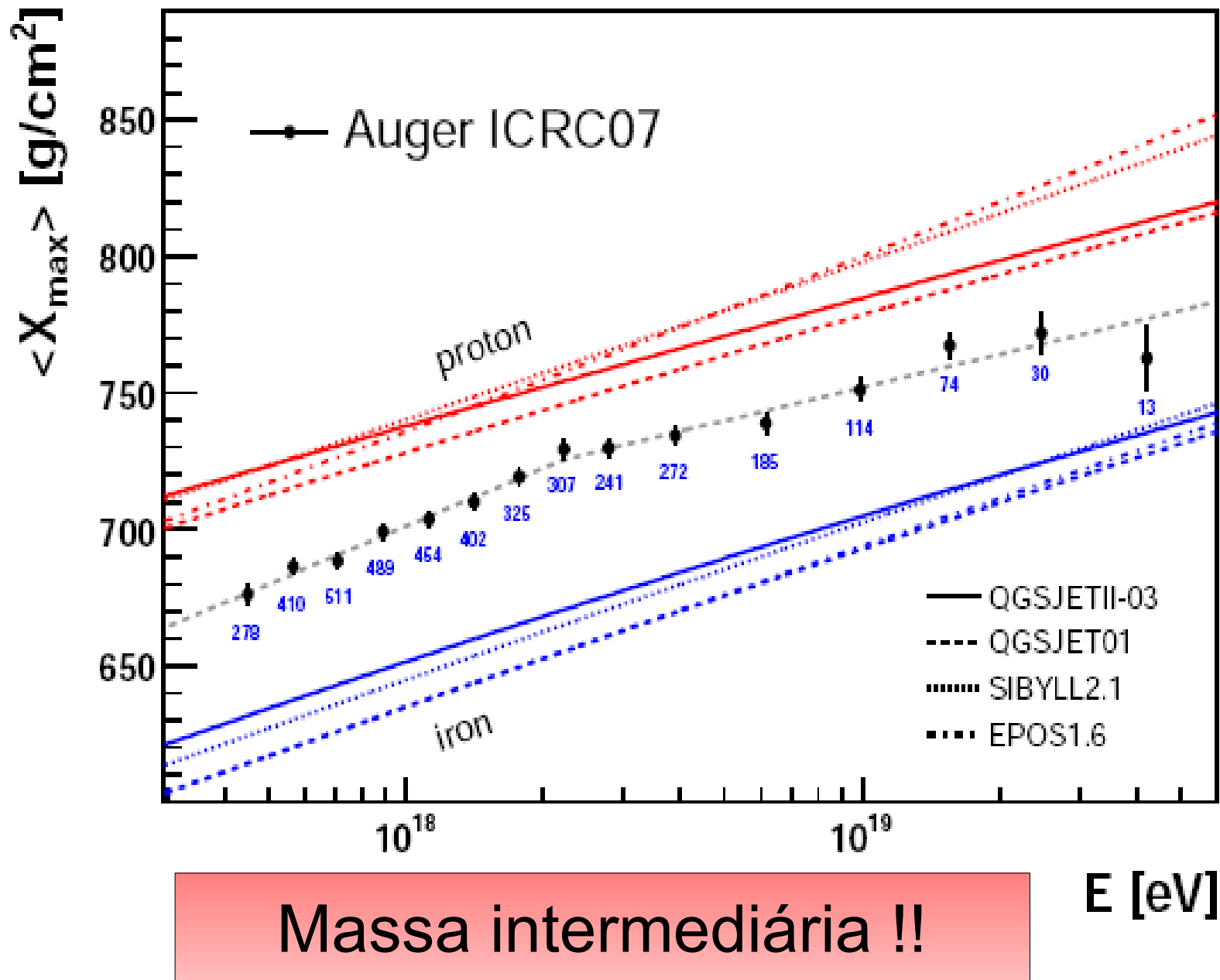
Próton

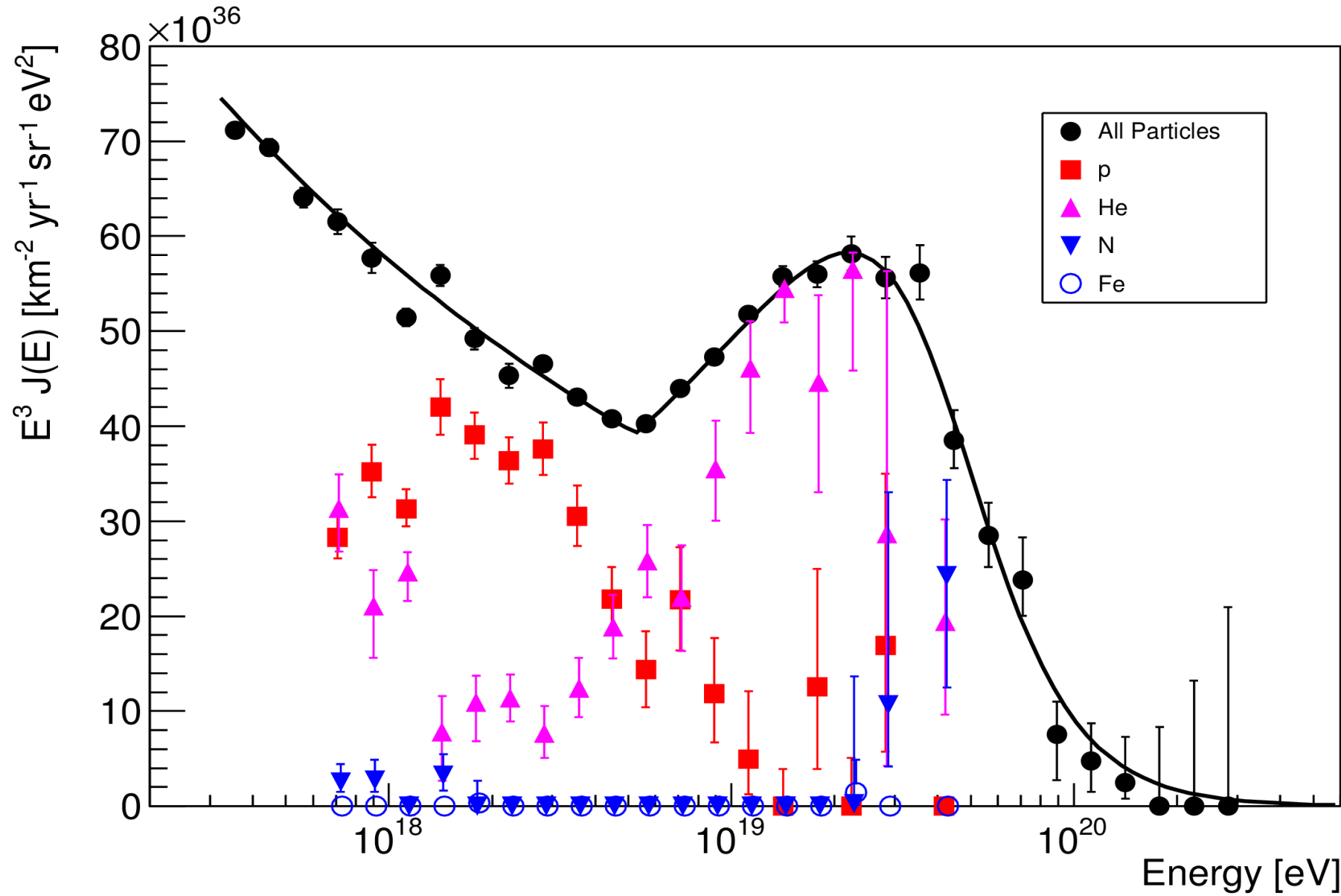


45° proton primary

H.Drescher, Universität Frankfurt

Técnica tradicional





Auger: Resultados

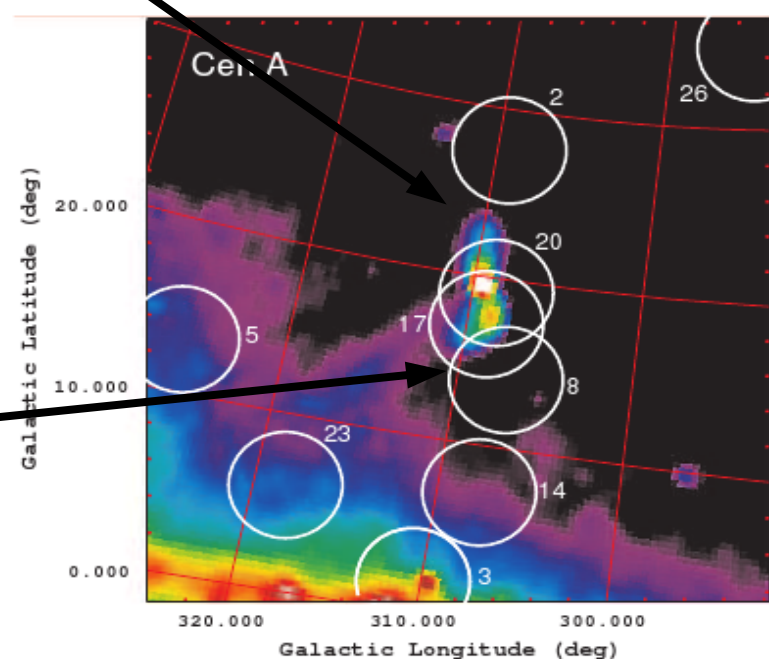
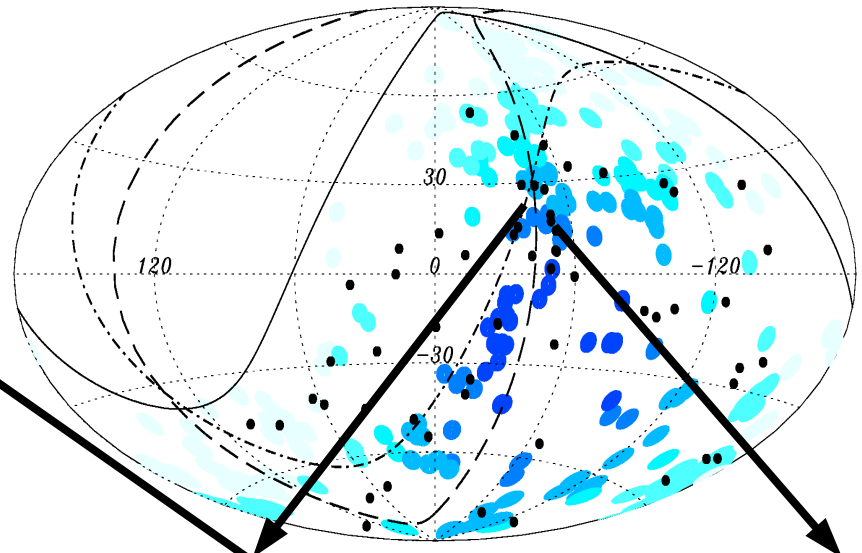
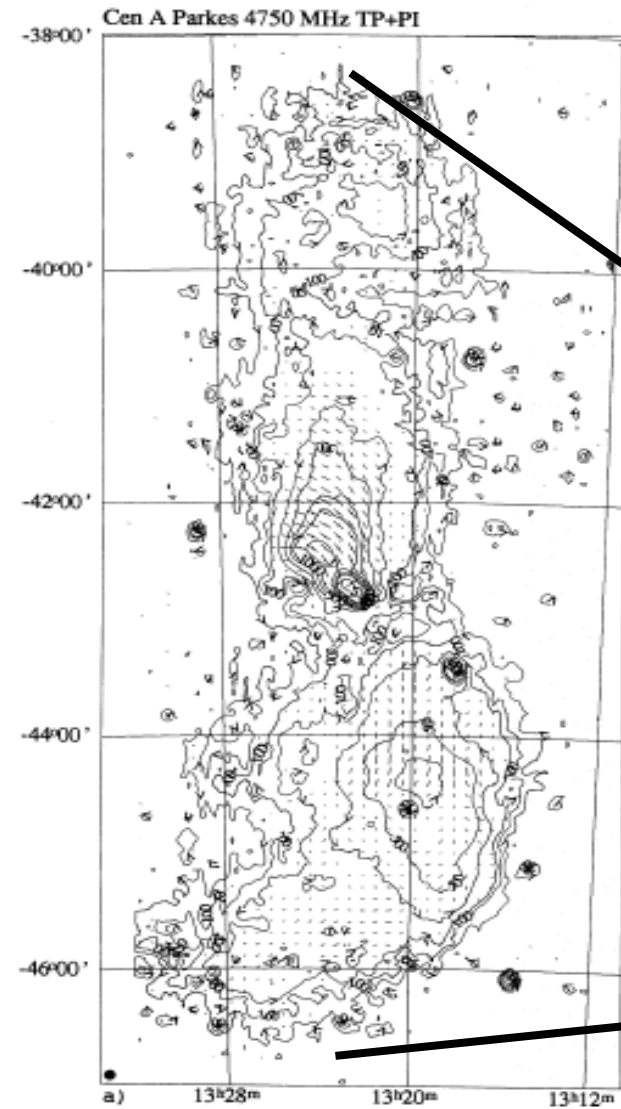
Corte GZK presente

Evidências de Anisotropia

Desvio angular compatível com proton

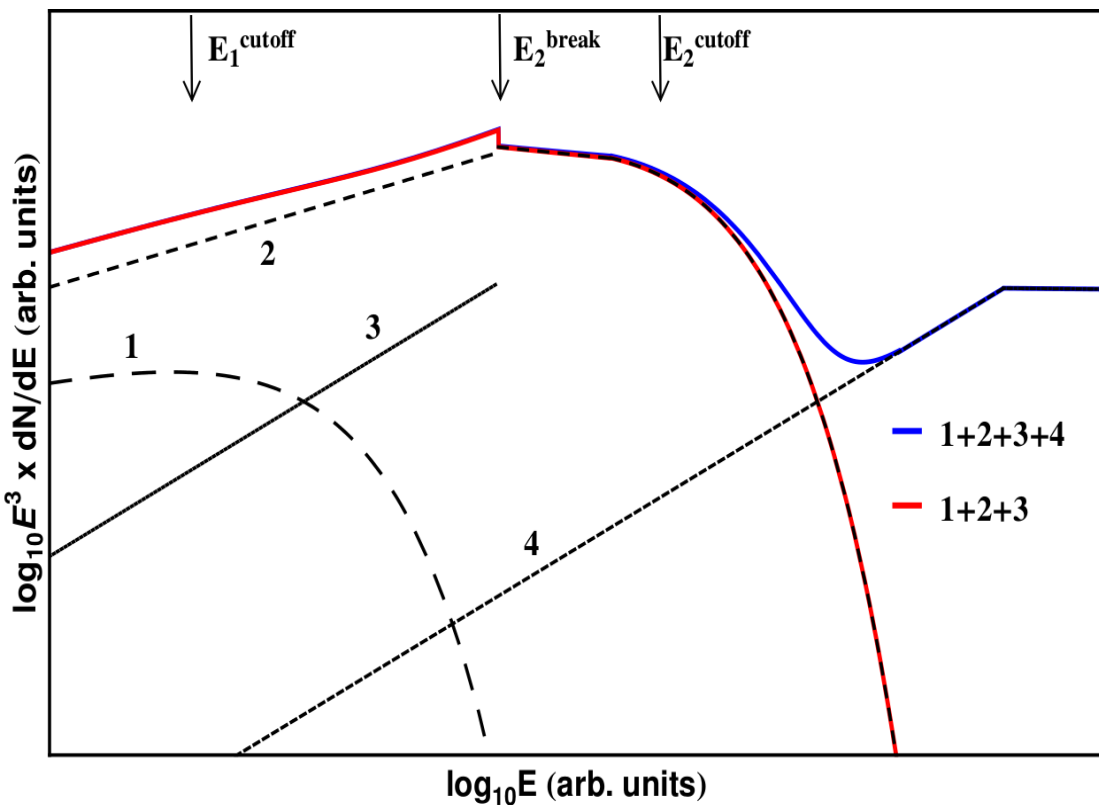
Medidas da composição indicam massa intermediária

Cen A

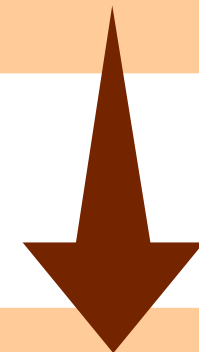


Cen A + Milky Way

Is it possible that Cen A + Milky Way
accounts for the large majority of
cosmic rays we measure on Earth ?



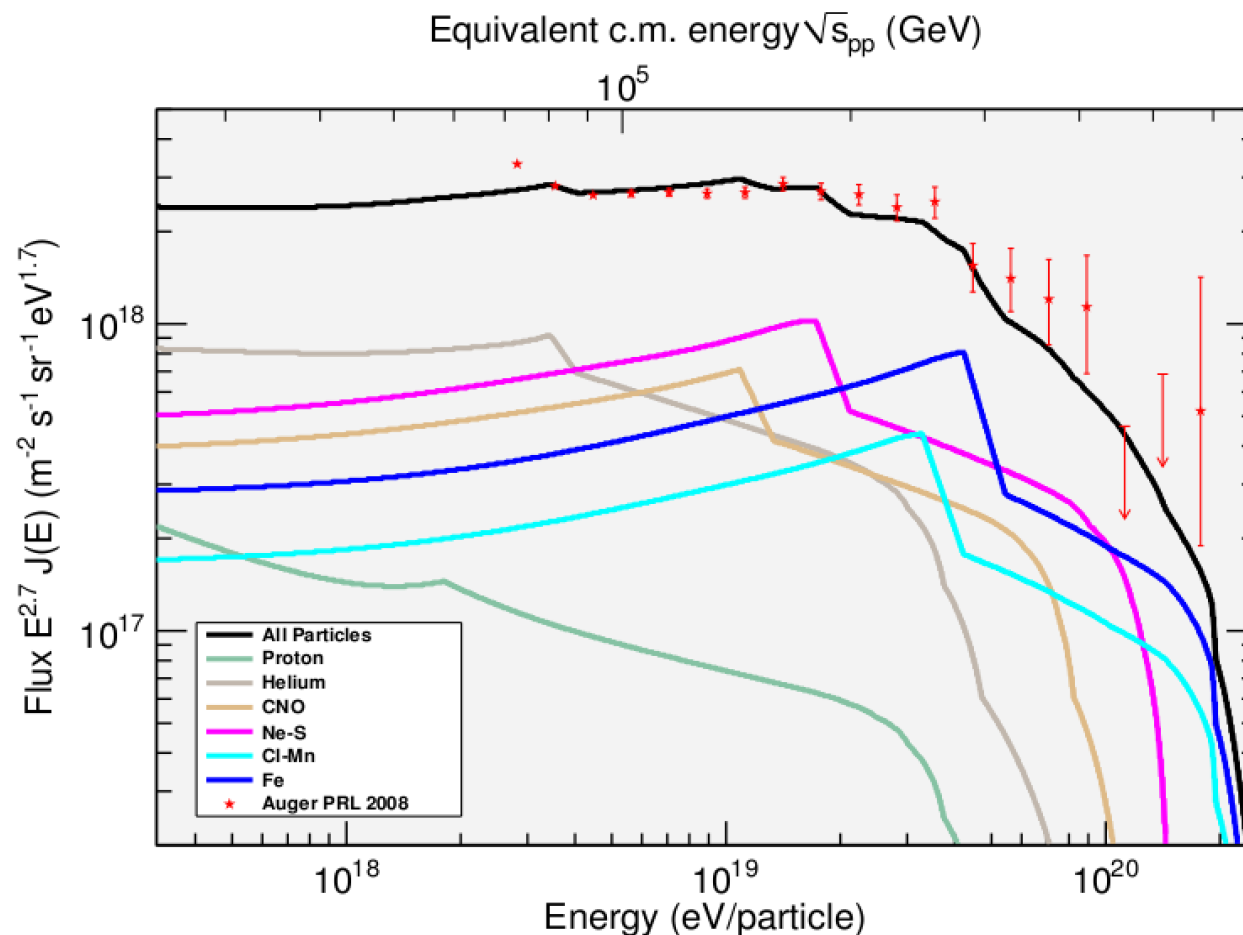
Supernovae up to 10^{16} eV



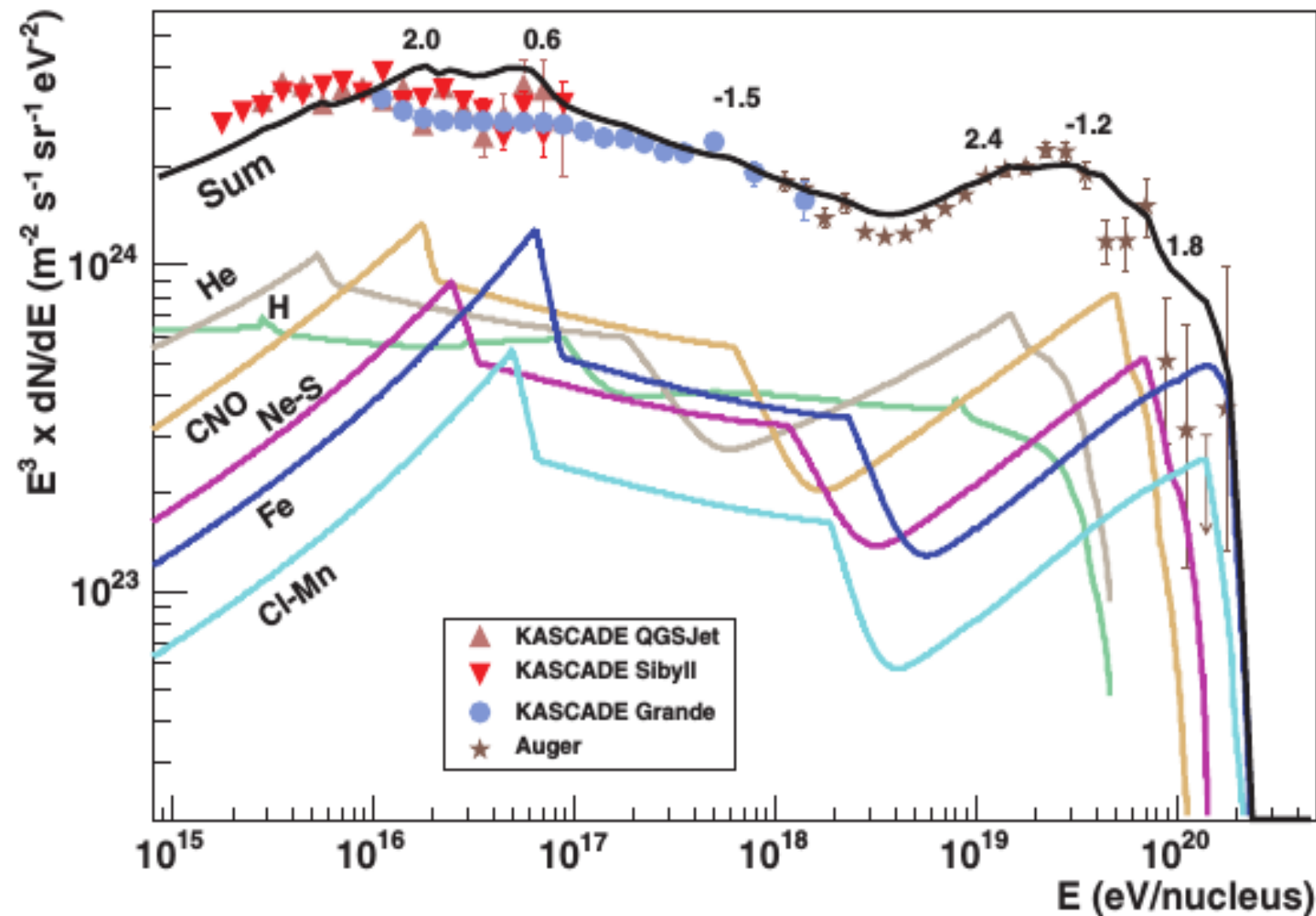
Reacceleration in the
jets up to 10^{20} eV

Modeling Cen A

$$L_{\text{jet}} \gtrsim 10^{47} \text{ erg s}^{-1} f_{\text{int}} \left(\frac{E_{\text{max}}}{Z \times 10^{21} \text{ eV}} \right)^2,$$

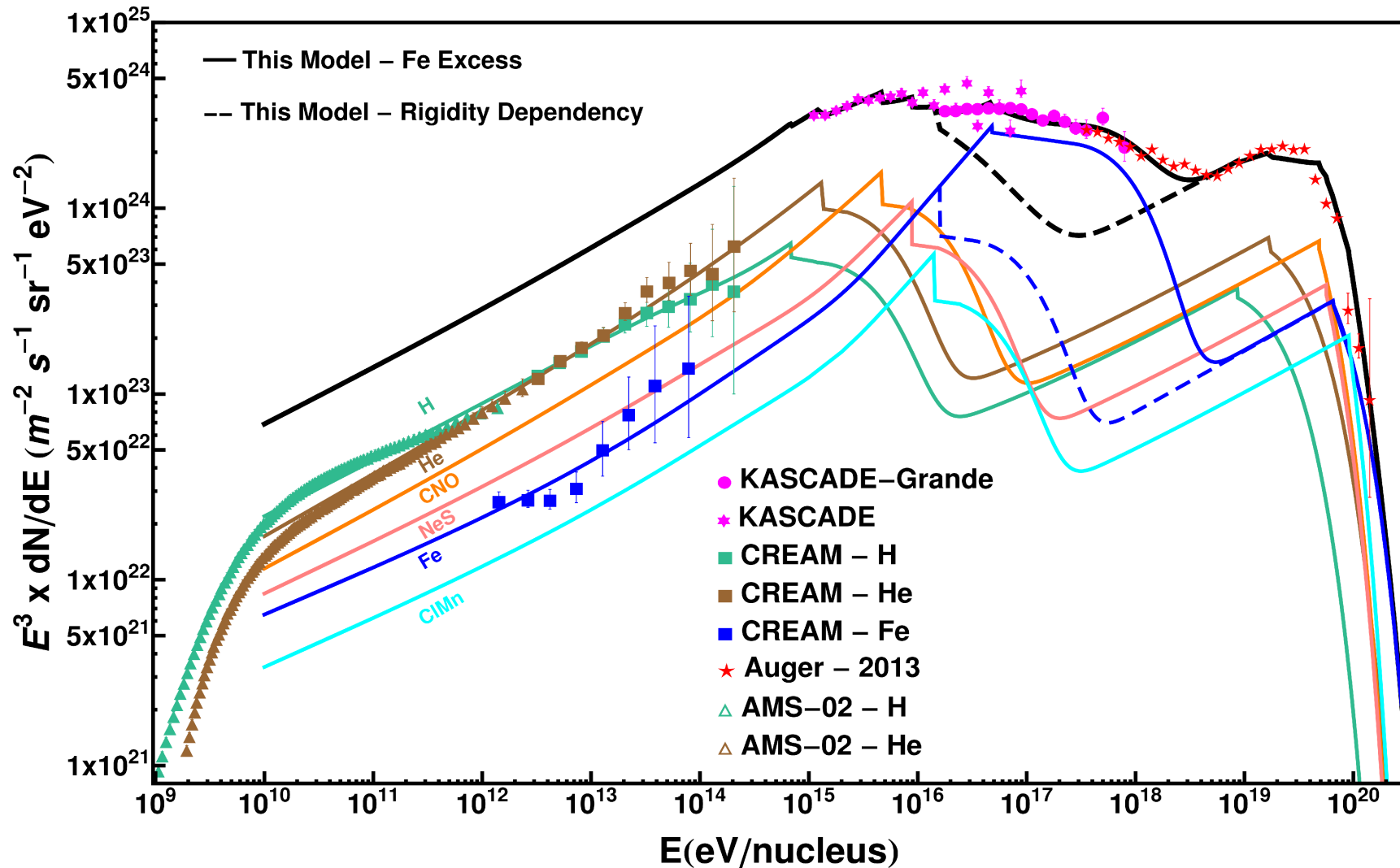


Modeling Cen A



P. Biermann and V. de Souza, APJ, 746:72 (2012)

Modeling Cen A



Open questions

Is the flux suppression due to the interaction with
the CMB or is it the sources
running out of power ?

How to reconcile correlation with AGN and $Z > 1$?

- Weaker magnetic fields ?
- Close by source ?

Open questions

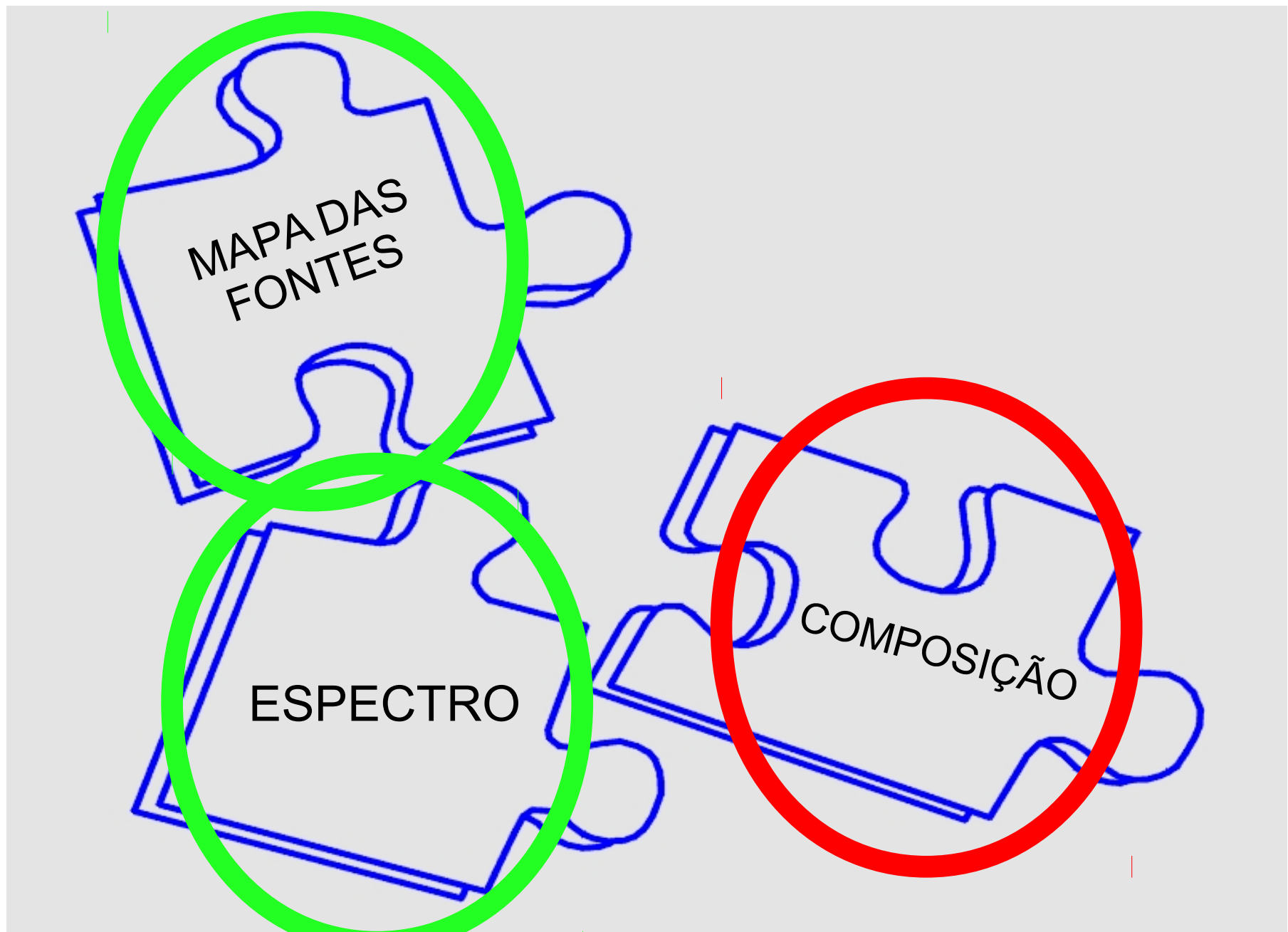
Are AGNs the sources or only tracers ?

Can we study particle physics
with energies above LHC ?

Answers are expected from:

- Continuous operation of the Pierre Auger Observatory for at least one decade
- Multiparametric analysis
 - Muon: AugerPrime
- Multi-messenger approach:
 - Neutrinos
 - GeV-TeV gamma rays

Astrofísica de partículas



Trabalho no IFSC

Forma do espectro para $E > 10^{19.5}$

Identificação das fontes

Determinação do tipo da partícula primária

Extensões: HEAT e AMIGA

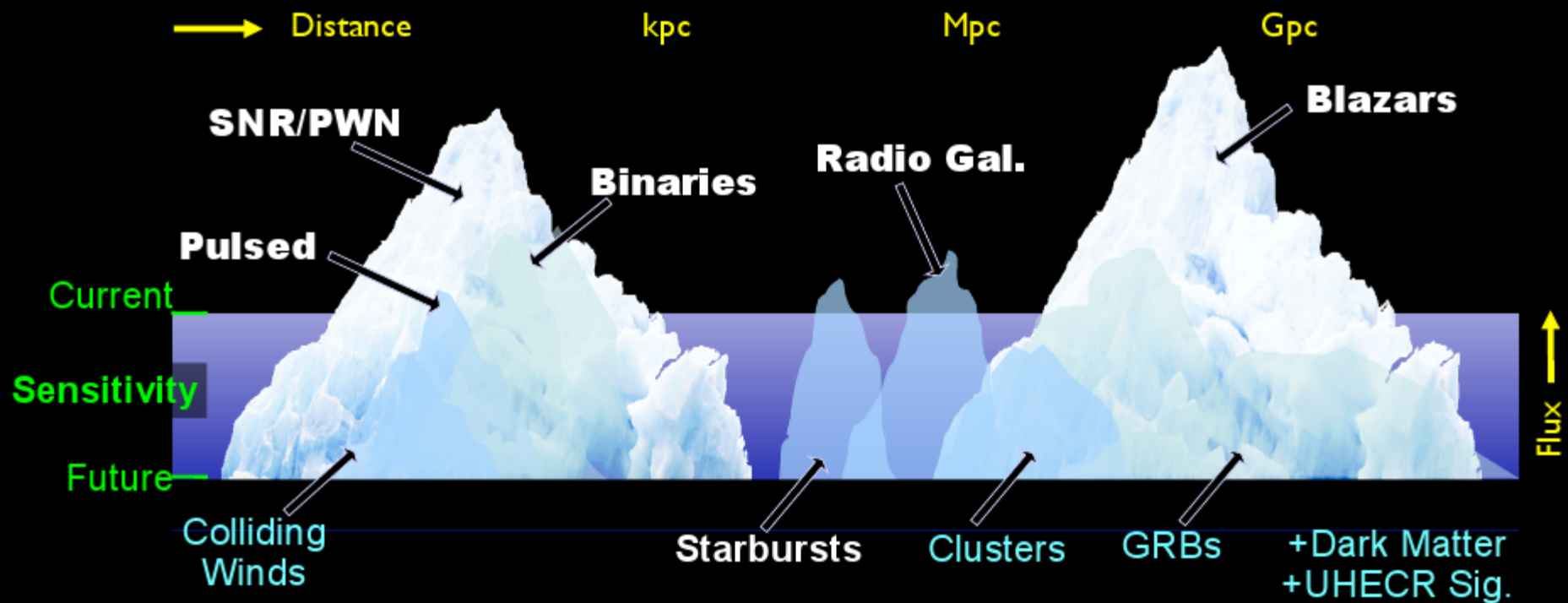


... an advanced facility for ground-based gamma-ray astronomy



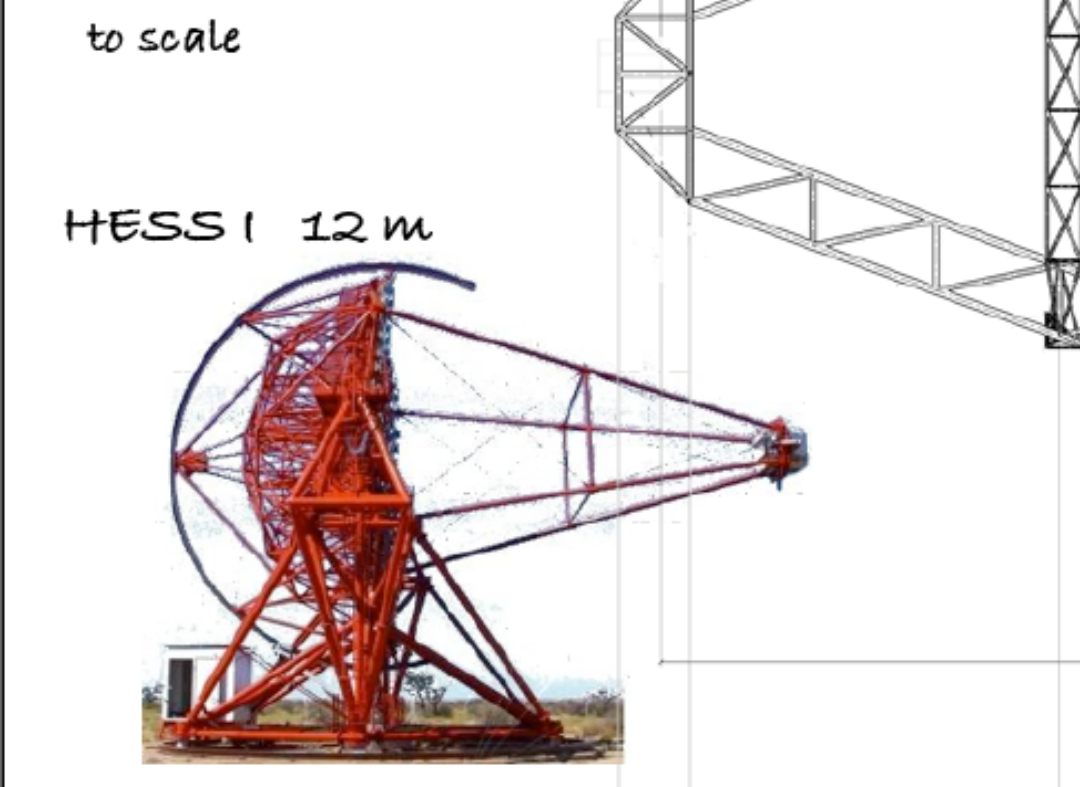
Discovery Potential

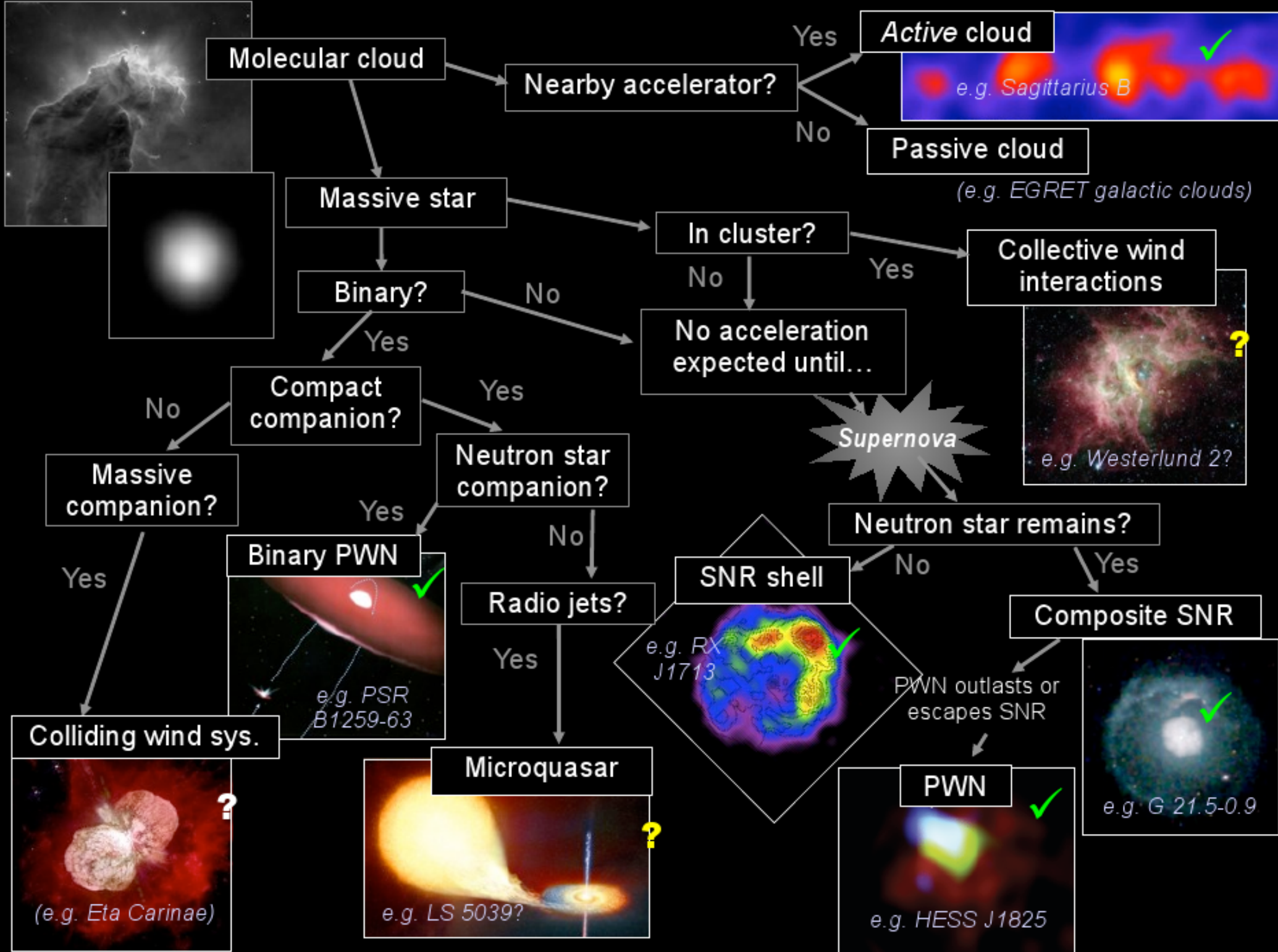
adapted from
Horan & Weekes 2003



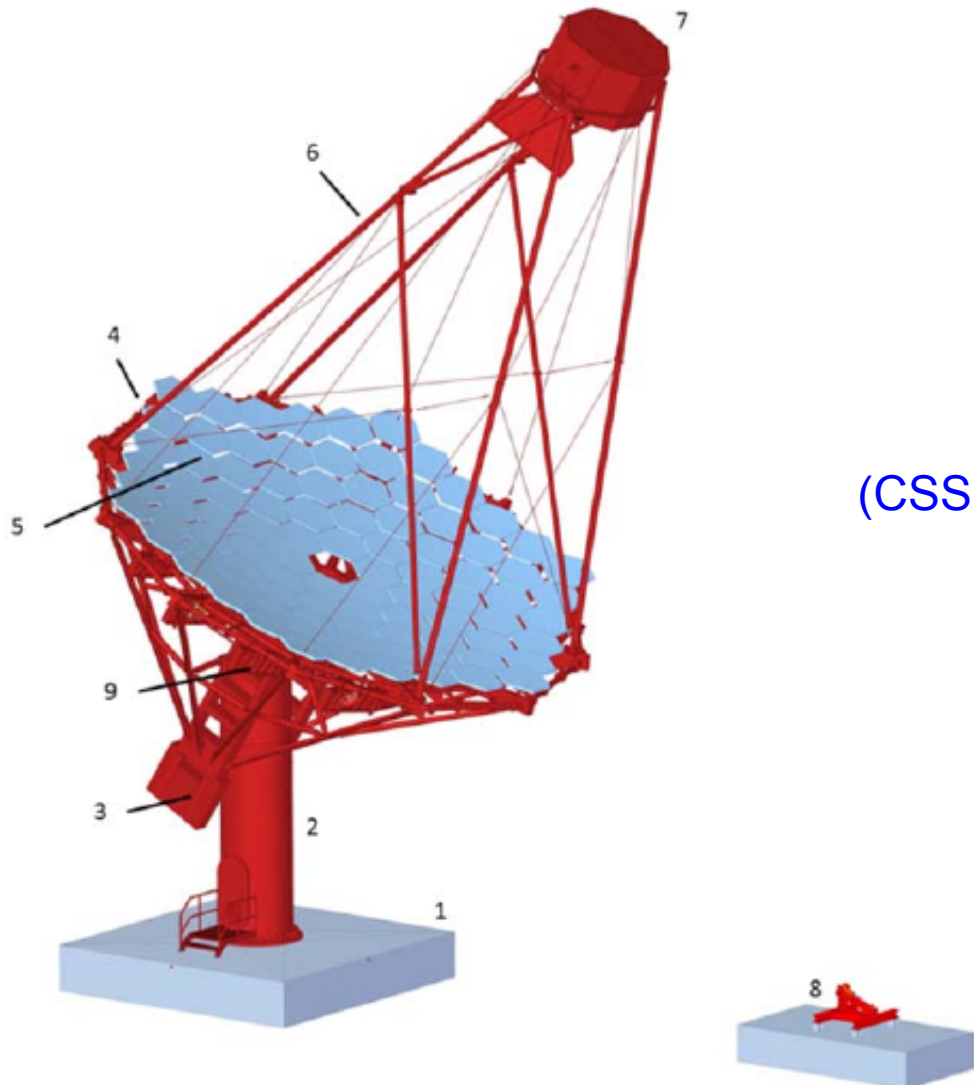


Building blocks could be ...





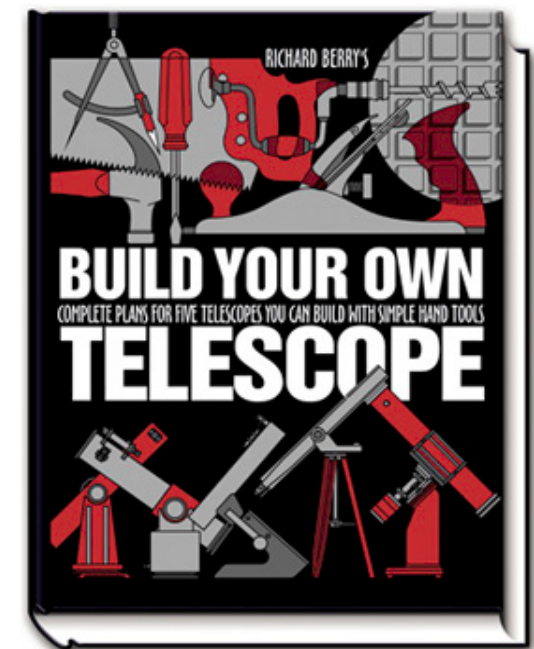
Building telescopes: MST



(CSS)

- 1 – Foundation
- 2 – Tower
- 3 – Counterweight
- 4 – Optical Support Structure
- 5 – Mirrors
- 6 – Camera Support Structure
- 7 – Camera
- 8 – Camera Lock
- 9 - Head

Figure 1: Description of the telescope structure



Building the CSS in Brazil

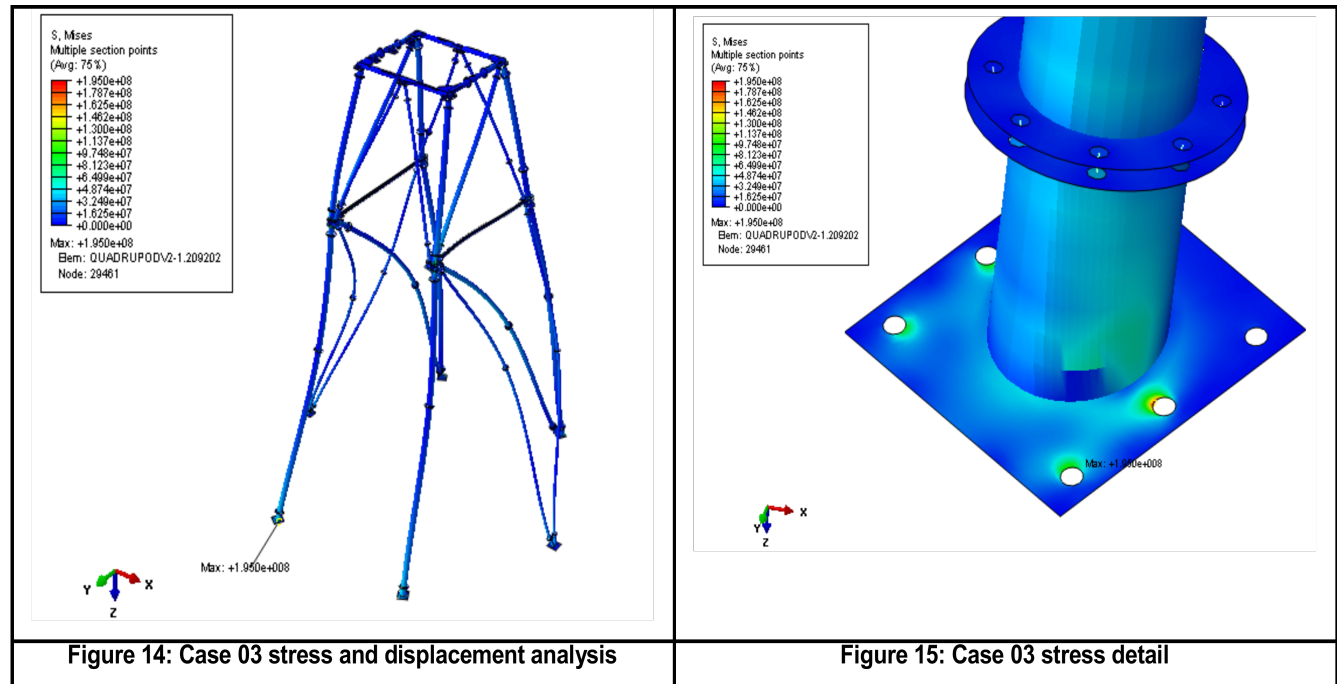
- 2011:
 - Studying the demands and searching for partner companies
- 2012:
 - Funds secured
 - Development of the conceptual design
- 2013:
 - Conceptual design approved
 - Development of the detailed design
- 2014:
 - Prototype construction
 - Prototype transport, instalation and test
- 2015:
 - Funding request to produce 25 CCS



CSS Detailed Analysis

LOAD CASE 03:

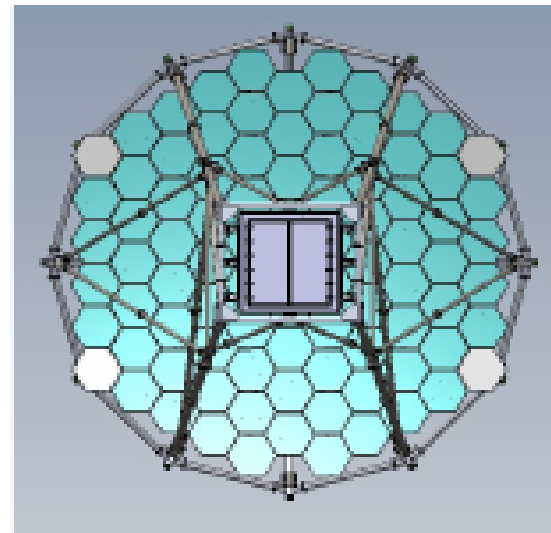
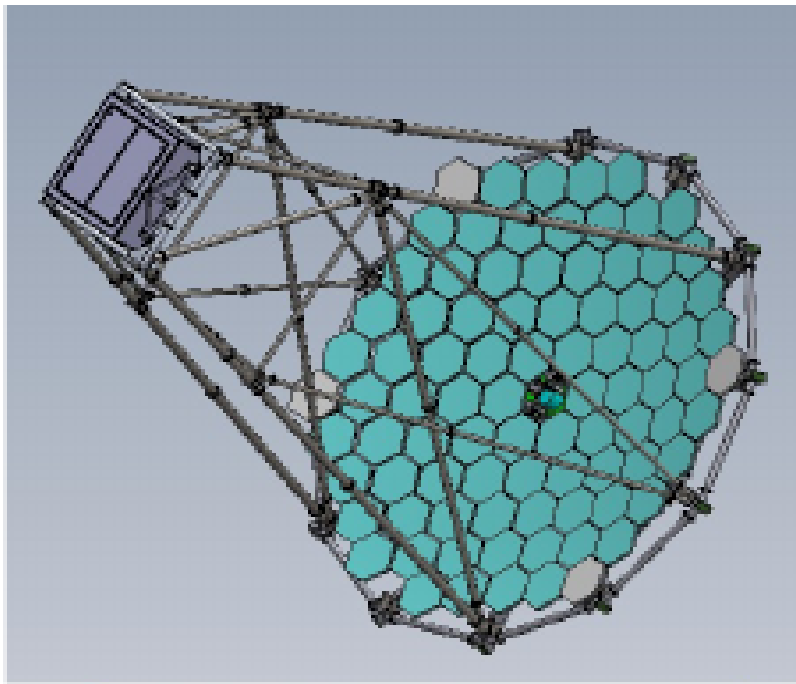
- Horizontal
- 50 km/h
- Ice load
- Wind load X



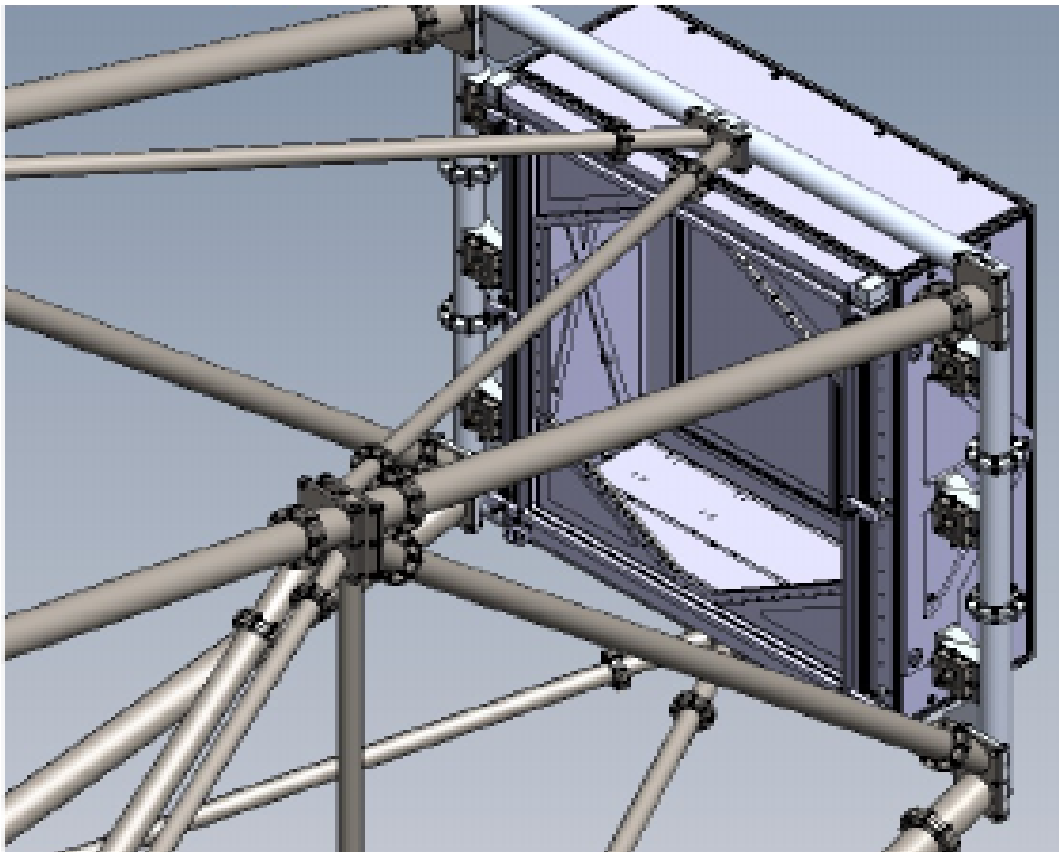
Input				Output				
Case	Wind Load	Ice Load	Gravity	Global Displacement (mm)	Camera Displacement (mm)	Stress (MPa)	Buckling factor	Safety Coefficient
3	X+ 50 km/h	Superior	Y-	23,31	5,31	195	7,11	1,59

PASSED ALL LOAD CASES

CSS Construction



Adjustment Device



Move tons with
milimiter precision

Brazilian technology
for CTA

Patent requested

Brazilian CSS: Mounting @ Berlin



Brazilian CSS: Mounting @ Berlin



Brazilian CSS: Mounting @ Berlin



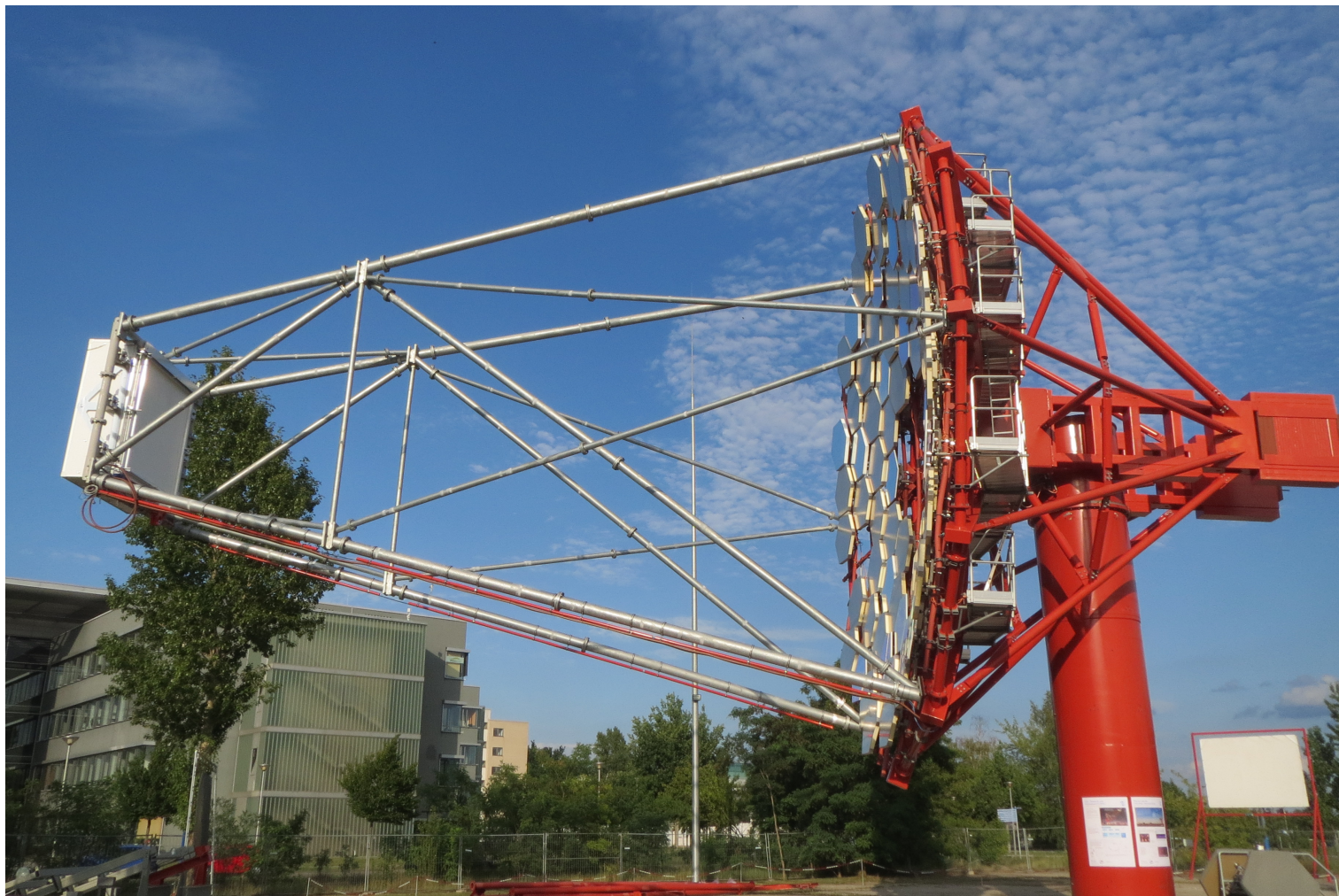
Brazilian CSS: Mounting @ Berlin



Brazilian CSS: Mounting @ Berlin



Brazilian CSS: Mounting @ Berlin

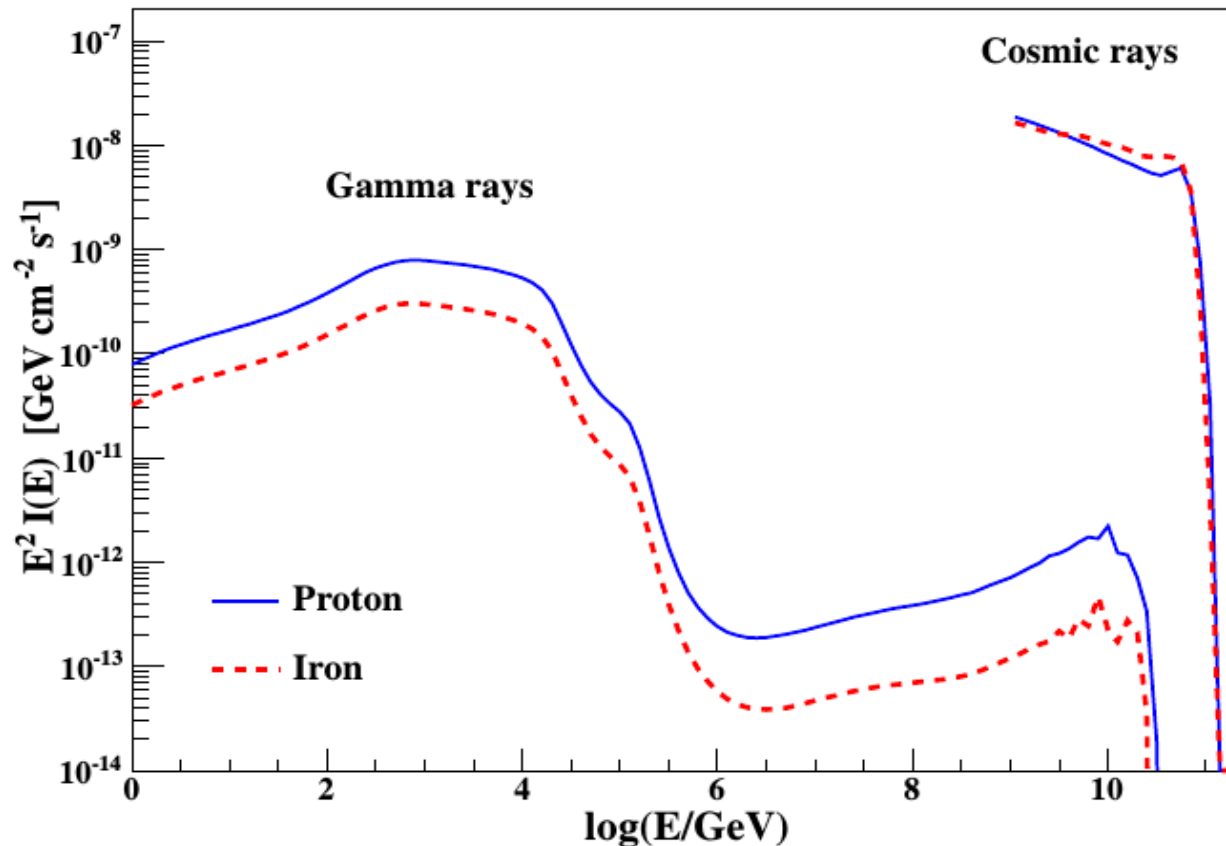


While CTA is not ready....

- We are warming up:
 - Dark matter
 - Lorentz Invariance Violation
 - Cosmic acceleration and gamma rays
 - Detector configuration

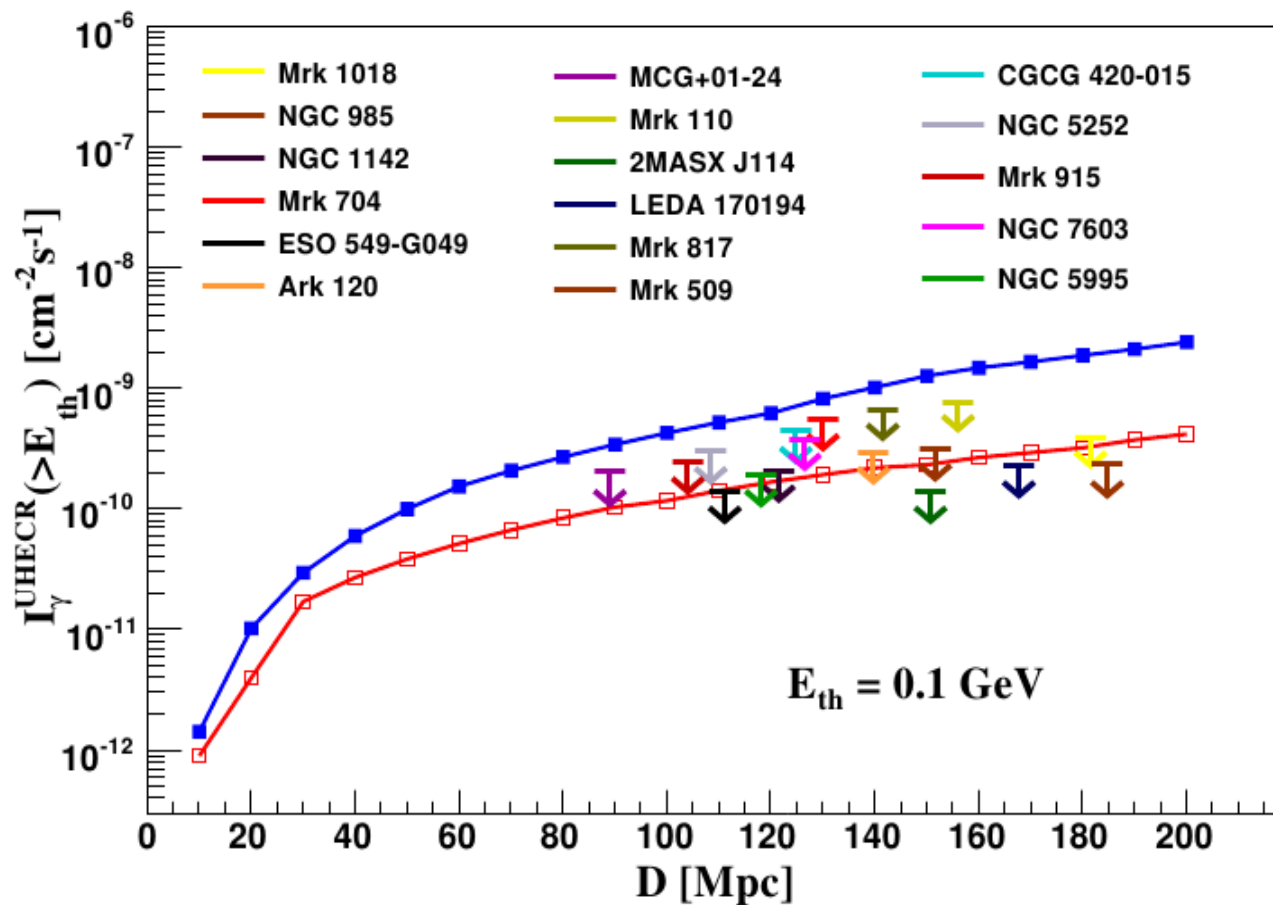
An upper limit on the cosmic-ray luminosity of individual sources from gamma-ray observations

A.D Supanitsky and V. de Souza, JCAP 12 (2013) 023



$$L_{CR}^{UL} = I_{\gamma}^{UL}(> E_{\gamma}^{th}) \frac{4\pi D_s^2 (1 + z_s) \langle E \rangle_0}{K_{\gamma} \int_{E_{\gamma}^{th}}^{\infty} dE P_{\gamma}(E_{\gamma})},$$

Upper limits on the total cosmic-ray luminosity of individual sources



Sources:

3 Radio Galaxies

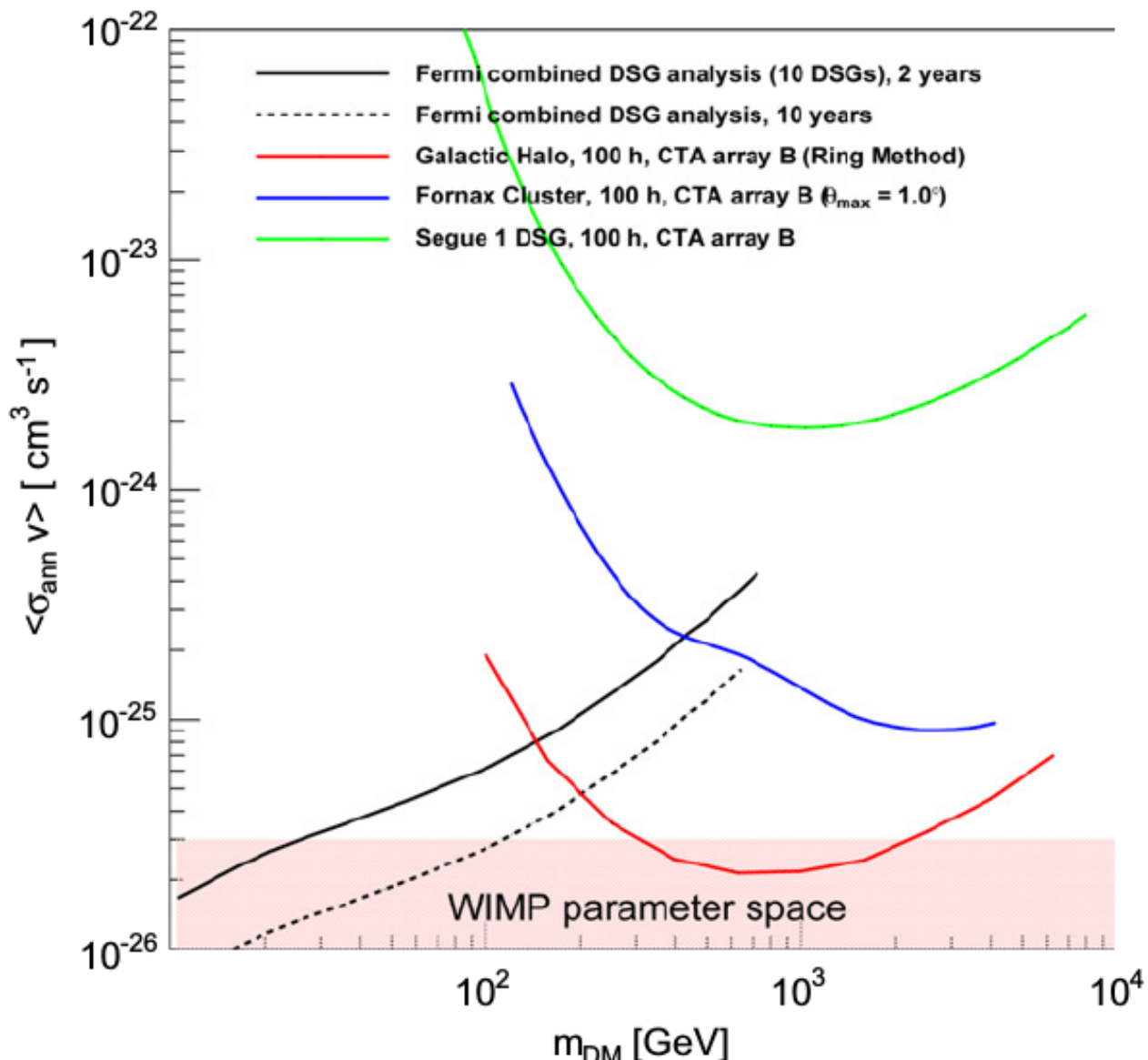
21 Seyfert

25 Fermi

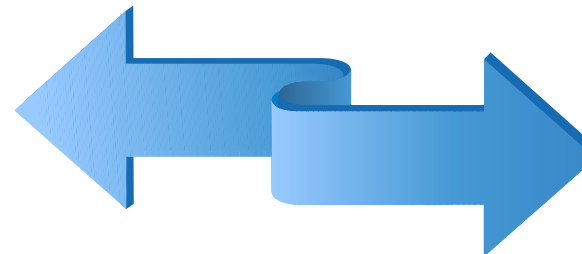
1 MAGIC

2 VERITAS

Dark Matter

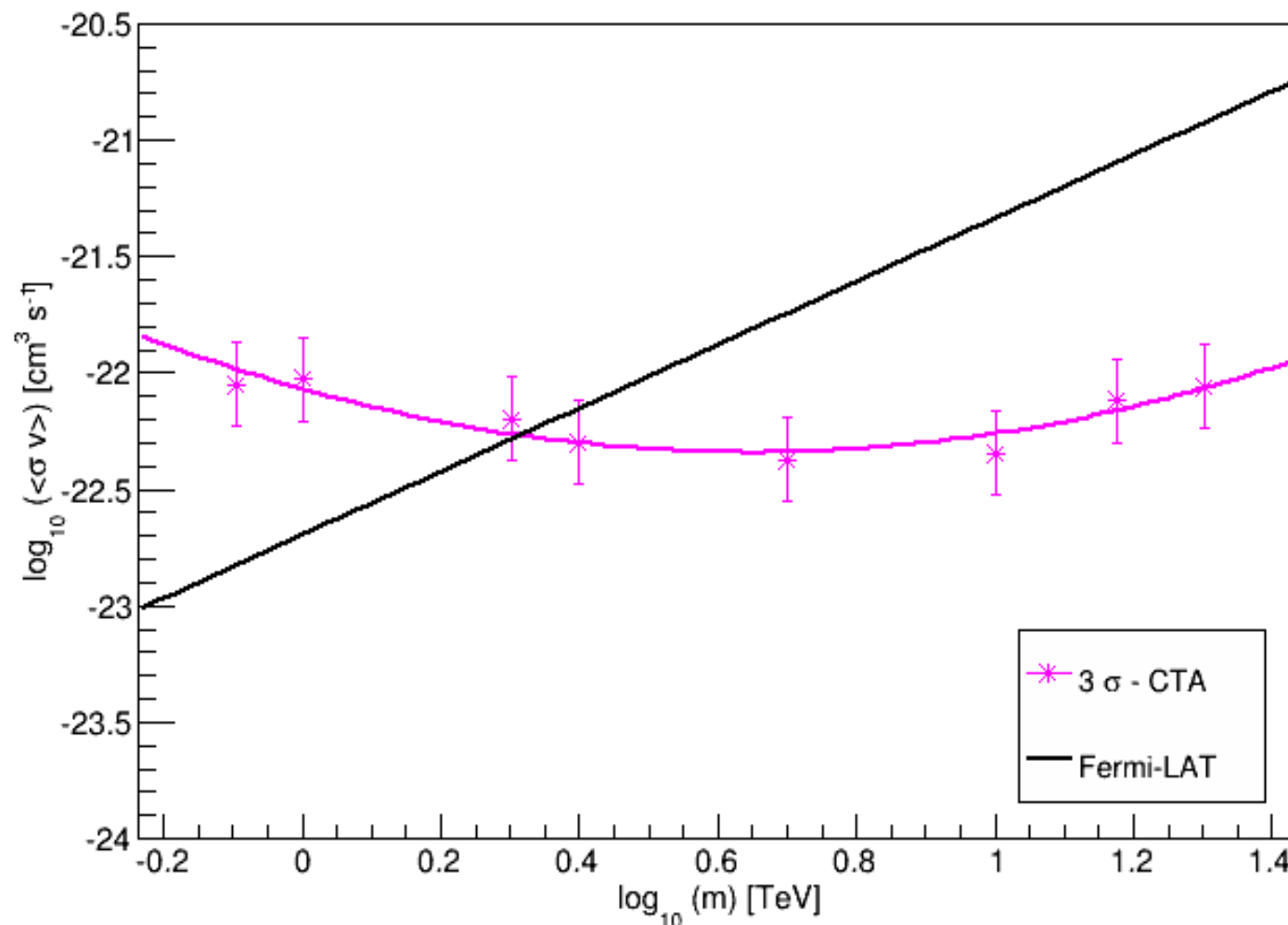


Fermi

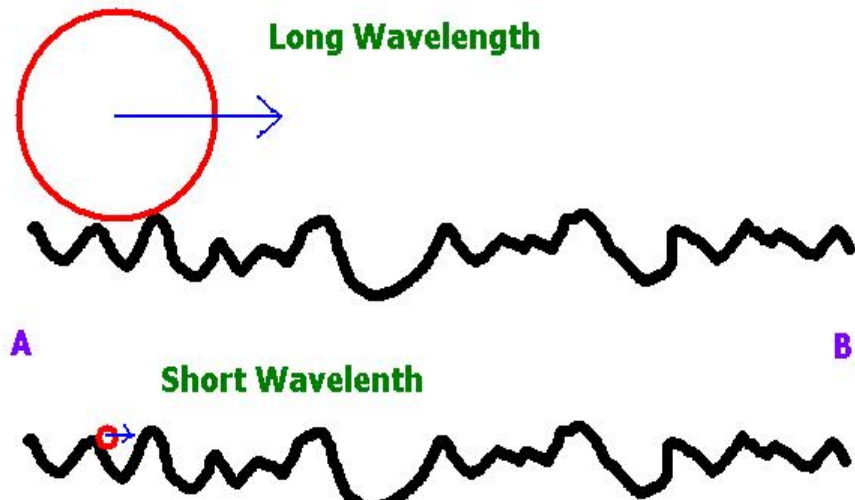


CTA

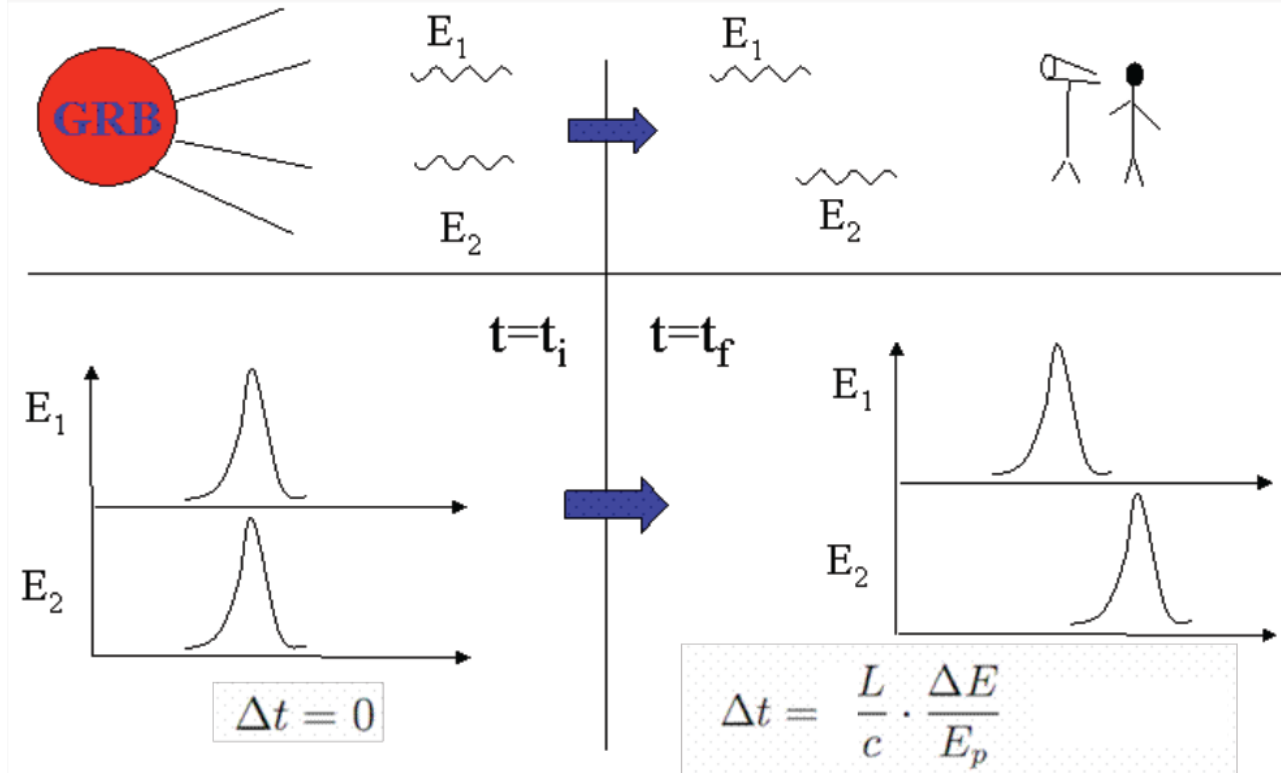
Sculptor



Speed of light



$$\Delta t \sim \frac{E^n - E_0^n}{E_{QG}^n} \frac{L}{c}$$



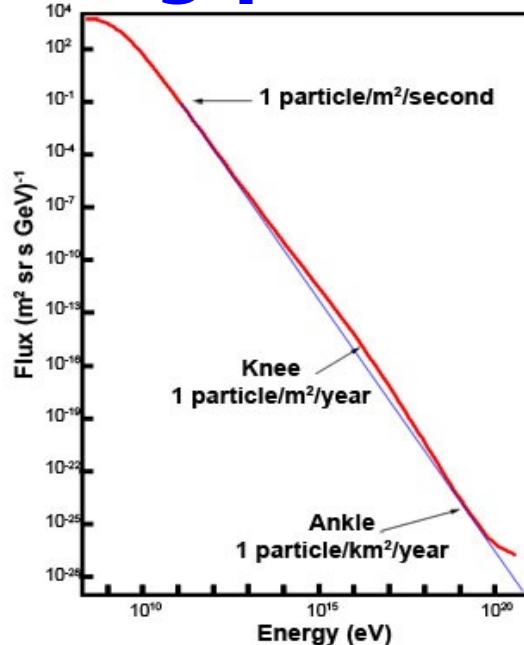
$$E_{QG} \sim 10^{28} \text{ eV}$$

Mensagem pra levar pra casa:

- Astrofísica de partículas é uma área com grande potencial de descobertas fundamentais e propícia para a inovação tecnológica
- A comunidade brasileira ocupa uma posição de destaque no cenário internacional
- Observatório Pierre Auger:
 - Resultados históricos já publicados
 - Ainda tem muito a produzir na próxima década
- Cherenkov Telescope Array (CTA)
 - O próximo experimento em Astrofísica de Partículas

Astro-particle physics @ IFSC-USP

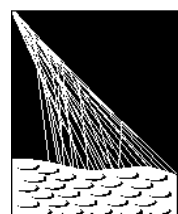
Studying particles from outside the Solar System



Open questions:

- Where do they come from ?
- How are they produced ?
- What is the Universe made of ?

Experiments:



PIERRE
AUGER
OBSERVATORY

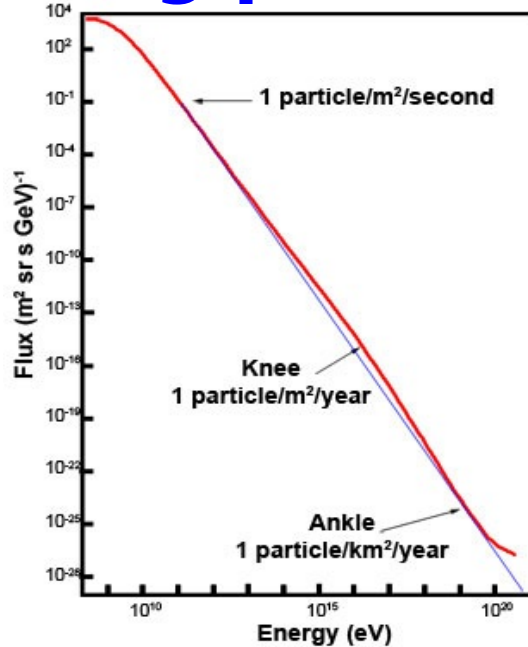
Theory:
& Astro + Computacional
+ Particle Physics

Contact:

Prof. V. de Souza (vitor@ifsc.usp.br)
Profa. M. Vecchi (manuela.vecchi@ifsc.usp.br)

Astro-particle physics @ IFSC-USP

Studying particles from outside the Solar System



Open questions:

- ➊ Where do they come from ?
- ➋ How are they produced ?
- ➌ What is the Universe made of ?

Prof. Vitor de Souza e Profa. Manuela Vecchi
Pos-doc: Maximo Ave
Doutorado: Raul Prado Ribeiro
Mestrado: Rodrigo Guedes Lang, Guilherme de Sousa, Alexandre Benatti,
Victor Barbosa Martins, Vinícius Mikuni, Vitor Lordello
IC: Danielle Kaori, Rafael Geurgas, Eliane Karasawa, Eduardo Ferronato
Bueno, Lucas M. Maia, Anderson Aparecido do Espírito Santo